

Министерство геологии СССР

Дальневосточное территориальное геологическое управление

ГОСУДАРСТВЕННАЯ  
ГЕОЛОГИЧЕСКАЯ  
КАРТА СССР

масштаба 1:200 000

Серия Уссури

Лист №-53-ХХХ

ОБЪЯСНИТЕЛЬНАЯ ЗАПИСКА

Составили А.А.Майдорода, Д.И.Шаруда

Редактор Д.И.Красный

Утверждено Научно-редакционным советом РГУГИ  
23 декабря 1976 г., протокол № 32

Москва 1981

## С о д е р ж а н и е

Стр.

Зеление .....	3
Геологическая изученность .....	5
Стратиграфия .....	10
Изучение природозанятий .....	36
Лесопользование .....	32
Геоморфология .....	66
Полезные ископаемые .....	70
Полевая почва .....	85
Оценка перспектив района .....	87
Литература .....	92
<b>Список проявлениям полезных ископаемых .....</b>	<b>97</b>

### В В Е Д Е Н И Е

Рассматриваемая территория входит в состав Туру-Кумысского района и района им. Полины Осипенко Каскадового края. Отличием она координатами  $135^{\circ}00' - 136^{\circ}00'$ , в.д. и  $52^{\circ}40' - 53^{\circ}20' с.ш.$

Площадь представляет собой расчлененную горно-таежную страну. Хребет Мезинка в виде дуги пересекает район в его центральной части. Максимальная абсолютная отметка хребта - 1804 м. С северо-востока к хр. Мезинка примыкает хр. Эксан, образуя горный массив со средними отметками 1500-1700 м. Наиболее рельеф приступает альпийский облик с ярко выраженным ледниками формами: многочисленными цирками и троговыми долинами. Хребты, разделенные бассейнами рек Ассин и Нимелен, трудноподъемны даже для пешего транспорта, имеется лишь несколько перевалов, пригодных для пеших переходов. Восточные отроги хребта Мезинка и Эксан представлены низкогорьем со средними высотами отметками 400-600 м. В межгорье Нимелена и Конина на высоте 150-200 м над уровнем моря расположена Конин-Нимеленская равнина, вытянутую часть которой занимает обширная пойма р. Нимелен с некоторыми 5-6 м) террасами. По периферии равнику окружает мелкосопочник. Главными водными артериями являются реки Ассин и Нимелен с их наиболее крупными притоками - Огю, Нимелиту, Светлая.

Скорость течения в среднем году реки 2-2,5 м/с, глубина рек на участках 0,8-1,5 м, на перекатах она уменьшается до 0,4-0,5 м. Ширина русел в среднем течении изменяется от 25 до 40-50 м, в то же время ширина долин рек составляет от 1,5 до 3-5 км, а долина р. Нимелен при выходе в Конин-Нимеленскую равни-



Куской смы. По литологическим признакам эта смы условно дифференцирована на три поколия, а более молодая отложка - на две подситы. Наименее древняя между смыми выделена не смы, и если возраст амурской смы установившийся на основании сопоставления с аналогичными отложениями соседних районов, то возраст отложений с определен на основе изучения спорово-пыльцевого спектра. Спектрометрическим опробованием в бассейне среднего и верхнего течения р.Углички И.Л.Рассказовым были установлены орбели рессения скважин и колодца. В связи с тем, что геологическая карта этой карты признана недостаточной, карта смы была переведена в м-б 1:500 000.

В районе присла Ясного П.Л.Паначевым [42] в 1955 г. проводились геофизические работы м-ба 1:100 000 с целью выявления проявленй пьезомагнитного сырья. Этими работами установлено, что наибольшее количество кристаллов кварца встречается в водораздельной части рек Эзле и Девотик среди граниторитов Ясеневского массива, однако качество их низкое и промышленного значения они не имеют. На правобережье Эзле П.Л.Паначевым были обнаружены кварц-турмалиновые жилы.

В 1958-1960 гг. рассматриваемая территория смы отмечена аэромагнитной съемкой м-ба 1:200 000, выполненной со станции АСМ-25 (И.И.Шапота, 1960). В результате этих работ было установлено, что горные породы, слагающие район, слабо дифференцируются по магнитным свойствам. На фоне спокойного магнитного поля выделены немногие аномалии  $\Delta T$  небольшой напряженности, связанные либо с мезовокругами плутоническими, либо гидрогенным образованием. В 1962-1963 гг. район был покрыт аэромагнитной съемкой м-ба 1:50 000 [36]. По результатам этой съемки плоский лист N-53-XIII характеризуется спокойным магнитным полем, на фоне которого отмечается небольшая напряженность аномалии  $\Delta T$ , связанная с магматическими породами среднего состава.

В 1963 г. под руководством В.Н.Землякова [38] и в 1964 г. - В.Н.Белогуба [35] в междуречье Амур-Амурчук-Ула проводилась гравиметрическая съемка м-са 1:1 000 000. В результате этих работ была выделена Бархах-Дальянская региональная отрицательная аномалия поля силы тяжести, сопряженная с крупным региональным интрузионно-буровым разломом меридионального направления, осложненная серией локальных минимумов.

В середине 60-х годов приобретение района Западного Приобья смы закартировано в м-бе 1:500 000 и 1:200 000 группой геологов 2-го Гипрогеологического управления. И.И.Фадиков, Л.С.Буффом, В.Э.Хромовой, П.И.Логадзеем, В.В.Никлинским была составлена геологическая карта м-са 1:500 000 бассейна р.Амтуль, затем проведено полистное картирование этой же территории в масштабе 1:200 000. В основу стратиграфических построений была положена схема, разработанная для юрских отложений Горинского синклиниория, согласно которой на закартированной территории в западной части выделены будирская, хурбинская, ульбинская и смыанская смыки. В восточной части, на побережье Ульбийского залива и среднем течении р.Амтуль, смы выделены демьянская, михалинская, эльгонская, токаревская, гратовская смыки и тела алевролитов. При проведении картирования в верховых р.Отун, смы устья р.Лес-Макаг, на территории рассматриваемого листа, Г.Л.Лариновичем в смыанская и авлеровитах средней части ульбинской смыки собраны отпечатки ростов белемитов, условно датирующие возраст выделенных их отложений как среднеюрской.

Одновременно с этими работами Э.Д.Ходолюбим [30] и Л.В.Энришем [33] проводилось геологическое картирование в м-бе 1:200 000 пограничных с ша листов. Вдоль северной рамки листа N-53-XIIIУЛ (верхняя ша) смы. На территории листа N-53-XIII с этими смыками соприкасаются литологически сходные, но более древние толщи, датируемые нижней при отложением находкам в них остатков криптолей (пентакриста). Стратиграфическое подразделение на этих смежных листах остается неустановленным.

В 1967-1970 гг. на территории двух соседних с севера листов были проведены геологосъемочные работы м-са 1:200 000 под руководством Д.А.Маконтова [37] и С.И.Городова [5]. Непосредственно к северу от территории рассматриваемого листа С.И.Городов выделяет узкий полосу нижнеюрских терригенных отложений в составе двух толщ. Проведенные нами увязочные маркеры в пределах этой полосы показали, что слагающие эти толщи, по литологическому настру пород не отличаются между собой и представляют единую толщу.

В 1968-1973 гг. территория соседнего западного листа N-53-XIIIУЛ была закартирована В.И.Анохиным [34], который внес существенные изменения в представления о геологическом строении бассейна Кумусуна, Салемки и верхней Нижней, а также зоны сор-

ленены палеозойских и мезозойских образований. В.И.Анохином была разработана новая схема стратиграфии кристаллов, по комплексам расчленены математические образования, выявлены математические особенности территории и определены связи математизма с орудием. Рассматриваемый лист в лист, подготовленный В.И.Анохиным к изданию, полностью увязан между собой.

В 1970-1974 гг. на территории леса № 53-ХVIII было проведено геологическое картирование в масштабе 1:200 000 А.Макбродой [40]. В лесах отмечены появившиеся постепенно залежи торфа. Согласно

[40]. В основу стратегии-схемы построена доктрина ядерного языка, разработанная совместно с В.И.Дюжиковым. Она хорошо коррелирует со склонностью японцев отождествлять восточную часть Яльбансского прогиба. Установлена многообразность формирования математических съязвований, выделен Межвидовой язык математической культуры, определены связи математизма и риторикообразования, изложены перспективные олововоружные проявления (Беско, Эсса, Сетах), предопределение киповари Утакэн и цепи ряда японских и геометрических ореолов рассеяния огова, вольфрама, меди, самана, пинна, золота и других элементов.

В 1935-1974 гг. в северо-восточной части района на олово-рудных участках Боско и Эксан проводились поисковые работы в масштабе 1:50 000 и 1:50 000 Эксанской партией, руководимой А. С. Фоменком [49]. В результате этих работ на участке Боско выделено 77 зон метасоматических измененных пород, в 7 из которых установлены интервалы с промышленными содержаниями олова. Протяженность зон 40-120 м, мощность изменяется от 0,66 до 2,12 при содержании олова от 0,22 до 1%, редко до 3-37%. Из-за незначительной протяженности и мощности рудных зон этому участку дана отрицательная оценка. Участок Эксан признан также перспективным. В его пределах выявлено рудное тело с содержанием олова от 0,22 до 0,36%, мощностью от 1 до 4,9 м, протяженностью до 173 м, установлены локальные геохимические ореолы олова и других элементов среди широко распространенных на территории участка кварц-турмелиновых метасоматитов.

В 1974 г. Ассынской партией, руководимой В.И.Макаром, было начато геологическое картирование в масштабе 1:50 000 территории северо-восточной части, где ранее были выявлены олововорудные проявления Боско, Эксан, Отчумик и рудообразование киновари Утакен. Этими работами были подтверждены, в главных чертах, данные среднеместной схемы. Более точно определены границымагматических образований, выявлено двухфазное строение субкулони-

ческих инструментов и кислого и углекислого состава, уточнено строение толщ греких терригенных отложений. В составе Кулкан-паконических ассоциаций междууречья Боско и Тумуна установлены небольшие фрагменты верхнелового осадочно-бульварного покрова, окруженного в виде зигза орудиальные-дакти и липари-то-ламы и глиноцемальные граниторогоры. Мощность покрова составляет первые десятки метров. В верховых Тумуна и левого притока руч. Утакан выявлены новые минерализованные зоны дробления с неясными содержаниями озова.

## ПРОКАЙ СИСТЕМА



Рис. I. Карта магнитного поля

Изолинии ( $\Delta T$ ) в мелиорстах: 1 - нулевые;  
2 - положительные, 3 - отрицательные

## С Т Р А Т И Г Р А Ф И Я

Стратиграфическое обозначение слагают около 85% терратерий. Они представлены терригенными отложениями юрского возраста, меловыми осадочно-вулканическими образованиями и рыхлыми четвертичными ледниками и аллювиальными отложениями.

Толща распространена на правобережье Камчатки и Сибири в виде полосы блокпиротного пространства длиной 21 км и шириной до 3 км. Полоса вяза толщи в районе не обнаружена, а представлена лишь ее верхней и, в меньшей мере, средней частью.

Водная часть толщи на 90% состоит из песчаников селуя и козеристых песчаников, реже тонкослоисты, с редкими прослоями и линзами злевролитов, гравелитов и мелкообломочных селментарных брекчий мощностью 0,1-0,2 метра до 0,6-1 м. Отмечаются единичные пачки злевролитов мощностью до 30-80 м, а в самых зарубленых горизонтах толщи - линзы кремнистых пород.

Состав толщи и мощность ее отдельных горизонтов и пачек не выдержаны. В бассейне притоков р. Светлая толща представлена серыми мелозеристыми песчаниками с очень ред-

ко результате предшествующих работ м-ба I:500 000 комплекс юрских отложений согласно утверждированной схеме, утвержденной 2-м Дальневосточным стратиграфическим совещанием в 1965 г., был расчислен на четыре схемы: будгорскую, хуронскую, ульбансскую и олинскую, заключение в возрастном диапазоне от юрского яруса нижней юры по оксфордской ярус зеркней юры. Условность такого расчленения для данного района стала очевидной после находок В.И.Анофриевым [34] в предположительно байкальско-оксфордских брауни никанерских криолитов, а в кемловско-оксфордских - андидитов, соответствующих таюровскому и аваленскому ярусам. Кроме того, выявились отличия литологического состава и стратиграфии юрских отложений Ульбансского прогиба от одновозрастных образований Гогринского синклиниория. Все это привело к необходимости создания новой стратиграфической схемы, согласно которой толща отложения представлена нижним и средним отделами и расчленена на пять толщ, согласно сменяющих друг друга в разрезе. Предлагаемая схема хорошо сопоставима со самой стратиграфией никанерских отложений восточной части Ульбансского прогиба, предложенной М.А.Ахметьевым, В.Б.Каряловым и др. [1].

## Н и ж н и й о ф з о н

### Нижняя толща (I)

Толща распространена на правобережье Камчатки и Сибири в виде полосы блокпиротного пространства длиной 21 км и шириной до 3 км. Полоса вяза толщи в районе не обнаружена, а представлена лишь ее верхней и, в меньшей мере, средней частью.

Водная часть толщи на 90% состоит из песчаников селуя и козеристых песчаников, реже тонкослоисты, с редкими прослоями и линзами злевролитов, гравелитов и мелкообломочных селментарных брекчий мощностью 0,1-0,2 метра до 0,6-1 м. Отмечаются единичные пачки злевролитов мощностью до 30-80 м, а в самых зарубленых горизонтах толщи - линзы кремнистых пород.

Состав толщи и мощность ее отдельных горизонтов и пачек не выдержаны. В бассейне притоков р. Светлая толща представлена серыми мелозеристыми песчаниками с очень ред-

ками прослоями алевролитов мощностью 0,1-0,15 м. К востоку в ее составе увеличивается количество прослоев алевролитов, а мощность каждого из них возрастает до 1-1,5 м. На правобережье р. Амнус отмечается единичные пачки алевролитов мощностью до 30-80 м, а среди песчаников появляются тонкостольные разности с прослоем алевролитового материала. В бассейне притоков Нимелана в направлении с запада на восток по простиранию в составе толщи появляются, а затем постепенно увеличиваются (до 2-3% ее объема) линзы и прослои купловернистых и гравелистых седиментационных брекчий. Здесь – гравелистов и мелкообломочных линз, в верхах толщи, отмечаются единичные линзы зеленовато-серых и светло-зеленых кремнистых пород мощностью до 1,5-2 м.

Маркирующие горизонты в описываемых отложениях отсутствуют. Пачки алевролитов мощностью 30-40 м по простиранию выклиниваются на расстояние 1-1,5 км. Наиболее мощная пачка алевролитов (80 м) с редкими прослоями песчаников, находившаяся на левобереге Амнуса, на расстоянии 2 км к западу сохраняется в мощности до 50 м, а на последующих 1,5 км постепенно переходит в пачку алевролитов, тонко переслаивающихся с песчаниками. Высшая мощность толщи ограничена более 1000 м. Факультатических остатков в толще не установлено. Отложение ее согласно перекрывается нижележащей толщой, нижняя часть которой не смешана с запада территории охватываемой фактурой криптоидной лейностного возраста. На этом основании возраст нижней толщи условно принят палеогрифом.

### Верхняя толща ( $J_1^2$ )

Эта толща в виде двух полос северо-западного направления расположена в южной и северной части листа. В полном объеме толща представлена лишь в бассейне Светлой и Нимелена, плюс к востоку ее южные горизонты срезаны Нимеленской зоной разрывных нарушений.

В северной части района нижние части толщи не обнаружены. В мастице Талин-Уткача зафиксированы средние и верхние горизонты толщи, а к северо-востоку от р. Лутгца – только верхние.

Контакт с нижней толщей почти поясственно тектонический, лишь на левобереге р. Светлой – стратиграфический. Здесь в горных обнажениях приуголовой части бывшего ручья на южных склонах протяженностью 120 м идет пространная смыкость и наблюдаются резкая смена однообразно серых мелковернистых песчаников

нижней толщи согласно перекрыванием их пачкой алевролитов с прослоями глинистых сланцев мощностью 30 м, относимой к верхней толще. Линии контакта толщ чёткие, ровные, азимут падения плоскости контакта –  $10^{\circ} / 50^{\circ}$ .

Толща на 70% сложена разновернистыми песчаниками нередко с прослоем гравийного материала. Алевролиты составляют 15-18% объема толщи и наблюдаются как в виде маломощных прослоев и линз среди песчаников, так и в виде отдельных пачек мощностью до 150-200 м. На долю гравелистов и седиментационных брекчий приходится 8-10 объема толщи. В виде маломощных прослоев и линз (до 1 м) гравелисты довольно часто встречаются в песчаниках, седиментационных брекчиях, пачках переслаивания песчаников и алевролитов. Седиментационные брекчиевые чаше всего слагают быстро выклинивающиеся по простиранию линзы мощностью до 1-2 м, изредка мощность их возрастает до 80-200 м. Кремнистые породы и силикаты слагают линзы мощностью 10-20 м. Количество их в составе толщи не превышает 3-5% ее объема.

Полный разрез толщи составлен в южной части территории по коренным обнажениям левого берега р. Светлая, а затем, с некоторым перерывом (долина р. Нимелен), по водоразделу Нимелен-Нимматун. По р. Светлой на серых мелковернистых массивных песчаниках нижней толщи согласно залегают<sup>х</sup>:

#### 1. Алевролиты черные массивные с прослоями глинистых сланцев .....

30

#### 2. Песчаники темно-серые массивные и тонкостольные с линзами и прослоями (0,1-0,35 м) алевролитов и гравелистов (0,03-0,05 м)

20

#### 3. Алевролиты черные с редкими прослоями песчаников .....

15

#### 4. Песчаники темно-серые мелковернистые, переслаивающиеся с глинистыми сланцами .....

25

#### 5. Песчаники серые среднезернистые с призмами гравийного материала с прослоями и линзами гравелистов, редко седиментационных брекчий мощность 2-5 м .....

80

#### 6. Алевролиты черные тонкостольные .....

20

<sup>х</sup> Здесь и далее описание разрезов дочетвертичных отложений ведется снизу-вверх, мощности даны в метрах

7. Песчаники серые мелко-, средне-зернистые массивные с прослойками алевролитов мощностью до 0,6 м .....	65
8. Алевролиты черные, расслоенные песчаниками (0,3-0,4 м) и единичными линзами седиментационных брекчий (0,2-0,4 м) .....	10
9. Песчаники темно-серые мелковер-нистые массивные, редко тонкослоистые и с текстурами вымучивания осадка .....	60
10. Гравелиты темно-серые с прослой-ми седиментационных брекчий (0,5-0,8 м) и крупновзернистых гравелистических песчаников .....	15
II. Алевролиты черные тонкослоистые	12
12. Песчаники серые разновернистые с многочисленными маломощными прослойками граве-литов, редко седиментационных брекчий ...	45
Всего 397 м.	
По водоразделу рек Немелен-Немантиун, после перерыва в на- плениях, выше залегают:	
1. Песчаники серые средне-крупновер-нистые с примесью гравийного материала и редкими прослойками алевролитов .....	75
2. Алевролиты черные тонкослоистые с прослойками песчаников .....	50
3. Песчаники серые средне-крупновер-нистые с примесью гравийного материала, с лин-зами гравелитов, седиментационных брекчий, раке алевролитов мощностью 0,1-0,5 м .....	125
4. Песчаники серые мелко-средневернистые с примесью турбогенного материала, с линзами алевролитов .....	100
5. Седиментационные брекчии мелкобло-коющие с прослойками и линзами мелковернистых песчаников. В брекчиях обломки ростров <i>Veleumites</i> sp. ....	90
6. Песчаники серые средне- и крупно-зернистые, массивные с прослойками и линзами алевролитов мощностью 1-6 м .....	60
7. Песчаники темно-серые мелко-средневернистые массивные .....	75
8. Алевролиты черные тонкослоистые, раке массивные .....	50
9. Песчаники серые мелко- средневер-нистые тонкослоистые с прослойками гравелисто-ых песчаников и редкими линзами алевролитов .....	110
10. Песчаники средне- крупновернистые серые тонкослоистые .....	160
II. Алевролиты черные, расслоенные песчаниками .....	15
12. Песчаники, аналогичные слоям 10	25
13. Песчаники серые крупновернистые и гравелистые .....	75
14. Песчаники серые мелко- средневер-нистые массивные и тонкослоистые с линзами алевролитов и глинистых сланцев .....	85
15. Гравелиты темно-серые средне- крупнообломочные с редкими линзами седимен-тационных брекчий .....	75
16. Песчаники серые крупновернистые с обособленными мелкими телами или линзами гравелитов и седиментационных брекчий .....	50
17. Песчаники серые средне-вернистые массивные, раке тонкослоистые, с прослойами темно-серых мелковернистых песчаников и алевролитов .....	125
18. Алевролиты черные, расслоенные глинистыми сланцами, с редкими линзами мелковернистых песчаников .....	70
19. Песчаники серые средне- крупновер-нистые слоистые и массивные с прослойками и линзами мелкообломочных седиментационных брекчий, гравелитов, редко алевролитов ...	55
20. Седиментационные брекчии мелко-, средне-обломочные массивные с линзами граве-литов и песчаников .....	60
21. Песчаники серые разновернистые с линзами и прослойками гравелитов, раке седимен-тационных брекчий и алевролитов .....	200
22. Алевролиты черные массивные и тонко-слоистые с прослойками глинистых сланцев и песчаников .....	90

23. Песчаники серые крупнозернистые мас-		
совые и слоистые с редкими прослойками алевро-		
литов	.....	100
24. Травянистые темно-серые массивные с		
лизы седиментационных брекчий	.....	75
25. Песчаники серые среднезернистые мас-		
совые с примесью мелкогравийного материала		25
26. Песчаники темно-серые массивные и		
тонкослоистые с редкими линзами травянистов	60	
27. Песчаники серые среднезернистые с		
деформированными обособленными алевролитовым		
материалом	.....	40
28. Травянистые темно-серые мелкобломочные		
массивы с редкими линзами седиментационных		
брекчий и крупнозернистых травянистых пеща-		
ников	.....	50
Всего 2170 м.		

В первом для разреза характерен контрастный по зернистости набор пород в диапазоне от глинистых сланцев до грубобломочных седиментационных брекчий. Преобладанием среди них являются песчаники средние - крупнозернистые, нередко травянистые. В подчиненном количестве в состав толщи входят турбогенные песчаники и кремнистые породы. Нижние части разреза в междуречье Светлая-Нимелен отличаются максимальным для толщи содержанием алевролитов при преобладании песчаников повышенной зернистости. К этой части разреза толши приурочена основная масса линз кремнистых пород. Вверх по разрезу на левобережье Нимелен происходит огрубление состава толщи, количество алевролитовых разностей пород снижается до 15% ее общего объема, зато возрастает роль травянистых и седиментационных брекчий. При этом наблюдается приуроченность наибольшее мощных или часто встречающихся прослоев к линзам грубообломочных пород к средней и верхней частям разреза. Венчается разрез пачкой гравелитов с линзами седиментационных брекчий. К юго-востоку от описанного разреза нижние горизонты толши разреза зоны различны нарушены, а в остальной ее части отмечается постепенное сокращение (до 4-5%) количества псевдогравелитового материала, представленного, в основном, травянистыми седиментационными брекчиями. В этом же направлении увеличивается количество алевролитов. Кремнистые породы на юге встreb-

чаются лишь в междуречье Светлой-Нимелен и правобережье Деволо и Камекан. Единичные линзы спилтов отмечены в низах толщи на левобережье р.Светлая.

На севере района разрез по руч.Горному представлен верхним горизонтом толши общей мощностью 675 м. Здесь верхи толщи отличаются повышенным (до 25%) содержанием алевролитов и глинистых сланцев при одновременном уменьшении зернистости песчаников и снижении количества травянистов и седиментационных брекчий. В междуречье Горного и Ухтицы в составе толши появляются единичные меломощные линзы спилтов, дивазов и кремнистых пород, количество которых к востоку увеличивается, но не превышает 1-2% общего объема толщи. В бассейне р.Талин верхние и частично средние горизонты толши мощностью около 1000 м отличаются резко повышенной грубозернистостью. Количество алевролитовых разностей пород сохраняется здесь до 5-6%, а псевдо-псевдогравелитовых и псевдогравелитов до 25%. Причем мощность пачек седиментационных брекчий достигает максимальных значений для толщи - 250 м.

**Состав и мощность отдельных пачек по простиранию не выдер- жаны.** Даже наиболее мощные (100-250 м) пачки седиментационных брекчий на расстоянии 1,5-2 км по простиранию сменяются песчаниками с линзами и прослойками гравелитов, травянистых песчаников, редко - мелкобломочных седиментационных брекчий и алевролитов.

На фоне однообразного песчано-алевролитового, а зачастую преимущественно песчаникового состава южных отложений района преобладают разнообразным набором терригенных пород, контрастными переходами различности кластического материала верхних толщ выделяется разнообразный состав толши. Наиболее мощные породы: от мелкозернистых до гравийных, наличием турбогенных и кремнистых пород, редко спилтов и дивазов. Повсеместно в районе наблюдается приуроченность наименее мощных пластов лав или часто встречающихся прослоев к линз грубобломочных пород к средней и верхней частям разреза толши. Поэтому, несмотря на фациальное изменение состава толши по простиранию, в целом, она хорошо прослеживается и может служить маркерным подразделением в комплексе кристаллов отложений.

Мощность толши, подсчитанная графически, составляет 2200 м. К линзам седиментационных брекчий в средней и верхней частях разреза толши на правобережье Нимелен приурочены нахолкиростров фрагментов плохой сохранности, дающие возраст выше-западных их отложений не точнее, чем проским. На границе со смеж-

ним с запада листом В.И.Добкиным [34] в отложениях толщи установлены фауна *Pentacrinus cf. subangularis*(Mill.), по заключению Г.Д.Бруникоой, определяются возраст вышележащих пород как лебасовий (предположительно средний лебасовий). Кроме того, верхняя толща согласно перекрывается вышележащей с фауной тораского и аланского ярусов. Учитывая все это, возраст толщи принят среднелебасовым.

#### Нижний и средний отделы нерасчлененные

Толща песчаников мелковзернистых с прослойками алевролитов, глинистых сланцев и тuffогенных песчаников, с редкими линзами мелкообломочных брекчий, кремнистых и кремнисто-глинистых пород, единичными линзами спилитов ( $J_{1-2}$ )

Нижне-среднегорные отложения наибольшим распространением пользуются в междуречье Асыны-Лотянкинка-Альти, где их выходы захватывают в тектоническом блоке протяженностью 6-10 км. В нижнем течении р.Асыны ширина выхода толщи увеличивается, и она прослеживается в юго-восточном направлении в бассейнах рек Некта и Тарханы. В виде полосы северо-западного простирания шириной 8-10 км и протяженностью 50 км рассматриваемые отложения прослеживаются также от верховьев р.Леюко до нижнего течения р.Учи.

За основание толши принята полоса пачки алевролитов с прослонами глинистых сланцев и песчаников, согласно замечанию на подстилающей ее верхней толще нижнегорного возраста. Пачка сличается выдержанностью состава на всей территории, мощность ее колеблется от 25 до 105 м, редко достигая 170 м. Верхний горизонт лежат от 25 до 105 м, редко достигая 170 м. Верхний горизонт нижележащей толщи изобилует терригенными породами повышенной зернистости: от гравелистых песчаников с прослонами и линзами гравелитов до сидиментационных брекчий. Линия контакта во всех наблюдавшихся случаях четкая, ровная, направление падения плоскости контакта совпадает с замерами стоянности отложений выше и ниже ее.

В составе толщи резко преобладают песчаники (65-80%) мелковзернистые, серые и темно-серые, куликонитовые, полигетровые, в меньшем количестве присутствуют грауваковые и лягокластические разности. По всему разрезу толща песчаников расположены, часто ритмично, черными алевролитами, глинистыми сланца-

ми мощностью от нескольких сантиметров до 0,3-0,5 м. Обще количество алевролитовых пород толщи составляет 20-30% ее объема. Прослои и линзы кремнистых и грубообластических пород в толще редки (3-4%). Первые из них приурочены к нижним частям разреза, а грубообластические разности чаще встречаются в верхней и средней его частях. Глинистые линзы рассланцованных спилитов мощностью 5-7 м наблюдаются в верхах разреза.

Один из полных послойных разрезов толщи составлен на водозади седиментационных брекций нижележащей толщи согласно залегают:

1. Алевролиты черные массивные и тонкослоистые с линзами крупновзернистых песчаников и единичными линзами мелкообломочных седиментационных брекций мощностью 2-3 м	95
2. Песчаники темно-серые из мелковзернистые (1,5-3 м), ритмично переслаивающиеся с черными массивными алевролитами (0,2-0,3 м)	75
3. Песчаники серые мелковзернистые массивные	50
4. Алевролиты черные глинистые тонкослоистые с редкими прослойками песчаников ...	110
5. Песчаники серые мелко-, крупновзернистые итога гравелистые массивные и тонкослоистые, в верхах пачки с линзами гравелитов	75
6. Песчаники серые мелковзернистые массивные	130
7. Песчаники серые мелковзернистые массивные и слоистые с прослойками алевролитов (0,1-0,6 м), редко тuffогенных с линзами кремнистых пород (2-4 м)	80
8. Песчаники серые мелковзернистые массивные и тонкослоистые (0,8-1,5 м), ритмично переслаивающиеся с черными алевролитами (0,05-0,1 м)	180
9. Песчаники серые мелковзернистые массивные и тонкослоистые с прослойками-тремазаками глинистого материала и единичными линзами гравелистых песчаников. В средней части пачки прослои черных массивных алевролитов мощностью 20 м	190

10. Песчаники серые среднезернистые и нюхома с примесью гравийного материала и линзами гравелитов	45
II. Песчаники темно-серые мелко-, среднезернистые массивные с прослойками гли- нистых сланцев и алевролитов	50
12. Алевролиты черные мелко-, средне- зернистые с линзами и прослойками песчаников (0,05-0,2 м)	80
13. Песчаники серые мелкозернистые с прослойками среднезернистых песчаников	65
14. Песчаники темно-серые мелко-, среднезернистые с прослойками и линзами че- ных алевролитов и реже глинистых сланцев	120
15. Песчаники серые среднезернистые и нюхома с примесью гравийного материала массивные с редкими прослойками алевролитов	45
16. Алевролиты (2-4 м) черные тонко- сломистые ритмично расслоенные песчаниками (0,05-0,1 м)	110
17. Песчаники темно-серые мелко-, купинозернистые с прослойками и линзами гли- нистых песчаников и алевролитов с обиль- ным углефилированным летритом	65
18. Песчаники серые средние-, крупно- зернистые с примесью гравийного материала, с прослойками и линзами гравелитов, мелко- обломочных седиментационных брекций и алевролитов с углефилированным летритом	60

Всего 1705 м.

В приведенном разрезе преобладают породами толщи явя-  
щиеся мелко-, среднезернистые песчаники, лишь в верхах разреза  
проявляются их крупнозернистые разности. Алевролиты слагают в  
среднем до 30% общего объема толщи, причем в ее нижней половине  
количество их увеличивается до 35-40%, а в остальной части не  
превышает 20%. Линзы кремнистых пород мощностью 10-15 м встре-  
чаются в средних частях разреза и приурочены либо к пачкам  
алевролитов, либо к пачкам песчаников с многочисленными просло-  
ями алевролитов и глинистых сланцев. Заканчивается разрез пач-  
ками

кой разнозернистых песчаников с прослойками и линзами алевролитов,  
гравелитов и седиментационных брекций. Слева вверх по разрезу  
настаивается отложение состава толщи как за счет уменьшения в ее  
системе количества алевролитов, так и за счет появления круни-  
зернистых песчаников и псевдогипсовых разностей пород.  
Полное последнее разрезы толщи изучены также по р.Дистре-  
нику, в бассейне р.Унегиокон и по водоразделу ручьев Црав Ний-  
ниун и Моковой. В различных участках района составлены разрезы  
отдельных частей толщи. Разрезы свидетельствуют о финальной ус-  
тойчивости состава толщи по простираниям, параллельно выдержаны  
закономерность строения ее по вертикали. Изменения сопоставляются  
лишь к колебаниям количества алевро-пелитовых разностей пород в  
общем объеме толщи. Так, в междууречье Деоло-Кумурх количество их  
сокращается до 19-20%, а на правобережье р.Талин - до 15%. В оди-  
нстве уменьшения отмечается увеличение алевролитов и глинистых  
сланцев в низах толщи до 50%, а в верхах до 35-37%. Уменьшение ко-  
личества алевролитов в разрезе толщи снизу вверх происходит посте-  
пенно и поэтому четкой границы между ее нижней и верхней частями  
жизнить невозможно. Кининские линзы рассланцованых слюдистых отде-  
ляются в верхних горизонтах толщи в бассейне р.Инеги.

Для описываемой толщи характерны следующие признаки. Со-  
крустости отличия ее от остальных толщ южного комплекса. Сре-  
ди песчаников, слагающих большую часть толщи, преобладают мелко-  
и среднезернистые разности с прослойками алевролитов. Зачастую  
песчаники тонкослойистые. Слюстость разнообразная: горизонталь-  
ная линейная и линейко-переизмененная, линзовидная, сплюснутостная,  
косая, градиционная, нередки текстуры взмучивания осадка. Для  
толщи притуплены пачки крупноритмичного переслаивания песчаников и  
алевролитов с остатками обильного растительного детрита, следа-  
ми жизнедеятельности червей, с конкрециями марказита и пирита на  
границе прослоев песчаников и алевролитов.

Мощность толщи, подсчитанная гравиметрически, составляет 2400 м.  
На правобережье Некты в пачке гравелитов и седиментационных  
брекций верхов толщи найдены обломки ростров белемнитов, датиру-  
емых возрастом выделяющихся отложений, по заключению Е.П.Брудницкой,  
как юрский. На саженой с запада территории В.И.Анохиным [34] в  
пачке известковистых песчаников, выделенных в полосе непосредст-  
венного продолжения описанной толщи, обнаружены Ammonites sp.,  
Belemnites sp., Raedolites sp. и др. По мнению Е.П.Брудниц-  
кой, этот комплекс фактических для тоарского и аланского  
ярусов, что дает возможность датировать возраст толщи как ниже-

## Средний отдел

### Нижняя толща ( $J_1^I$ ) 2

Нижняя толща в виде полос шириной 10-12 км северо-западного простирания прослеживается от верховьев р. Оты на западе до желтушия Ути-Натаги и верховьев р. Нийка - на востоке. В местном объеме толща закартирована в междуурье Болочек-Оты, где находит ее с южной и северной стороны зонами различных нарушений. Нижняя граница толщи проходит по подошве пачки серых массивных кварцитовых песчаников, сменивших песчаники с многочисленными прослоями алевролитов, гравелитов и седиментационных брекчий, относящих к подстилающей толще.

Песчаники составляют 90-95% общего объема толщи. Чаще всего это мелкозернистые массивные разности, очень плотные, кремевые, кварцитоизоморфные. Гравелиты и крупнозернистые разности редки, алевролиты не превышают 4-7% объема толщи и встречаются чаще в виде мелкогранularных (0,01-0,1 м) прослоев в песчаниках и в пачках ритмичного переслаивания с ними. Гравелиты, гравелитовые песчаники и кремнистые породы в составе толщи не превышают 1-2%. Наблюдаются они в виде маломощных линз (от долей метра до 1-2 м), приуоченных в большинстве своем к средней части разреза толщи. Полный разрез толщи составлен на южном крыле Отунской синклинали в дассинге Дес-Макит и Листренской. В коренном обнажении левого берега р. Дес-Макит на пачке гравелитовых песчаников с линзами гравелитов, алевролитов и сидеритовидными брекчиями лежат в верхах подстилающие толщи, согласно залегают:

- I. Песчаники серые среднезернистые массивные с единичными прослоями алевролитов, в которых установлены мощности алевролитов  $\chi_1$ , *Spatulites minor*, *Tigrarita variabilis*, *Conglomerates jucundum*, *Lycosoidiumsp.* ... 70
2. Песчаники серые крупно-среднезернистые, иногда гравелитовые с единичными линзами гравелитов ..... 25

х.) Ввиду неизвестности состава яшмы и пильных линз восточного профиля отложены даже в разрезах будущий даваться указания о нахождении их без горного пересечения.

### 3. Песчаники серые мелко- среднезернистые массивные ..... 60

### 4. Песчаники серые мелко- среднезернистые, ритмично расслоенные черными алевролитами с мелким растительным детритом и комплексом минералов и пылью ..... 55

### 5. Песчаники темно-серые мелко- среднезернистые массивные ..... 50

### 6. Песчаники серые мелко-среднезернистые, расстроенные алевролитами ..... 40

### 7. Песчаники серые мелко- среднезернистые с редкими прослоями алевролитов и единичными пачками тонкого флюшевидного переслаивания песчаников, алевролитов и глинистых сланцев ..... 510

### 8. Флишевидное переслаивание песчаников серых мелко- среднезернистых массивных и тонкослоистых с алевролитами ..... 40

### 9. Песчаники серые мелкозернистые массивные с единичными пачками ритмичного переслаивания песчаников серых мелко- среднезернистых с алевролитами и глинистыми сланцами ..... 435

### II. Песчаники темно-серые мелкозернистые массивные ритмизированные ..... 65

### 12. Песчаники серые мелко- среднезернистые часто алевролитовые, тонкослоистые, расслоенные алевролитами, реже глинистыми сланцами ..... 340

### 13. Песчаники серые мелкозернистые с единичными прослоями алевролитов и линзами жеизобломочных гравелитов в средней части ..... 285

### 14. Песчаники серые мелко- среднезернистые с примесью тургогенного материала ..... 20

массивные и тонкослоистые с прослоями черных глинистых сланцев и линзами зеленоватых кремнистых пород ..... 20

15. Алевролиты черные массивные с лин- зами зеленовато-серых кремнистых пород ...	20
16. Алевролиты черные массивные реже тонкослоистые, переслаивающиеся с глинисты- ми сланцами, с редкими прослойками мелковер- истых песчаников .....	30
17. Песчаники темно-серые мелковеристы- щие массивные, редко тонкослоистые, ритмично расстояние алевролитами и глинистыми сланци- ми .....	60
18. Песчаники серые мелко-среднезер- нистые массивные с редкими прослойками алевро- литов .....	75
19. Песчаники темно-серые мелковеристы- щие массивные и тонкослоистые, переслаиваю- щиеся с алевролитами .....	30
20. Песчаники мелко-среднезернистые массивные с редкими прослойками глинистых сланцев .....	240
21. Песчаники серые мелковеристые, рас- слоенные алевролитами и глинистыми сланцами	75
22. Песчаники серые мелко-среднезернистые и глинистые сланцы .....	270
23. Песчаники серые мелко-среднезернистые и массивные с прослойками глинистых сланцев	110
и алевролитистых песчаников с растительным дет- ритом, с многосторонней пылью .....	
24. Песчаники серые мелковеристые мас- сивные редко тонкослоистые с линзами грав- ийлистых песчаников .....	95
Всего 3100 м.	

Последние разрезы толши составлены также по правому борту

р. Нижнегут, в бассейне р. Айок, по водоразделам Унгалакон-Ути и  
Ассини-Бирракачан. Повсеместно отмечается приуроченность прослоев  
гравийлистых песчаников к нижним и средним, а алев-  
ролитов — к средним частям разрезов толши. Алевролиты образуют в  
этом случае простой мощностью до 20–30 м и иногда замещают линзы  
кремнистых пород.

Фациальные изменения толщи по простиранию незначительны и  
сводятся к небольшим колебаниям количества алевролитов в ее ос-  
нове объема, а также к появлению или исчезновению отдельных про-  
лов кремнистых пород, гравийлистых песчаников и гравелитов.  
Отличительной чертой нижней толщи является резкое преобла-  
дание в ее составе однородных серых мелко-среднезернистых, за-  
частую кварцитовидных массивных песчаников. Очень редко наблюда-  
ется в них сложность — тонкая горизонтальная, линейно-предикис-  
тая, линзовидная. Только для этой толщи характерен такой тип пе-  
реслаивания песчаников и алевролитов, при котором мощность пес-  
чаниковых прослоев составляет 5–10, иногда до 20 м, а алевро-  
литов — 0,02–0,1 м. Повсеместно в толще отмечается наличие ред-  
ких пачек флювиального, а чаще крупноритмичного переслаивания  
песчаников, алевролитов, многих глинистых сланцев при резком пре-  
обладании песчаникового компонента.

Мощность толщи, попечитанная гравиметрически, составляет 3000 м.  
В пробах, отобранных из алевролитовых прослоев толщи в вер-  
хней р. Огун и в среднем течении р. Некта, В. С. Маркевич (ПГУ)  
установлен комплекс мышьяков и пыльцы, характерный, по ее опреде-  
лению, для юрских отложений. По соборам Ю. П. Гассианова [43], из  
алевролитов и углистых сланцев толщи в бассейне верхнего тече-  
ния р. Огун, М. А. Соловьевой получены спорово-пыльцевой комплекс, в  
котором среди хвостовых, синетитовых, пикаловых, пококарпусовых и  
изопозитовых присутствует пыльца *Vascoclypeum*, характерная,  
по ее мнению, для верхней юры, но встречающаяся также в средне-  
юрских отложениях. Там же в 1963 г. Г. И. Карапетянцем [48] в пес-  
чаниках с прослойками алевролитов собраны отпечатки ростров белем-  
нитов, по определению Е. Л. Брудачукой, условно датируемые возрастом  
закладших отложений как среднекорский. На основании фаунистичес-  
ких находок, а также учтенная согласное залегание рассматриваемой  
толщи на подстилающих тюфяк-валенок отложениях, ее возраст  
принят среднекорским.

#### Верхняя толща ( $J_2^e$ )

Верхняя толща в виде полосы северо-западного направления  
протяженностью 26 км при ширине 5–6 км пересекает верховья рек  
Верх. Ассини, Листренична, Огунчик. За основание толщи принимается  
подошва пачки алевролитов мощностью 60–70 м, согласно за-  
легающих на серых массивных кварцитовидных песчаниках нижней

толщи. По простиранию пачка описываемых алевролитов идет изогнутая пачкой ритмичного переслаивания песчаников и алевролитов.

Толща сложена преимущественно песчаниками (70%) мелковернистыми, зачастую алевритистыми, иногда с примесью гравийного материала, массивными и тонкослоистыми. Алевролиты (25%) представлены черными массивными и тонкослоистыми разностями с примесью глинистого материала. Количество глинистых сланцев в объеме толщи не превышает 5%, гравийки составляют 1-2%, а прослои и линзы кремнистых пород и седиментационных брекчий - единичны.

Разрез толщи составлен в верховых р. Лиственничной, где, за исключением самых нижних горизонтов, срезанных разломом, это слагают:

1. Песчаники серые мелковернистые слоистые с примесью гравийного материала с линзами гравелитов и седиментационных брекчий	20
2. Алевролиты (2-3 м), ритмично переслаивающиеся с мелковернистыми песчаниками (0,2-0,45 м), с единичными прослойками глинистых сланцев (0,03-0,05 м). В алевролитах обнаружены комплексы юрских мицотор и пильы .....	45
3. Глинистые сланцы с прослойками алевролитов (1,5-2,5 м) и линзами зеленоватых кремнистых пород .....	25
4. Песчаники (1,5-2 м) серые мелковернистые массивные, расслоенные черными тонкоплитчатыми алевролитами (0,05-0,15 м) .....	40
5. Песчаники (2-3 м, редко до 4 м) серые средне-мелковернистые массивные и тонкослоистые, переслаивающиеся с алевролитами (0,1-0,5 м) .....	50
6. Песчаники серые мелко- средневернистые массивные (1-3 м), расслоенные алевролитами и алевритистыми песчаниками (0,1-0,2 м) .....	210
7. Песчаники (1,5-3 м) серые мелковернистые массивные, расслоенные алевролитами (0,03-0,15 м, иногда до 0,3 м) .....	200
8. Песчаники (0,3-0,4 м) серые мелковернистые алевритистые массивные и тонкослоистые, переслаивающиеся с черными алевролитами (0,1-0,2 м) .....	40

Объем толщи не превышает 5%, гравийки составляют 1-2%, а прослои и линзы кремнистых пород и седиментационных брекчий - единичны.

Существенных изменений по материалам состав толщи не претерпевает. К востоку от описанного разреза в составе толщи несколько увеличивается количество песчаников и уменьшается - алевролитов. К западу, в бассейне Ассыны, из ее нижних горизонтов исчезают линзы кремнистых пород. Мощность толщи составляет 1000 м.

В алевролитах нижних горизонтов толщи на водоразделе Лиственничная-Бомтак обнаружен спорово-пыльцевой комплекс, по определению В.С.Маркевича (ШГУ), характеризующий юрские отложения. На продолжении толщи к западу за пределами листа В.И.Анохина [34] в пласте грубокластических пород обнаружено несколько обломков ростров белемнитов, датирующих возраст имеющихся пород не точнее мезозоя.

Учитывая согласное залегание толщи на подстилающих отложениях, возраст которых фаунистически определен как среднемиусский, можно предположить образование описываемой толщи во второй половине средней юры.

Ниже приводится петрографическая характеристика пород юрского комплекса.

Песчаники - наиболее распространенные породы комплекса. Микроскопически устанавливаются их псамитовые от мелко- до крупновернистых структуры, реже отмечаются псаммо-псевдитовые и псаммо-алевритовые их разности. Количество цемента в песчаниках не превышает 8-10%, лишь изредка увеличиваясь до 20-25%. Тип цементации - выполнения с элементами порового, базального и редко соприкосновения. Состав цемента серцит-кварцовый, хлорит-серцит-кварцевый, реже сиотит-серцит-хлорит-кварцевый вторичный перекристаллизованный. Иногда цемент окислен, эпилитизирован и карбонатизирован. В составе цемента отмечаются новообразования албита.

Песчаники - наименее распространенные породы комплекса. Крупновернистые устанавливаются их псамитовые от мелко- до крупновернистых структуры, реже отмечаются псаммо-псевдитовые и псаммо-алевритовые их разности. Количество цемента в песчаниках не превышает 8-10%, лишь изредка увеличиваясь до 20-25%. Тип цементации - выполнения с элементами порового, базального и редко соприкосновения. Состав цемента серцит-кварцовый, хлорит-серцит-кварцевый, реже сиотит-серцит-хлорит-кварцевый вторичный перекристаллизованный. Иногда цемент окислен, эпилитизирован и карбонатизирован. В составе цемента отмечаются новообразования албита.

Обломочный материал в песчаниках составляет 90–92%. Сортировка его по зернистости, окатанности и равномерности распределения чаще всего плохая. Размер обломочных зерен в песчаниках изменяется от 0,01 до 1м, иногда достигая 1,5–2 м. Основными породообразующими компонентами являются кварц – 20–30%, полевой шпат – 10–20%, обломки пород – 20–60%. Последние представлены обфузинами кислого, среднего и основного состава, микроплагиотитами, алевролитами, туфами кислого и среднего состава, микророгитами, микролитигитами, кремнистыми породами, кварцево-слидистыми сланцами.

Аксессорные минералы в песчаниках представлены сфеном, цирконом, апатитом, ортитом, биотитом, мусковитом, гранатом, минералами группы эпилот–диокита, мильвинитом, пакхоксоном, стульдами, роговой обманкой, кальцитом, рутилом, антазитом. По преобладанию в составе песчаников обломков тех или иных пород или минералов среди них выделяются куликаномитовые, полипетроэластические, граувакконы, лягушастические, кварцевые и метагластические разности. Кроме того, отмечаются туфогенные песчаники, в состав которых в количестве 15–20, реже до 30–35% входят обломки кварца и полевого шата буянковенного происхождения, а в цементе наблюдаются реликты пелевых структур.

Гравелиты – породы серого и темно-серого цвета, массивные, реже градационно-слоистые. Состав из обломков пород (60–70%), кварца (15–20%) и полевого шата (5–10%) размером от 2 до 8 мм. Обломки пород в большинстве своем представляют слабо дифференцированные алевролиты и в меньшей мере кислыми, средними и основными эфузивами, гранитами, песчаниками, туфами различного состава, кремнистыми породами. Степень окатанности кластического материала гравелитов плохая. Заполнительем (6–7%) в гравелитах является обломочная материал алевро-песчаниковой размерности, по составу и цвету идентичный вышеописанным песчаникам. Среди алевролитовой фракции в количестве до 3% присутствуют обломки кварца и полевого шата куликановского происхождения. Цемент в гравелитах эпиритный перекристаллизованный, по составу аналогичен цементу песчаников.

Селитебно-известняковые брекчики – породы темно-серого цвета, массивные, редко градационно-слоистые, сложенные угловатыми и уплощено-окатанными обломками алевролитов, песчаников и кремнистых

пород, составляющими 60–80% общего объема породы. Структура пород обтекаемая, мало-круглошлестовая. Заполнитель в брекчиях – гравийно-песчанистый, состав заполнителя и цемента соответствует таковым в гравелитах, описанных выше.

Алевролиты – черные тонколиточные породы массивные и тонкослоистые. Структура их алевролитовая, обтекаемо-известняковая, обстоитепропелитовая. Слоистость определяется последним расположением разносернистого обломочного материала и утесистого зерна. Кластический материал в алевролитах состоит из угляновых, угляното-окатанных, реже островертельниковых зерен кварца (20–40%), полевого шата (5–15%) и обломков пород (10–15%). Последние представлены кислыми эфузивами, в количестве единичных единиц присутствуют хорошо окатанные обломки аллюзитовых породитов, диабазов и микророгитов. Цемент (40–65%) в алевролитах базальтийский, редко с участками выплеска и порового, иногда кристаллический, перекристаллизованный, по составу слюдисто-кварцевый, эпидот-слидисто-кварцевый. Отмечается в алевролитах растительный детрит углеродированный, приглазирован, иногда полностью замещен халцедонованным кварцем. Туфогенные разности алевролитов выделяются только микроскопически по наличию среди обломков кварца и полевого шата острогольных, рогульчатых и клиновидных форм, менее подверженных процессам вторичных изменений, а также по наличию в цементе спусковых скоплений хлорита с реликтами пелевых структур.

Глинистые сланцы – породы темно-серого и черного цвета тонколитовые, с обтекаемо-литовыми структурами. Слоистые и полосчатые текстуры обусловлены концентрацией глинистого материала в виде полос или же линий нервных по очертаниям пятен, сланцеватости – параллельной ориентировкой слюдистых минералов. Порода состоит из пелитовых частичек, чешуек серпентина, хлорита и биотита, многих тончайших скоплений гудного минерала. Отмечается единичные зерна кварца алевролитовой фракции.

Кремнисто-глинистые породы окрашены в зеленовато-серый цвет обнаруживают обтекаемо-литовую структуру, массивную и полосчатую текстуры. Состав они из микрозернистого кристаллического кварца и серпентино-пирросиликатного материала, распределенного в породе равномерно либо в виде линейноконгломератных и перимиктовых полос. Трещинки наполнены вторичным мозаичным кварцем.

Кремнистые породы такие зеленовато-серого или темно-серого цвета. Состоит из микрозернистого агрегата кварца с примесью сидерита, хлорита и гидросили. Текстура породы массивная, пятнистая или полосчатая. Изредка в кремнистых породах сохраняются реликты пепловых структур, что позволяет предполагать перимично турбогенную природу кремнистых пород.

Слики - породы темно-зеленого цвета с алюминиевогранитной структурой, массивной, слабо сланцеватой, реже миндалекаменной текстурой. Состоит из тонких расщепленных листов альбитизированного пластика листовой длиной 0,2-0,4 мм, погруженных в слабоподпортичную агрегат из хлорита, лейкосилеза, минералов группы ампел-тонзита и албитита. В миндалекаменных сликах миндалины сложены кальцитом с выделением рудного минерала по их границе и редко - хлоритом в центральной части.

Либазиты - породы темно-зеленого цвета с реликтовой либазитовой, участками порфировой структурой и массивной текстурой. Порода состоит из листов хлоритизированного пластика листового и призматического широксена, замещающегося хлоритом и доломитом с выделением яшмы. Структура основной массы гематитовая. Микролиты пластика листового замещаются стекловатой массой, почти напело залежанной карбонатами, хлоритом, албитом, эпидотом.

#### МЕЛОВАЯ СИСТЕМА

##### В Е Р Х Н И Й О Т Л Е Ь

###### Толща андезитов, андезито-дацитов ( $\Delta K_2$ )

Толща андезитов, андезито-дацитов, литокристаллогластических туфов и кимбритовых дацитов в виде узкой полосы северо-восточного направления устремлена на правобережье Эльге. Севернее и западнее толща перекрыта рыхлыми четвертичными отложениями, на юге в юго-востоке ее проывают гравидороги Иченского массива. На неизвестном по протяженности отрезке толща соприкасается с юрскими терригенными отложениями, настолько их перекрывая. Небольшие языки толщи установлены также в верховых р. Таргана и в бассейне руч. Светлого.

Из-за неудовлетворительной обнаружности детальный разрез толщи составить не удалось. Составляется по данным маршрутных пе-

ресечений набора пород отдельных частей толщи в разобщенных участках района в зависимости от гипсометрического уровня их выходов в отношении с подстилающими юрскими отложениями, можно предположить прокрученность темно-серых проксимальных андезитов и андезито-дацитов к низам толщи. Наслаждаемые в верховых р. Таргана и руч. Светлого литеокристаллогластические туфы и горнокристаллические итникомиты дацитового состава относятся к более верхним горизонтам толши.

Выделенная мощность толщи на различных участках колеблется от 30 до 200 м.

На территории органических остатков в образованных толще не обнаружено. К северо-западу от описываемой территории Д.С. Затевин [6] возраст аналогичных вулканических пород определен как верхнеледовой на основании находок флоры и радиогеологических данных. Описанное образование хорошо коррелируется по составу с нижней частью толщи андезитов, дацитов и их туфов. Выделенный Ю.И. Потузовым [21] на хр. Магу, где ранее А.И. Файном [48] был собран комплекс растений, в котором наряду с формами, характерными для палеогенного времени (литий ярус), присутствует вид *Cladophritys septentrionalis* Hollis K., известный из сеноманских отложений. На основании изложенного возраст толщи ластируется как верхнеледовой.

Ниже приведена петрографическая характеристика пород.

Андезиты - темно-серые породы с порфировой структурой.

Структура основной массы пилотактическая и микролитовая. Порфиролиты выделены составляют 15-20% объема породы и представлены слабо серпентинизированными, хлоритизированными и соссоритизированными пластика листоватой формы, часто зонального строения, полисинтетически оливоникованными, а также призматическими и таблитчатыми кристаллами ромбического и моноклинного широксена. Для андезитов между речь Нимелен-Эльге характерны ромбические разности широксена, а для андезитов правобережья Эльге - моноклинные широксены (антит и дипсиол).

Основная масса составляет 80-85% объема породы и представлена микролитами пластика, ксеноморфными мелкими зернами широксена и редко кварца. Стекло в промежутках между зернами хлоритизировано и альбитизировано.

Литеокристаллогластические туфы андезито-дацитового состава представляют собой массивные породы зеленовато-серого цвета с

песчанитовой и пыльчатой структурой. Состоит они из обломков андезитов и стекла (10%), кристаллов плагиоклаза (25-35%), пироксенов (10-15%), кварца и цементирующей массы (35-40%). Обломочный материал туфов плохо отсортирован, размеры обломков кристаллов - 0,01-1,8 мм, а поры - до 3,5 мм. Цемент перекристаллизован и претерпел в микротектоническую массу без сохранения реликтов пепловых частичек.

Порфирокластические линнократы даютового состава - массивные породы серого цвета. Порфироклаз представлен неправильной формой обломками, таблитчатыми и призматическими кристаллами плагиоклазов (12-14%), остроугольными обломками кварца, погруженными в пегматитированное стекло. Иногда присутствуют флювиметодные обособления вулканического стекла размером до 3 мм.

#### Толща липаритовых, туфовых, лав липарито-дацитов, туфопесчаников и туфоизвестняков

(Л<sub>5</sub> К<sub>2</sub>)

Толща установлена в двух пространственно разобщенных тектонических блоках в верховых рек Гербикан и Некта. Ширина блоков 12 и 17 км<sup>2</sup>. Кроме того, недалекой осадкой покрова площа до около 1 км<sup>2</sup> установлена в верховых р. Гербикан. Взаимоотношения между лавами верхней толщи не выяснены из-за пространственной разобщенности их выходов. Толща с резким уклоном несогласием залегает на среднерусских осадочных отложениях, что установлено в истоках р. Гербикан. В бассейне Некта толще представлена вулканическим туфом и туфолавами липарито-дацитового состава, а в среднем течении р. Гербикан в составе толщи, помимо перечисленных разновидностей пород, присутствуют туфопесчаники и туфоверлиты. Покров в бассейне Гербикана отличается от других более пестрым и разнообразным составом пород. Здесь в туфах отмечено наличие локальных скоплений вулканических бомб липаритов размером 0,5-1 м. Форма их разнообразна, неправильная, овальная. В этой же части толщи среди туфов установлены кластические лавы мощностью до 0,5 м. Они сложены черными турами и туфритами с включениями песчанистого материала с углеродированными древесными остатками и растительным мусором. Лавы расположены вертикально и рассекают вышедшие из полого залегания туфы. Мощность толщи от 100 до 800 м.

#### Четвертичные отложения (Q<sub>1</sub>)

Отложения четвертичного происхождения этого возраста распространены в бассейнах Ассини, Нантали, Тартаки, Лётик, Некта, где они слагают аккумулятивные террасы и чехол поклонных террас. В бассейне верховьев Ассини высота уступов этих террас составляет 5-15, редко достигает 25 м, а в Тууро-Нимеленском междуречье она не превышает 1-2 м.

Наиболее полный разрез аллювия описан в уступе аккумулятивной террасы на левобережье Перевальной в ее нижнем течении, где он показан:

1. Валуны и галечники с гравийным заполнителем .....	7
2. Гравийно-галечниковый несортированный материал с песчаным заполнителем, с редкими линзами песка (0,2-0,4 м) .....	18

Всего 25 м.

По площади разрез отложений существенных изменений не претерпевает, лишь в бассейне Нанталикан-Некта в его верхних частях преобладают супеси с примесью гравийно-галечникового материала и редкими линзами гальчиков и валунов.

Описываемые отложения слагают террасы, занимающие максимально высокое гипсометрическое положение, и четко разграниченны вложенным в них верхнечетвертичными образованиями. Близкие по составу аллювиальные отложения в восточных частях Тууро-Ни-

возраст толщи определяется лишь косвенными данными. На территории установлено налегание пород толщи на прокие отложения и выявлено контактное воздействие позднечелюстных инструментов на эти породы. Составами эти образования с аналогичными на смежных территориях, возраст толщи определяется как верхнеледовый.

ме ленской впадины Ю.И.Логановом [21] на основании палеогеографических находок отнесены к среднечетвертичным. На основании скважинного возраста описываемых отложений принят также среднечетвертичный.

Ледниковые образования этого возраста установлены в право-доревельской части хр. Медведица и представлены несортированным валдайско-глыбовым материалом, щебнем с заполнителем из гравия и песка. Иногда среди валунных отложений встречаются галечники с примесью щебня, сортированные суплинками. Размер обломочного материала изменяется от 0,2 до 3-4 м, состав его соответствует составу коренных пород, слагающих стени цирков, и представлен интузивными, субулканическими разностями пород и ороговикованными песчаниками. Мощность ледниковых отложений достигает 20-50 м. К северо-западу, по собрал Д.С.Задорожне [6] в аналогичных отложениях, Л.Л.Казачихиной выделен спорово-диатомовый комплекс, отличающийся по составу исключительно четвертичным спектром среднечетвертичного времени. На этом основании возраст ледниковых отложений определен как среднечетвертичный.

#### Верхнечетвертичные отложения (Q<sub>III</sub>)

Отложения аллювиального типа описанного возраста развиты в долинах бассейна водотоков, где они слагают аккумулятивные террасы высотой 5-12 м, редко до 25 м. В междуречье Тугура и Нимелена эти отложения слагают аккумулятивные равнины. Представлены они слабо спланированными трубобломочными галечниками, валунниками с гравийным и песчаным заполнителем, с редкими линзами и прослоями песков и супесей. В междуречье Тугура и Нимелена, по мере удаления от гористых участков территории, в составе верхней части комплекса увеличивается количество псамитовых отложений. Примером может служить разрез отложений по р.Нимелун, где в уступе террасы сверху вниз наблюдались:

песка	.....	1,2
2. Суплиник супесь	.....	1,3
3. Песчано-галечные отложения с валунами, глыбами и линзами	.....	II,6
песчаники	.....	
Всего	16,7 м.	

В бассейне Эльги верхнечетвертичные отложения изучены на полуострове с плоским берегом. Здесь разрез представлен песчаниками с примесью суплинника, глины, гравия, щебня. Отмечается единичные линзы глин и галечников с примесью более тонкого псамитового и пелитового материала. В верхах разреза в песках появляется примесь илестого материала, а также линзообразные прослои илов и залежи торфа.

По данным Ю.И.Логанова [21], на смежной территории в аналогичных отложениях из разных частей разреза получен спорово-пылевой комплекс, определяющий возраст имеющихся осадков как верхнечетвертичный.

#### Верхнечетвертичные и современные отложения нерасщепленные (Q<sub>III+IV</sub>)

Эти отложения распространены незначительно и представлены зерни-оболочинными суплинками, супсиями, песком с примесью дресвы и щебня. Иногда среди этих отложений появляются валуны и глыбы размером до 1-2,5 м. В этих случаях в составе отложений резко увеличивается количество щебня - дресвы, а суплиники уступают место супесям. Описываемые отложения распространены в нижней части и у подножий пологих склонов, образуя сугробы, съединенные поверхности с углом наклона 2-6°. Сочленение этих поверхностей со склоном постепенное или со слабо выраженным перегибом. Мощность отложений у подножия склонов 3-10 м, в пределах пологих наклонных поверхностей - 1,5-3 м. Возраст этих отложений установлен принят как верхнечетвертичный-современный.

#### Современные отложения

Нижняя часть (Q<sub>IV</sub>). Аллювиальные отложения распространены в бассейнах Асыни, Галин, Эльги на неизвестных площадях. Они слагают террасы с высотой 2-5 м. Отложения представлены плохо отсортированным гравийно-валунным материалом с гравийно-песчаным, редко супесчаным заполнителем.

Верхняя часть (Q<sub>IV</sub>). Аллювиальные отложения слагают пониженные части долины рек и ручьев. Эта зона помимо выразена уступом высотой 2-3 м и сло-

жена валуно-галечным материалом с примесью песка и суглинка.

Низкую пойму представляет косовой и русловой аллювий. В долинах крупных рек он имеет видную мощность до 2 м, длина кос - сотни, а ширна - десятки метров. Аллювий низкой поймы представлен валуно-галечными отложениями с грубозернистым песком. Мощность аллювия в среднем течении достигает 3-5 м, в нижнем течении увеличивается до 10 м.

**Н е р а с ч л е н е н н ы е о т л о ж е н и я (Q<sub>JU</sub>)**  
представлены торфяниками и промывальными отложениями. Торфяники установлены на ограниченной территории в междуречье Накта-Ассини, где представлены темно-бурым плохо разложившимися торфом. По данным Ю.И.Логанова [21], на территории смешанного листа аналогичные отложения более широко распространены. Спорово-пыльцевые спектры, содержащие в них, по заключению В.Ф.Морозовой, определяют возраст выщадших отложений в интервале от голоцен до современного.

Промывальные отложения слагают конусы выноса в пристенных частях волотоков и стихиях распадков. Длина конусов выноса обычно не превышает 2 км, шириной 0,9-1,5 км. В долине р.р.Боско Устар, более один из наиболее крупных конусов в районе. Его длина 6 км, ширина у основания 4 км, а у вершины - 0,8 км. На аэрофотоснимках поверхность этого конуса характеризуется неровным пятнистым рельефом, обусловленным наличием бутров и старых промылок. Сложен конусы несортированным некатанным материалом - глыбами, обломками, щебнем, раковинами и галькой. Мощность промывания изменяется от первых метров до 30-40 м. Отложения конусов выноса частично перекрывают средне- и верхнечетвертичные отложения, в связи с чем возраст их определяется как современный.

#### И Н Т Р У З И В Н Ы Е О Б Р А З О В А Н И Я

На территории выделен Мезавандинский вулкано-плутонический комплекс, в состав которого входят эфузивные, субвуликанические, таблоидальные и плутонические изверженные породы, формирование которых прошло в четыре фазы. Первыми выделились ландыши, андезито-дациты, андезиты гранодиориты. Вторая фаза характеризуется внедрением дацитов, ландыши-дацитов и гранит-порфиров. Формирование гранодиорит-порфиров и гранит-порфиров третьей фазы, очевидно, предшествовало внедрению гранодиоритов, кварцевых диоритов,

диоритов и гранитов четвертой фазы. Одна из плоскость, занятая интрузиями на территории около 700 км<sup>2</sup>. Они сосредоточены на территории около 700 км<sup>2</sup>. Они сосредоточены на трех разобщенных участках, расположенных в наиболее высокогорной части района.

#### Сукупнические дациты, андезито-дациты, андезиты (У<sub>K2</sub>), гранодиориты (δ<sub>K2</sub>), дациты дацитов (γ<sub>K2</sub>)

Из всех магматических образований района описываемые интрузии распространены наиболее широко. Помимо указанных равноводнотерпел, они включают также в ограниченном количестве ландыши, ландыши-дациты, лавоберегки и итимориты умеренно кислого состава. Распределение их в пределах интрузии неравномерное, часто сессионное.

Наибольшая по размерам Огунская интрузия дацитов, андезито-дацитов, андезитов и гранодиоритов расположена в центральной части района, где она приручена к одной из первых облизиоритовых направлениям Огунской зоны разломов. Протяженность ее около 40 км, при ширине от 3-5 до 10-12 км. Выщадщина ее является нижне-среднепермские терригенные отложения и покров вулканогенных пород кислого и среднего состава. В южной части хр.Мезаванда интрузия прорвана несколькими крупными и мелкими массивами гранодиоритов и кварцевых диоритов четвертой фазы.

Северный контакт Огунской интрузии в районе высокогорных озер на хр.Мезаванда характеризуется извилистой конфигурацией и изменением угла падения от горизонтальных до вертикальных. Северные контакты с имеющимися породами склонствуют о лискордантом залегании, а южные, порой наклоненные к центру интрузии контакты позволяют предполагать склонную конформацию их в разрезе и форму, близкую к лакколитам. Эндоконтактовые зоны интрузии шириной от 50 до 200-300 м представлены зернистыми брекчиями, в которых количество обломочного материала достигает 70-85%. Обломки представлены вмещающими интрузии пестринками и цементирующими разнозернистыми гранодиоритами или стекловатами дацитами. Степень насыщенности пород обломками постепенно уменьшается от контактов к внутренним частям массивов, но иногда эта закономерность нарушается. Как характерный признак сукупнических пород и в частности Огунской интрузии, необходимо отметить широкое распространение в них помеленных выделений гранодиоритового состава. Размер их достигает пород нескольких десят-

ков сантиметров, форма линзовидная. Причем удлиненная сторона ориентирована, как установлено, чаще всего параллельно контактом интрузии. В красных частях Оунской интрузии иногда устанавливаются столбчатая отдельность пород. Например, в верховых Нёкта обнажены породы со столбчатой отдельностью вдоль небольшого хребта, отходящего под прямым углом от хр. Эксан. Осевые линии столбов наклонены по отношению к горизонту на юго-запад под углами от 10° до 35°, образуя пепиородный веер. Отдельные столовы представляют пяти- и реже шестигранные призмы, с неравномерно развитыми гранями. Длина столбов около 1 м, а сечение 8-15 см. Состав их, как и в целом интрузии, дацитовый, андезито-дацитовый.

Западную оконечность южной интрузии слагают порфировидные гранодиориты, неотличимые по химическому составу от дацитов. В дацитах и андезито-дацитах мелкозернистые гранодиорит-порфиры присутствуют лишь в виде гомогенных выделений. Граница между этими фациальными разновидностями во многом условна, так как они постепенно переходят друг в друга. Здесь же отмечаются лавочки и итиобириты преимущественно дацитового состава.

Дациты — наиболее распространенные породы первой фазы. Большая часть это порфировые породы с фельзитовой, микротекстурой, участками андезитовой структурой и массивной текстурой. Вкрашенники составляют 30-50% объема породы и представлены олигоклаз-андезином (10-30%), кварцем (1-5%), калишпатом (1-5%), пироксеном (1-5%), роговой обманкой (1-7%), биотитом (1-5%). Кроме того, присутствуют обломки песчаников от единичных до 10%. По основной массе широко развиты вторичные минералы — хлорит, серпентин, карбонатный материал, нередки чешуйки вторичного биотита, гидроокислы железа, эпидот. Аксессорные минералы представлены пироксеноидом, альбитом, ильменитом или титано-магнетитом, лейкосеном, сфеном, магнетитом, ксенотитом.

Англезито-дациты внешне зеленовато-серые породы порфирового сложения, массивные, иногда полосчатые. Под микроскопом различаются англезитовые, участками фельзитовые структуры. Фенокристы состоят из 25-60% породы и представлены олигоклаз-андезином (20-35%), пироксеном (5-10%), роговой обманкой (1-7%), кварцем (1-2%), единичными чешуйками биотита. Аксессорные минералы — альбит, ильменит, рутил, англезит, сфен, циркон. По основной массе имеется развиты вторичные хлорит, эпидот, кальцит, кварц. Антезиты представляют собой порфировые породы темно-серого

цвета с андезитовой, пилотактической основной массой и массивной текстурой. Количество вкрашенников в них варьирует в пределах 20-70%. Представлены они андезитом-кислым лабрадором (10-40%), ромбическим пироксеном (5-25%), моноклинным пироксеном (5-10%), роговой обманкой (0-15%), биотитом (0-5%). Аксессорные минералы представлены пироксеноидом, альбитом и лейкосеном-натрованным ильменитом. Основная масса состоит из микролитов пластика, иногда пироксена и рутильного минерала, заключенных в сладораскаристализованные стекло. По основной массе развиваются вторичные хлорит, альбит, кальцит, нередко турумелин.

Гранитоиды порфировидные представляют собой мелкозернистые светло-серые породы массивного облика с содержанием кварцевников до 70%. В их составе андезин (30-40%), кварц (5-15%), ромбический пироксен (10-12%), биотит (1-3%). Основная масса микроплагиитовая с содержанием калишпата до 10-15% и кварца 5-10%. Первичные минералы замещаются хлоритом, серпентитом, эпидотом, тримолитом.

Лавобережные андезито-дациты содержат до 75-80% обломков пород и минералов размером от 0,1 до 2,5 мм, представленных дацитами, песчаниками, андезитами и кварцем. Итиобириты порфиро- и кристалломагматические дацитовые состояния представляют собой обломочные породы с псеводоморфальными текстурами. Для них присущи фельзитовые и пирофиритовые структуры, иногда сохраняются пепловые структуры. Количество обломков в среднем составляет 40-60%. В итиобиритах присутствуют обломки песчаников и различных пород афлюзинного облика. Среди породро-клластов преобладает птилоклаз (20-40%). Роговая обманка и в незначительных количествах биотит составляют до 5-15%. Содержание калишпата варьирует в пределах 5-10%. Магнитная восприимчивость пород низкая. Средние значения ее составляют 50-75.10<sup>-6</sup> СИ. Более высокая магнитная восприимчивость у андезитов — 200.10<sup>-6</sup> СИ. Средняя плотность пород первой фазы также низкая и составляет 2,56 г/см<sup>3</sup>. Минимальная радиоактивность присуща дацитам — 9-15 МР/г, радиоактивность итиобиритов повышается до 22 МР/г. Хемизм анализа 19 образцов. Просчитаны гравиметрические породы отвечают классу пересеченных кремнеземом пород, седых цепочками (табл. I). На верхних диаграммах флуоритовые точки пород струнированы волнистыми линиями векторов андезитов, по Р.Дели. Описываемые петрографические разновидности пород слагают также несколько других массивов

Таблица I

N <sup>o</sup> n/p	N	Наименование породы	Место взятия проб	Индекс возраст	Содержание окислов в весовых процентах										Чистовье характеристики по Завариному А.Н.																				
					SiO <sub>2</sub>	TiO <sub>2</sub>	Al <sub>2</sub> O <sub>3</sub>	Fe <sub>2</sub> O <sub>3</sub>	MnO	MgO	CaO	K <sub>2</sub> O	Na <sub>2</sub> O	P <sub>2</sub> O <sub>5</sub>	CO <sub>2</sub>	H <sub>2</sub> O	ППП	Σ	α	β	γ	δ	σ	σ'	С'	f'	m'	n'	t'	η'	φ	γ%	0	Ус.	100%
1	2	3	4	5	6	7	8	9	10	11	12	13	14	15	16	17	18	19	20	21	22	23	24	25	26	27	28	29	30	31	32	33	34	35	36
1	1937	Андреевит	Хр. Мсваджа	ζK <sub>2</sub>	58,83	0,71	17,52	0,93	5,33	0,09	3,80	5,05	2,50	1,65	0,12	0,09	0,43	0,01	3,34	9,55	8,2	6,4	16,2	2,93	20,9	0,0	37,9	41,1	88,7	0,9	5,1	13	15,9	2,7	2,5
2	1939/1	"	"	ΣK <sub>2</sub>	58,68	0,64	16,25	1,07	4,79	0,10	3,28	5,97	2,14	2,47	0,05	0,12	1,28	0,00	3,94	9,68	8,8	7,2	12,4	71,6	0,0	4,6	47,7	47,7	58,8	0,8	7,9	1,2	18,4	2,7	2,6
3	1940	"	"	ζK <sub>2</sub>	55,83	0,72	18,25	0,58	5,81	0,09	3,61	5,66	2,62	1,88	0,05	0,14	0,89	0,00	4,16	9,62	9,0	7,3	15,4	68,2	15,0	0,0	42,8	42,2	67,9	1,0	4,1	1,2	11,0	2,7	2,6
4	1942	Андреевит - Дацит	"	ζK <sub>2</sub>	63,63	0,63	15,10	0,77	4,68	0,10	3,13	4,00	2,62	2,08	0,04	0,12	0,45	0,00	2,63	9,73	8,9	4,9	12,4	73,8	13,9	0,0	42,6	43,5	68,7	0,7	5,4	1,8	24,9	2,7	2,5
5	1942-1	"	"	ΣK <sub>2</sub>	61,14	0,73	16,38	1,13	4,88	0,07	3,33	5,37	2,21	1,42	0,04	0,12	0,10	0,00	2,68	9,92	7,2	6,8	13,7	74,1	14,6	0,0	42,8	42,6	70,3	0,9	7,3	1,1	23,0	2,7	2,6
6	1927	Дацит	"	ζK <sub>2</sub>	64,41	0,71	15,09	1,20	4,09	0,07	2,41	4,42	2,83	1,77	0,03	0,17	0,00	0,00	1,52	9,80	8,9	5,4	10,9	74,7	16,0	0,0	46,2	37,9	70,8	0,8	9,5	1,6	26,2	2,7	2,6
7	1929	"	"	ζK <sub>2</sub>	64,05	0,60	15,70	0,97	4,49	0,10	2,48	4,83	3,00	2,14	0,13	0,12	0,06	0,00	0,98	9,67	9,9	5,8	9,8	74,6	0,0	2,3	54,0	43,7	68,1	0,7	8,6	1,7	23,7	2,7	2,6
8	4685	"	"	ΣK <sub>2</sub>	64,27	0,54	15,61	2,03	3,24	0,09	2,57	4,87	3,10	2,55	0,00	0,10	0,00	0,00	0,33	9,92	10,6	5,4	10,0	74,1	0,0	5,9	50,0	44,0	65,1	0,6	18,1	2,0	21,6	2,7	2,6
9	5060	"	"	ζK <sub>2</sub>	63,76	0,61	17,13	1,27	4,1	0,12	1,62	4,61	3,17	2,53	0,01	0,13	0,00	0,00	0,55	9,85	10,9	5,7	9,0	74,4	12,2	0,0	56,7	31,1	65,6	0,7	12,3	1,9	21,4	2,7	2,7
10	5086	"	"	ΣK <sub>2</sub>	63,91	0,52	15,39	0,48	4,21	0,06	2,30	4,15	3,17	2,73	0,01	0,09	0,00	0,00	2,44	9,70	11,2	5,0	8,0	75,0	0,0	2,5	52,1	45,4	63,0	0,6	4,8	2,3	22,7	2,7	2,7
11	4694/3	Лаворокири Дацит	08	ζK <sub>2</sub>	64,69	0,53	15,77	1,52	3,41	0,09	2,62	4,76	3,10	2,60	0,02	0,10	0,00	0,00	3,95	9,92	10,7	5,3	9,6	74,4	0,0	5,5	48,2	46,3	64,4	0,6	13,6	2,0	22,2	2,7	2,6
12	660	Брекчия андезита 10-дацит	"	ζK <sub>2</sub>	60,57	0,81	16,01	1,95	4,16	0,12	2,07	6,91	2,04	2,67	0,15	0,00	0,04	2,04	—	9,95	8,8	6,8	11,6	72,8	0,0	16,8	51,1	31,6	53,7	1,0	15,0	1,3	21,2	2,8	2,7
13	4696	Липарит	"	λΣK <sub>2</sub>	74,9	0,09	12,74	0,52	0,56	0,01	0,78	1,42	2,41	2,42	0,02	0,00	0,73	0,00	1,84	9,84	11,1	1,7	4,3	82,8	48,3	0,0	22,1	2,96	46,3	0,1	10,0	6,6	41,7	2,7	2,5
14	К-525	Андреевит	Район г. Мцхета	ΣK <sub>2</sub>	55,90	0,77	15,62	1,29	4,18	0,13	2,88	5,93	3,05	3,54	0,14	0,11	2,92	1,81	—	10,43	12,2	4,7	13,1	70,0	0,0	20,7	40,9	38,4	56,7	1,0	8,7	2,6	19,7	2,8	2,7
15	609/2	"	Хр. Эксан	ΣK <sub>2</sub>	58,00	0,83	15,21	2,50	6,17	0,20	4,85	6,69	2,30	1,70	0,22	0,13	0,00	0,00	0,80	9,87	7,1	6,5	10,3	67,6	0,0	9,0	45,4	45,6	67,3	1,1	11,9	1,2	13,4	2,8	2,8
16	605	* Андезито - Дацит	"	ΣK <sub>2</sub>	61,40	0,67	15,65	1,20	4,53	0,13	2,58	4,72	2,52	2,24	0,01	0,19	1,32	0,00	3,39	9,76	9,2	6,0	11,4	73,5	6,2	0,0	53,6	40,2	63,1	0,8	9,4	1,5	22,6	2,7	2,6
17	612	"	"	ΣK <sub>2</sub>	62,13	0,43	16,13	1,79	4,63	0,12	2,00	5,53	2,40	2,01	0,11	0,17	0,77	0,00	2,30	9,82	8,6	6,8	10,3	74,3	4,3	0,0	61,3	34,4	64,5	0,5	15,5	1,3	24,7	2,7	2,6
18	604-1	* Итникерит Дацит	"	ζK <sub>2</sub>	62,4	0,53	16,10	2,35	3,74	0,12	2,43	4,85	2,71	2,23	0,02	0,13	0,21	0,00	1,94	9,75	9,5	6,1	10,7	73,7	5,4	0,0	54,9	39,0	64,9	0,6	19,4	1,6	22,3	2,7	2,6
19	607	Липарит	Хр. Эксан	λK <sub>2</sub>	74,65	0,03	13,90	0,95	1,37	0,05	0,51	1,24	1,91	2,81	0,01	0,15	0,70	0,00	2,60	9,76	7,9	1,4	9,2	81,5	68,3	0,0	22,6	9,1	50,8	0,0	8,5	5,5	45,6	2,6	—
20	506	* Андезито - Дацит	бассейн ручья	λΣK <sub>2</sub>	67,78	0,69	16,10	2,30	4,70	0,14	1,51	4,81	3,12	3,20	0,21	0,17	0,48	0,00	2,90	9,79	12,0	5,1	9,8	73,0	0,0	9,3	63,9	26,8	59,1	0,8	20,6	2,3	17,0	2,7	2,6
21	318	"	"	λΣK <sub>2</sub>	62,28	0,91	15,53	1,50	4,25	0,11	2,93	4,80	2,81	2,81	0,26	0,23	0,28	0,00	1,45	98,00	10,5	5,4	11,2	73,0	0,0	5,2	49,5	45,3	60,3	1,1	11,7	1,9	19,7	2,7	2,6
22	318-1	"	"	λΣK <sub>2</sub>	64,15	0,65	15,60	1,38	4,32	0,13	2,00	5,34	2,61	2,76	0,06	0,17	0,00	0,00	0,73	99,11	9,9	5,7	9,9	74,6	0,0	9,5	55,6	34,8	59,0	0,8	12,1	1,7	23,7	2,7	2,6
23	5011-1	* Итникерит липарида	"	λK <sub>2</sub>	72,25	0,33	13,85	0,55	2,25	0,06	0,53	1,98	3,36	3,00	0,01	0,13	0,03	0,00	0,37	98,17	12,6	2,4	4,3	80,7	18,8	0,0	60,8	20,5	57,3	0,3	10,7	5,4	33,8	2,6	2,6
24	319-1	"	"	λK <sub>2</sub>	70,0	0,27	15,08	0,39	2,55	0,05	0,91	2,37	4,03	2,83	0,01	0,04	0,22	0,00	1,05	98,75	12,8	2,8	5,7	78,7	25,0	0,0	48,4	26,6	68,4	0,3	5,8	4,5	28,9	2,7	2,6

\* Пробы из коллекции Эксанской партии (1973-1974 гг.)

на территории. В среднем течении р.Найка установлена Нейминская

субкулантическая интузия андезито-дацитов, претерпевшая к раз-

ложу, отвертывающуюся от Ассинийской зоны разрывных нарушений.

Размеры ее небольшие - протяженность 13 км при ширине 1-3 км.

Форма в плане неправильная, гранича извилистая. В разрезе инту-

зии сужается на глубину в виде клина. К востоку от г.Мунака ан-

дезито-дациты слагают массив площадью около 12 км<sup>2</sup>, а небольшие

штоки этих пород известны в верховых руч.Утекан и р.Эльге. Они-

связаны интузиями оказывают контактное воздействие на вмещающие

породы, выраженное в их ороговиковании в зоне шириной до сотен

метров. Давки дацитов и андезито-дацитов концентрируются вокруг

субкулантических интузий первой фазы. Форма давки обычно неизра-

имлемая, размеры не превышают первые сотни метров при ширине 10-80 м. Они приурочены к крутам и пологим разрывным нарушениям и

на глубине, очевидно, соединяются с более крупными массивами.

Субкулантические образования первой фазы представляют собой полиметавлические интузии, внедрение которых происходит многоакт-  
но, но без значительных перекрытий. На рассматриваемой территории

эти интузии приурочены к покровам поздненемецких андезитов, дацитов, липаритов и их туфов. В свою очередь, они интрузируются магмати-  
ческими образованиями второй, третьей и четвертой фаз внедрения.

Согласно радиохроническим определениям, возраст их установлены-

ется в 113,80, 88 и 90 млн. лет (табл.2).

#### Субкулантические дациты, липарито-дациты липариты ( $\lambda^{\delta}K_2$ ). Давки липарито-дацитов ( $\lambda^{\delta}K_2$ ),

#### липариты ( $\lambda K_2$ )

Рассматриваемые породы принадлежат к второму фазе субкулантических интузий. Они распространены в бассейне р.Талин, где слагают массив, удлиненный в северо-восточном направлении на 20 км при ширине от 4 до 5-8 км. Форма его стоячая. Контакты с вмещающими породами извилистые и образуют глубокие заливы как в сторону вышележащих тел, так и интузивных пород. Плоскость северного контакта в целом крутизна ( $70-90^{\circ}$ ) и наклонена как под интузией, так и от нее. Единий контакт более пологий, чем север-  
ний, и наклонен на юг. На некоторых участках контакты интузий олигогоризонтальные, направленные к центру массива. В породах передко проявлены псевдофициальные, способствующие выяснению

Р Е З У Л Ь Т А Т Ы  
таблица 2  
определения абсолютного возраста пород калий-  
аргоновым методом

№ пн	Породы	Индекс К, %	$\Delta t^{40}$ $10^{-9}$ $\frac{1}{\text{млн. лет}}$	Возраст млн. лет
1	Гранодиорит	$\lambda^{\delta}K_2$	1,13 7,53 0,00545	95,5 ± 3,5
2	319-1 Дацит	$\lambda K_2$	2,30 2,93 16,2 0,00455	115 ± 4 80
3	660	$\lambda^{\delta}K_2$	1,72 10,15 11,35 0,0052	85 88,5 ± 3,5 92
4	K-525 Дацит-порфир	$\lambda K_2$	2,49 16,8 0,0055	96 93 ± 3
5	503/1 Дацит	$\lambda K_2$	15,9 0,00524	90
6	1665/4	$\lambda K_2$	2,26 15,3 0,0055	96
7	3705 Гранодиорит	$\lambda^{\delta}K_2$	2,17 16,5 0,00698	120
8	3769	$\lambda^{\delta}K_2$	2,45 20,8 0,00697	119
9	1797	$\lambda^{\delta}K_2$	0,62 3,46 0,0043	76
10	2823	$\lambda^{\delta}K_2$	2,87 21,0 0,006	105
11	3884/6	$\lambda^{\delta}K_2$	2,01 15,25 0,00622	108,5 ± 1,5
12	56/1	$\lambda^{\delta}K_2$	2,30 18,8 0,00644	113,5 ± 0,5
13	1746	$\lambda^{\delta}K_2$	2,49 14,1 0,0046	81
14	2364	$\lambda^{\delta}K_2$	2,65 19,7 0,0061	106
15	3019	$\lambda^{\delta}K_2$	2,44 17,1 15,75 0,0053	92 96
16	K-110	$\lambda^{\delta}K_2$	3,15 21,0 0,0055	96
17	2506	$\lambda^{\delta}K_2$	2,11 13,2 0,0051	90
18	6	Гранодиорит- порфир	$\lambda^{\delta}K_2$ 2,68 12,9 0,00395	70
19	1895	$\lambda^{\delta}K_2$	2,42 16,8 0,0057	100
20	2296	$\lambda^{\delta}K_2$	3,02 20,5 0,0057	100

условий залегания и формирования интрузии. Установлено, что волнистые контакты и в центральной части достаточно резко изменяются азимуты и углы падения структур течения. Одни из них показывают направления полосчатости к центру интрузии под углами 25-50°, другие свидетельствуют об обратной ориентировке флигельности. Углы падения превышают 50°, достигая 70-80°. Разнонаправленность полосчатых текстур свидетельствует о сложной форме интрузии, а крутие углы падения флигельности о притупленности интрузии к разломам субвертикального направления. Эндоконтактовые зоны интрузии широкой до сотен метров сложены зернистыми брекчиями, насшенными обломками песчаников, дацитов, количество которых вблизи контакта возрастает. Размер обломочного материала варьирует от 1-2 до 5-10 см. Песчаники в обломках ороговикованы, некоторые сохраняют перинично-осадочные структуры.

Помимо дацитов, липарито-дацитов, преобладающих в составе интрузии, ее слагают лавобрекчи и итникобриты кислого состава. Эти породы образуют постепенные переходы с другими разновидностями и поэтому не могут быть выделены в самостоятельные породы. Дациты суббулканических интрузий второй фазы по петрографическому составу неотличимы от аналогичных пород первой фазы. Поэтому они здесь не описываются. Липарито-дациты внешне и по составу близки дацитам. Это порфиророгие породы с фельзитовой, поликлитовой, гиалиновой основной массой и массивной текстурой.

Количество вкрашенников в редковзарапленниковых разностях: олигоклаз-андезин - 10-25%, кампилит - 5-15%, кварц - 5-15%, доломит обмен-ка, ромбический циркон и биотит вместе не превышают 3-5%. В обильнолигроптических породах резко увеличивается количество плагиоклаза - до 30-40%, содержание калишпата не превышает 5%, кварц составляет 1-5%, темноцветные минералы 5-20%. Породы солерат обломки пестниковых, дацитов, андезитов и липаритов. Части гемогенное выделение гранодиоритов. По основной массе интенсивно разбиты хлорит, серпентин, карбонатный материал.

Липариты слагают значительную часть интрузий второй фазы. Это преимущественно порфиророгие породы с фельзитовой, участками микроподиоклитовой, сферолитовой основной массой, массивной, реже полосчатой и флюидальной текстурами. Наличие в них обломков песчаников и алевролитов обуславливает брекчевые текстуры. Вкрашенники составляют 20-50% объема порфиророгих разностей пород.

Среди них кампилит преобладает, составляя 5-25%, олигоклаз присутствует в количестве 1-15%, кварц - 5-20%, темноцветные составляют не более 5%. Лавобрекчи представляют собой обломочные породы, состоящие из обломков эфузивных, гранитоидных пород, песчаников размером от 1 см до 1 м, скелетизированных липаритовой или липарито-дацитовой основной массой. В составе обломков преобладают эфузивы кислого и умеренно-кислого состава, андезиты встречаются реже.

Итникобриты дацитов и липаритов ничем неотличимы от аналогичных пород покровных фаций. Средние значения магнитной восприимчивости пород второй фазы такие же как и пород первой фазы, однако пределы ее изменений превышают средние значения в 5-6 раз. Эти породы обладают минимальной плотностью, равной 2,56 г/см<sup>3</sup>.

Максимальная радиоактивность присуща липаритам и липарито-дацитам (18-22 мР/ч), близкими радиоактивными свойствами характеризуются итникобриты кислого и умеренно кислого состава. Дациты, липарито-дациты, липариты второй фазы, судя по анализам 5 образцов, относятся к породам пересыщенным кремнеземом, умеренно доломатам и седым шелочам. Три анализа отвечают составу андезито-дацитов, что связано с загрязнением кислых разностей пород обломками андезитов и песчаников. Два анализа отвечают составу липаритов. Количество кремнезема близко к липаритам, по Р.Дейл, но насыщенность шелочами в них меньше, соответственно этому понижается содержание в породах извести.

Зоны контактового изменения пород вокруг суббулканических интрузий второй фазы небольшие, лишь иногда достигают первых сантиметров. Песчаники и алевролиты в зонах ороговикованы. Цемент их перекристаллизован с образованием кварц-серпентитового агрегата, иногда зоны контакта отмечаются выплеска блокита. Структура песчаников сластигсамитовая, оластигвролитовая.

В непосредственной близости от интрузии второй фазы, на расстоянии до 1-2 км от ее границ, расположены мелкие штоки и линзы аналогичных по составу пород, по-видимому, являющихся альбакитами основного массива. Наибольшее их количество размещено в юго-северо-восточного и юго-восточного контактов интрузии. Это круглые, часто вертикальные тела длиной в первые сотни метров при ширине 50-300 м. Редко отмечается линзы протяженностью до 1-2 км.

Бордюр суббулканических интрузий второй фазы определяется как позднемеловой, поскольку они рвут суббулканические интрузии

первой фазы и прорываются гипабиссальными гранитоидами третьей фазы. Радиогонитический возраст – 115 млн. лет (табл. 2). В отчете А. С. Боненко [49] приводятся два анализа липаритов, согласно которым их возраст составляет 85 млн. лет.

**Гранодиорит-порфирь, гранит-порфирь ( $\text{Yd}^{\text{P}}\text{K}_2$ ).  
Дайки гранодиорит-порфиров ( $\text{Yd}^{\text{P}}\text{K}_2$ ), гранит-порфирь ( $\text{Yt}^{\text{P}}\text{K}_2$ )**

Эти породы слагают гипабиссальные интрузии и в районе залегают они внерные. Их формирование происходит в третью фазу магматизма, сразу после внедрения субвуликанических интрузий липарито-дацитового состава. Это малые по объему тела, обладающие неправильной, часто причудливой формой, приуроченные к небольшим трещинам. Гипабиссальные интрузии структурированы главным образом в северной половине района в междууречье Ассыни, Тутумы, Талин. К югу от долины р. Ассыни они распространены ограниченно лишь в районе г. Эксан. Общая площадь, занимаемая ими, не более 20-30 км<sup>2</sup>. Это преимущественно круглогладкие тела, исключая гранодиорит-порфоритовый массив верхний р. Тутумун, имеющий форму наклонной плоскости северо-восточного простирания. В этом массиве зафиксировано значительное количество ксенолитов осадочных город, размер которых изменяется от сантиметров до нескольких десятков метров. Песчаники в ксенолитах ороговикованы. К крутыму разложению северо-восточного направления приурочена также группа массивов гранодиорит-порфиров в бассейне р. Уханды. К северу от г. Мунака гранобосильные интрузии выполняют разломы северо-западного простирания.

Выделяющимися породами для них служат нижне-среднеирские толщи терригенного состава и субвуликанические интрузии первой и второй фаз. Зона ороговикования вокруг интрузий небольшая – первые десятки и до сотни метров.

Помимо гранодиорит-порфиров и гранит-порфиров, интрузии слагаются также в меньшей мере дацитами, диоритами и перекристаллизованными породами. Гранодиорит-порфирь – массивные плотные породы серой или зеленовато-серой окраски. Выразительности в них составляет 50-80% объема породы. Размер их 1,5-4,5 км. Представители олигоклав-андезином – 30-50%, кварцем – 5-25%, кальцитом – до 15%, роговой обманкой и биотитом – до 5-20%. Структура порфировая, мелкокристаллической основной массы – микропра-

нитовая, гранитовая. Из вторичных изменений широко распространены серидитизация, пептизация, хлоритизация, карбонатизация. Аксессорные минералы представлены апатитом, цирконом, ильменитом, орбитом и сфеном.

Гранит-порфирь – серые, поликристаллические порфировые породы, содержащие до 50% вкрашенников, заключенных в микротекстовую основную массу. Вкрашенники представлены олигоклавом – 25%, кальцитом – 5%, кварцем – 18%, роговой обманкой и биотитом – 5%. Из аксессорных присутствуют апатит, сфен, ильменит, циркон, рутил. Хлорит наименее широко распространенный минерал среди вторичных. Диоритовые порфириты – зеленовато-серые порфирорные массивные породы с содержанием вкрашенников от 25 до 50%. При микроскопическом изучении обнаруживается микроандезитовая структура и следящий состав вкрашенников: антезин – 5-30%, роговая обманка – 5-10%, кварц – 1-3%, пироксен ромбический и моноклинный – 10-20%. Микроандезитовая основная масса состоит из микролитов пластиклаза, иногда закономерно ориентированных в хлоритизированном стекле. Химический анализ 5 образцов пород из различных массивов показал схожий состав их с соответствующими породами, по Р. Дали. Среди характерных особенностей химизма можно отметить несколько повышенную плотность, глиноzemистость, железистость гранодиорит-порфиров. Гранит-порфирь характеризуется повышенной кислотностью, по сравнению с гранитами по Р. Дали, и небольшим содержанием щелочей и глиноэма.

В непосредственной близости от гипабиссальных интрузий и на достаточном расстоянии от них удачно расположились дайки гранит-порфиров, гранодиорит-порфиров и диоритовых порфиритов. Они присущи к различным направлениям и не имеют строгой пространственной ориентировки. Одноизначно решить вопрос об их принадлежности к интрузиям сложно из-за того, что они ассоциируются в различных местах района с дайками четвертой фазы, незначительно отличающимися от них составом. Размеры дайк небольшие и обычно не выходят за пределы первых километров, а чаще сотни метров при ширине в десятки метров. Дайки ориентированы вертикально или круто наклонены. Скопления их наблюдаются вблизи материнских интрузий, некоторые являются, видимо, апофизами интрузивных массивов.

Позднемеловой возраст интрузий третьей фазы определяется тем, что они прорывают субвуликанические интрузии первой и второй

фаз и охарактеризован калий-аргиронитами определенными в 93 и 100 млн. лет. Взаимоотношения с интрузиями четвертой фазы из-за терригенно-рельефной разобщенности не установлены, поэтому остается очевидной условность последовательности внедрения пород 3-й и 4-й фаз.

Гранодиориты, кварцевые диориты ( $\gamma^{\delta} K_2$ )  
граниты ( $\gamma K_2$ ), дацит гранодиориты ( $\gamma^{\delta} K_2$ ),  
диоритовых порфиритов ( $\delta \pi K_2$ ), диабазов ( $\rho \pi K_2$ )

Эти породы распространены на площади около 200 км<sup>2</sup> и слагают разрозненные массивы, наибольший из которых имеет размер 35 км<sup>2</sup>, а наименьший - 0,5 км<sup>2</sup>. Исключая два массива - Дылансий и Доненский, гранодиориты, кварцевые диориты и граниты больших размеров других находятся в тесной пространственной и генетической связи с магматическими образование более ранних фаз и входит в Мерванинский куполо-плутонический комплекс. Наиболее крупные массивы получили названия Мунакский, Эксанский, Сентакский и Мерванинский. Последний включает несколько небольших массивов, отступивших в осевой части хр. Мерванджа. Форма интрузий в плане неправильная или изометрическая. Глубина залегания среза небольшая, о чем свидетельствуют сохранившиеся в пределах массивов остатки кровли осадочных пород и нередкие ксенолиты песчаников и алевролитов в апикальных частях интрузий. В достаточно глубоких азимутальных врезах, достигающих размаха до 800 м, видно, что контакты крутые и с глубиной площадь интрузии не расширяется, а породы даже сужаются.

Наиболее детально изучены контакты Сентакского массива. Западный контакт извилистый, куполо-погружающийся как в сторону вмещающих пород, так и в сторону массива. Северный контакт наклонен под углом 50° от массива, при этом вблизи граниты и параллельно ей расположаются даеки гранодиоритов, ответвляющиеся от основного массива. Вмещающие интрузии осадочные породы освещены, окварцированы и ороговикованы. В эзоконтактовых зонах нередки кварцевые жилы, выполняющие трещины, параллельно и разновысокие относительно контакта. В зонах залегания и видоизмененных турмалиновая минерализация, выраженная в образовании турмалиновых квадрат-турмалиновых жил, брекчий с турмалиновым цементом, обширных зон турмалинизованных пород. Ширина зон измененных пород вокруг Сентакского массива гранодиоритов, несмотря на крутое погружение его контактов, достигает 3-5 км.

Мерванинская группа массивов гранодиоритов расположена преимущественно среди суббуолканических интрузий первой фазы. В их числе два крупных и около десятка мелких массивов и даек. Контакты с суббуолканическими андезитами и андезито-дацитами интрузивные. С осадочными породами контакты гранодиоритов сложные. В бассейне руч. Елового они проявляют пестранные нижней толщи среднечурского возраста, образуя складки, неправильной формы зоны круглых складок, состоящих из обломков песчаников, алевролитов, суббуолканических даек, съеменированных крупнозернистым гранодиоритовым материалом.

Контакты гранодиоритов Эксанского массива с вмещающими песчано-алевролитовыми отложениями не обнаружены. Зона контактовых роговиков достигает 1-2 км. Северная граница массива полого погружается в сторону долины р. Ассини. И это-постоянная более крутая, порядка 60-70°, погружение под вмещающие породы. В районе Эксанского массива выявлены многочисленные аномалии магнитного поля, ориентированные преимущественно в субмеридиональном и северо-восточном направлениях. Наиболее крупные из них имеют протяженность до 8 км и напряженность до 0,5 мэ. Судя по характеру аномалий, они связаны с интрузивными телами линейной формы, разбитыми тектоническими нарушениями северо-западного направления, что устанавливается по смещению изолиний  $\Delta T$  в плане. Устанавливается повышенная радиоактивность гранодиоритов массива. Гамма-активность этих пород составляет 3-4 мкР/ч на фоне 2 мкР/ч. Содержание калия колеблется в пределах 2-4%, тория 8-20.10<sup>-4</sup>. По содержанию урана выходы Эксанского массива фиксируются менее отчетливо.

Контакты Мунакского массива с вмещающими породами хорошо застекливаются на азроконтактах. Конфигурация контактов сложная и свидетельствует о крутом погружении плоскости в сторону вмещающих пород. Радиоактивность гранодиоритов массива неодинакова. Породы, слагающие его центральную часть, отличаются повышенной гамма-активностью (3-6 мкР/ч), содержание калия в них составляет 2-4%, тория - 12-20.10<sup>-4</sup>. Породы краевых частей Мунакского массива характеризуются более низкой радиоактивностью. Мунакский массив - единственный в Мерванинском комплексе, четко выделяющийся в магнитном поле. Форма аномалии в плане тупого изометрического, размер в поперечнике 5 x 7 км. Напряженность поля в краевых частях аномалии составляет 5-14 мэ, в центральной части она убы-

вает до 1 м. На севере и северо-западе аномалии положительные значения  $\Delta T$  сопряжены с резко выраженным минимумами линейной формы, что может быть обусловлено вертикальными или кругоголовыми контактами интрузии. В юго-западной части аномалии пологие линейные значения  $\Delta T$  сопряжены с резко выраженным минимумами линейной формы, что может быть обусловлено вертикальными или кругоголовыми контактами интрузии. В юго-западной части аномалии наблюдается резкое затухание магнитного поля. Глубина залегания верхней кромки магнитовозмущающего объекта здесь составляет порядка 700 м.

На северо-западе и западе Мунакский массив оканчивается почкой линейных, реже изометрических аномалий магнитного поля. Протяженность отдельных аномалий изменяется в пределах 2–6 км, напряженность магнитного поля не превышает 2 м. Судя по интенсивности, форме и размерам аномалий, они связаны с интрузиями породами среднего состава, слагающими не вскрытые зоной линий и штокобразные тела небольших размеров и лайки вокруг Мунакского массива. Глубина залегания верхних кромок интрузивных тел не превышает 100–200 м.

Гранодиорит четвертой фазы, так же как и субулканитические и гипабиссальные интрузии, приурочены к узлам пересечения разнонаправленных систем разломов и в отличие от расположенных к югу и северу гранитоидов автолитогенных тел. Среди фациальных разновидностей, помимо преобладающих гранодиоритов и кварцевых диоритов, выделяются диориты и граниты, распространенные весьма ограниченно. В краевых частях массивов иногда в виде оторочек развиваются гранодиорит-порфиры и гранит-порфиры.

Среди гранодиоритов четвертой фазы выделяются два обособленных массива — Джалонский и Ясенецкий. Первый расположен в северо-западной, второй — в юго-восточной части района. Джалонский массив на территории представлен лишь южной его частью. Контакт его известный и подчинен рельефу, что свидетельствует о его пологом характере. Судя по широким зонам сиенит-кордиеритовых роговиков, окружающих массив, направление падения плоскости контакта иное, что подтверждается также выходами гранодиоритов в узах волготеков к югу от массива. Для гранодиоритов массива присущи разно-мерные крупнозернистые структуры.

В пределах территории располагается крайняя северо-запад-

ная часть Ясенского массива площадью не более 20 км<sup>2</sup>, что составляет десятую часть его общего размера. Ещё дальше к юго-западу лежат песчано-глинистые нижнерусские отложения, с которыми гранодиориты образуют активный интрузивный контакт. Линия контакта более или менее прямая. По данным Л.Э. Эйринга [33], интрузия образует плитообразное тело, кругло падающее на северо-запад и полого — на запад. Вокруг контактов гранодиориты обогащены темноцветными минералами и приобретают мелкозернистую и порфировидную структуру. Вмешавшие пестраники и алваролиты на контакте превращены в блотитовые и кордиеритовые роговики, однако с удалением от него степень метаморфизма быстро падает. Вокруг контакта роговиков имеет ширину от 1,5 до 3–5 км. Гранодиориты Ясенского массива на отдельных участках постепенно переходят в граниты, отмечено также чередование крупнозернистых и мелкозернистых разностей пород, не образующих, однако, сколько-нибудь широких по площади полей.

Гранодиориты и кварцевые диориты по внешнему облику и петрографическому составу близки между собой. Это массивные плотные темно-серые, зеленовато-серые поликристаллические, средне- крупнозернистые породы. Микроструктура глинистоморфозернистая, гранитовая, порфирокинная, реже близкая к сублитовой. В порфиро-видных разностях гранитоидов вкрашеныников около 80–90%. Размер их от 1,5 до 4–5 мм, основная масса мелкозернистая, гранитовая или аplitовая. В кварцевых диоритах плагиоклаз-олигоклаз до кислотного лабрадора составляет 40–60% породы, а в гранодиоритах количество его обычно 30–45% и лишь редко поднимается до 50–60%. Калишпат преобладает в гранодиоритах (15–20%), в то время как в кварцевых диоритах его не более 5–15%. Содержание кварца в кварцевых диоритах — 10%, а в гранодиоритах — 20–30%. Пироксены и роговая обманка составляют 15–20%, редко количество их возрастает до 30–35%. Аксессорные минералы представлены цирконом, ильменитом, анатитом, сферитом, в Сегтакском массиве, кроме того, — турмалином, а в Джалонском — монацитом и гранатом. Гранат есть также и в яканских гранодиоритах. Из вторичных наиболее широко развиты хлорит, актинолит, кальцит, ильменит. Отмечены также аплит, серидит, треполит.

Граниты — это светло-серые, сеевые массивные крупнозернистые породы, иногда порфировидные, микроструктура которых гранитовая, глинистоморфозернистая, а в ясенских гранитах широко

распространены микрографические структуры. В состав гранитов входит олигоклаз (10–30%), кальцит (30–55%), кварц (25–35%), темношетные минералы (5–15%). Аксессорные минералы представлены сференом, апатитом, ильменитом, цирконом, рутилом. Из вторичных широко распространены хлорит, амфиболит, кальцит.

Диоритовые порфириты — массивные пограничные породы темно-серого и зеленовато-серого цвета. Вкрапленники в них составляют 10–20%, редко 50%. Основная масса средне- и мелкозернистая. Микроструктура породы гранитовая, гипидиоморфозернистая, порфировая. Плагиоклаз и пироксен в фенокристах идиоморфы, редкие кристаллы кварца обладают овальными очертаниями, роговая обманка присутствует как в виде бесформенных масс, так и в форме кристаллов таблитчатых очертаний. В основной массе, помимо плагиоклаза, пироксена, роговой обманки, кварца, реже кальцита, присутствуют аксессорные — апатит и ильменит, а также вторичные — хлорит, кальцит, серпентин, амфиболит, биотит.

Диабазы — темно-зеленые, темно-серые массивные породы, состоящие из идiomорфных кристаллов плагиоклаза и пироксена, обычно замещенного хлоритом и кальцитом, и рудного минерала, видимо, киммерита, превращенного в лейкоксен. Структура породы близка к диабазовой.

Из большинства массивов, описанных выше, отобраны 24 пробы, химический анализ которых и пересчете по А.Н.Заваринскому приведены в табл. 3. Породы относятся к классу пересыщенных кремни-кислотой, белых и очень белых пелочками. Большая часть показывает нормальный состав, а три пробы отвечают породам, пересыщенным глиниземом. Согласно химическим анализам и числовым характеристикам А.Н.Заваринского, породы четвертой фазы соответствуют кварцевым диоритам, по Дати (14 анализов), гранодиоритам (6 анализов), кварцевым монцититам (4 анализа). Небольшие отклонения химизма пород не вносят существенных изменений в их называния.

Среди некоторых особенностей химизма следует отметить преобладание в отдельных пробах калия над натрием, что свидетельствует о монцитоидности пород.

Массивы гранодиоритов сопровождаются даеками, которые не только пространственно ассоциируют с ними, но и обладают, видимо, генетически схожим роговым. Особенно интенсивно даеки распространены вблизи Сегтанского массива, где они выполняют небольшие трущины северо-западных и северо-восточных направлений. Неко-

рые даеки пересекают массивы гранодиоритов, многие из них расположены на границе массива и яменических пород. Даеки кругло под углом 75–85° наклонены в сторону массива или от него. Встречаются даеки обладающие различной ориентировкой и некоторые из них соединяются с гнейской интрузией.

Большое количество даек обрамляет юго-западную часть Эксанского массива, где они образуют поле совместно с небольшими штормами гранодиоритов и субвульканических даек первой фазы. Они разделяются вдоль разрывов северо-западного и северо-восточного направления, а в совокупности поле даек уширено в северо-восточном направлении. Даеки по протяженности не превышают первые сотни метров, мощность их измеряется от сантиметров до 50–80 м, реже до 200–300 м, падение крутное, часто вертикальное.

Меяндинский, Дягунский, Ястенский, Мунакский массивы сопровождаются лишь редкими единичными даеками. В контактовых зонах Мерванинской группы массивов большая часть даек прокручена к разломам полого северо-западного направления. Они неизменно наклонены к югу под углом 70–80°, азимут падения плоскости контакта даек изменяется от 180 до 240°. Эти замеры совпадают со сложностью в осадочных породах и с направлением линии контакта субвульканических интрузий. Мощность даек обычно 4–5 м, иногда достигает 70–80 м, протяженность не более 700–800 м.

В удалении от наиболее крупных интрузивных массивов даек исчисляются единицами. Отдельные даеки диоритовых порфиритов, диабазов, гранит-порфиров установлены в бассейнах Лев-Ассыны, Перевальной, Джигалентной, верховьев рек Игун и др. Они приурочены к крутым трещинам диагональных направлений, протяженность их небольшая. Даек на правом берегу р. Нижний Енисей, выше устья р. Святой, закартирована даека протяженностью более 9 км, при мощности 150–200 м. Она почти прямолинейно пересекает рельеф, что следствует о ее кругом залегании среди осадочных пород. Даека сложена пограничными блоками гранитами, очень покосыми на югозапад. Других даек подобного состава на территории не установлено. Половине большинство даек представлено гранодиоритами, гранитами, гранит-порфиритами, диоритами порфиритами, диабазами. Принадлежность их к интрузиям четвертой фазы определяется пространственной прокрученностью даек к массивам гранодиоритов и тождеством петрографического состава.

Гранодиориты, кварцевые диориты, граниты прорывают все известные в районе геологические образования, исклучая некоторые

### Таблица 3

даты. На сопредельной территории установлено, что они проявляются в нижнемеловые эфузивы, содержащие растительные остатки. Радио-ге-  
тические анализы образцов гранодиоритов показали следующие ре-  
зультаты. Три анализа пород Дыланско-го массива определяют его  
возраст в 96 млн. лет, два анализа — в 106 млн. лет. Сегдакский  
массив, по данным четырех анализов, имеет возраст 81,108,119,  
120 млн. лет. Одна из проб Мевандинского массива гранодиоритов  
показала 90 млн. лет. Мунакский массив и рядом с ним расположенный  
массив более южной местности имеет возраст 76 и 105 млн. лет. Иченский мас-  
сив, по данным одного анализа, датируется в 80 млн. лет. Таким  
образом, данные радиогеологических анализов возраста пород не восп-  
ластвуют с геологическими, но позволяют считать время форми-  
рования гранитолов четвертой фазы как позднемеловое.

ТЕКТОНИКА

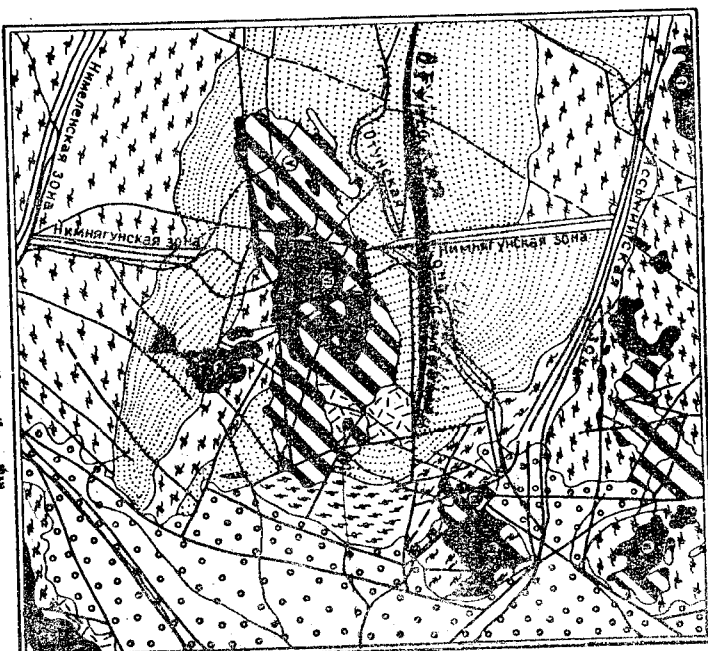
Описываемая территория расположена в западной части Ульбан- ского прогиба, относящегося к зоне сочленения Амуро-Охотской и Сихотэ-Алинской ветвей Восточно-Азиатской складчатой области. Существоует мнение, что геосинклинальное развитие Амуро-Охотской ветви "закончилось" в раннем мезозое, в то время как на востоке (Сихотэ-Алинская ветвь) поликлиническое развитие геосинклинали продолжалось до позднего мезозоя включительно" [3]. В связи с выклиниванием на хр.Джагы геосинклинальных отложений верхнего триаса и нижней юры (общий мощность около 8 км) устанавливается, что обе ветви развились в едином режиме, по крайней мере, до конца средней юры. В более позднее время геосинклинальные условия осадконакопления сохранились в пределах Южного Примура. Исходя из сказанного, структура Ульбанского прогиба, выполненного мощными отложениями песчано-сланцевой и флишовой формации ниже-среднепротерозойского возраста, относится к единой Восточно-Азиатской геосинклинальной области и пространственно расположена между Амуро-Охотской и Сихотэ-Алинской ее ветвями.

В пределах района, относящегося к западной части Ульбанско- го прогиба, выделяются два структурных комплекса: главный геосинклинальный и оротинский. Комплекс основания на территории не обнажается (рис.2).

Главный геосинклинальный комплекс охватывает отложения нижней и средней юры, представленные песчано-сланцевой и флишо-

Рис. 2. Тектоническая схема

1 - нижний структурный этап, основание главного геносинклинального комплекса; 2 - платформенные формации; 3 - верхний структурный этап, формации орогенно-го комплекса; 4 - монакристаллические, 5-6 - гранит-gneissовые формации; 7 - метаморфические комплексы; 8 - различные метаморфизмы; 9 - осевые линии; 10 - Северский Донец.



## Рис.2. Тектоническая схема

мной формацией. Нижнезернистое образование, соответствующее этому структурному комплексу, разбито ограничено в виде несущих линий отложений этих формаций в западной части Ульбанскоого прогиба синклиналью крутого склонения брахигормного типа. Прогиб имеет ее около 150 км, максимальная ширина 80 км. На территории расположается восточная половина структуры, западная ее часть описана В.И.Лютиковым [34]. Осевая линия синклинали в виде плавной дуги проектируется от верховьев р.Дерх-Ассы до северного руч. Оттунка. В этом же направлении ориентировка ее оси меняется от северо-западной до симметричной. Структура синклинали включает речное. В ее западной части [34] осевая поверхность падает в юго-западном направлении, а в восточной - это направление изменяется на северо-восток. В пределах района угла залегания складчатости северного крыла река 25-30°, а южного - 15-20°.

Дно Оттунской синклинали изобилует по многочисленным горным выработкам и коренным обнажениям изолировано по правому берегу р.Листра-литой в ее верхнем течении. Здесь она выполнена отложениями северо-западной толщи Южно-Уральского ( $J_2^2$ ), которые смыты в юго-западные опрокидутые, реже асимметричные складки и разбиты многочисленными разрывами нарушениями. Падение пластов на крыльях синклинали составляет 50-70, иногда до 80°, а шарниры под углом 20-30° погружается в северо-западном направлении. Ширина таких складок колеблется от одной до нескольких сотен метров.

Дносе крыло Оттунской синклинали сложено четырьмя толщами плюс - К средневерхнекореневого возраста, общая ширина выхода которых составляет 50-60 км. В пределах этого крыла отмечаются структуры второго порядка, к которым относятся куполы антиклинальных пегматитов в межкульье Намантун-Отте и сопряженны с ним складки, проектирующиеся от верховьев руч.Праз-Намантуна до бассейна Уйтака. Обе структуры ориентированы в северо-западном направлении. Ширина антиклинального перегиба предположительно составляет 10-15 км, протяженность его около 40 км, угол падения пластов на крыльях синклинали - 50-70°. Дное перегиба сложено ниже-средневерхнекореневыми отложениями пестрано-сланцевой формации, в северо-западной его части приурочены инструции Мерзянинского комплекса. Сопряженная с этим перегибом синклиналь имеет ширину 4-5 км, а в бассейне верхней реки Сагтах, Курукан, Уитак она увеличивается до 9-10 км. В северо-западной части синклиналь построена асимметрично с утлами падения сланиющих ее пластов на северном крыле 50-70°, а

на юном - 70-80°. В межкульье Кургум-Уитак симметрически запрокидывание синклинали к югу с углом падения ее осевой поверхности 65-70°. Выполнена синклиналь песчаниками между толши средней кры. В западной части целостность описанной выше синклинальной структуры нарушается проекциями ее интрузиями и разрывами, нарушениями северо-восточного направления.

Правое крыло Оттунской синклинали покрыто осколочно-изогнизовыми, сплошными, асимметричными, гребенчатыми складками более высоких породиков иногда с флюктуационными перегибами крыльев. Углы падения пластов в крыльях складок составляют 50-75°.

Северное крыло синклинали сломано породами трех типа: нижней и средней кры. Самая нижняя толща южного комплекса ( $J_1^1$ ) здесь не обнаружена, что можно объяснить сдвигом ее по разлому, разделяющему комплекс южной толщи южного комплекса (J $_1^2$ ) проходящим породам фундамента к северу от терригенического [5]. Породы, слагающие северное крыло синклинали, смыты в систему лигнитных, острогольниковых, изогнизовальных складок различного размеров (от нескольких десятков до сотен метров), параллельно опрокинутых на северо-восток под углом 60-70°. Нормальные асимметричные и наклонные складки истина с флюктуационными осложнениями на крыльях отличаются значительно реже и только в працех бассейна працебермы Ассы. Углы падения пластов на крыльях таких складок составляют 40-65°. К северу от р.Ассы интенсивность складчатости возрастает. Так, наблюдаемы по неизученным коренным обнажениям долин руч.Горного, а также по коренным и искусственным обнажениям левого берега р.Галин свидетельствуют о развитии здесь преимущественно опрокинутых к северу изогнизовальных складок линейного типа, передко осложненных мелкими складчатостью более высоких породиков. В северо-восточной части территории описанное крыло Оттунской синклинали осложнено опрокинутой к северу синклинальной складкой северо-западного простирания шириной 3,5 км. Дно ее выполнено отложениями толши нижне-средневерхнего возраста ( $J_{1-2}$ ). Угол наклона осевой плоскости равен 60-65°.

В межкульце Отти-Некта-Тараны на протяжении 25 км наблюдалось резкое изменение ориентировки пластов северного крыла синклинали с северо-западных близиантропных на крутые северо-западные и меридиональные. Далее по простиранию этот структурный элемент частично срезан разрывными нарушениями, а частично перекрывается

**рихими отложениями.** На фоне этого изгиба отмечается мелкие складки высоких порядков с близмеридиональной ориентировкой их осей и крутых ( $60$ – $70^\circ$ ) падением осевых поверхностей складок в западных рядах восточных румбах. Этот поперечный оценку направлений складчатости флексураобразный изгиб северного крыла Отунской синклинии, скорее всего, является результатом действия суммарно-дионально ориентированной зоны различных нарушения Конин-Нимеленского изгиба с момента ее заложения. Действенность этой зоны подтверждается и тем, что она явилась своеобразным структурным порогом между западной и восточной частями Ульбанского прогиба. К востоку от нее, по данным Д.И.Потапова [21, 22], ориентировка складчатых структур меняется на северо-восточную, а на участках, прилегающих к этой зоне, отмечается желие складчатые формы различных направлений, в том числе и меридиональных.

В целом, выражается крупная, поперечная генеральная направление прохода структура шириной в несколько десятков километров. Эта структура оказала влияние и на формирование текстурнических элементов Ульбанского прогиба в последние эпохи, о чем свидетельствует заложение в конце палеогена Конин-Нимеленской и Тугуро-Нимеленской наложенных антиклиналей, согласно с ней ориентированных. Существование этой долгоживущей поперечной структуры в пределах Ульбанского прогиба подтверждается отрицательными аномалиями силы тяжести и аномалиями магнитного поля интенсивностью 1,0–2,0 мз, выделенными в западной части Конин-Нимеленской антиклинали геофизическими работами, проведенными Н.Н.Серканим [47]. Мощный чехол рыхлых отложений, выполняющий эту антиклиналь, не позволяет детально расширять структуру ее фундамента.

Время заложения Ульбанского прогиба соответствует заложению и развитие трех крупнейших зон различных нарушений – Нимеленской, Ассинской и Отунской.

Нимеленская зона выделялась ранее М.С.Нагибной и Ю.И.Потаповым как самая крупная в Ульбанском прогибе. С запада на восток вдоль долины р.Нимелен в превалах района зона прослеживается на 50–60 км. Ширина зоны 3–4 км. От устья р.Дедово до р.Нимелен Нимеленская зона разломов ориентирована в северо-западном направлении. Далее к востоку это направление меняется на северо-восточное полого сокраще по отношению к складчатости. Здесь зона прослеживается по правому берегу р.Нимелен вдоль северных склонов Кольтурского хребта и ограничивает с юга Конин-Нимеленскую впадину. Одельные разломы, составляющие зону, повторяют ее об-

щее направление и чаще всего имеют вертикальные или близкие к нему падения плоскостей сместителей. Реже наблюдаются падения этих плоскостей под углом  $30$ – $60^\circ$ . Конседиментационной стадии развития зоны в отложениях вымещающей ее верхней толши нижней юры отвечает прослои и линзы кремнистых пород, редко спилитов, а также оползневые текстуры и следы микросбросов, находящиеся в прологах алевролитов, и текстуры взаимления осадков в песчаниках. На всем протяжении зона сопровождается линзами несортированных трубобобличных пород от гравелитов до седиментационных брекций обального типа. Выражением последних становятся развиты зоны ярко выраженного прослояния пород нижнедревних толщ, участками являются интенсивное прослояние пород нижнедревних толщ, участками смятие, рассланцевание и окварцевание. На правом склоне долины р.Нимелен одна из ветвей трассируется дайкой гранитов протяженностью 9 км. Интенсивность проявления текtonических нарушений в зоне неравномерна. Максимально измененные породы наблюдаются в устье р.Бол.Саргата. Здесь наряду с дроблением и рассланцеванием пород в пачках переслаивания песчаников и алевролитов отмечаются будни – структуры, изменение прослоев по многочисленным микронадрывам. Мелкие трещины растяжения ориентированы перпендикулярно поверхности слоев. Многочисленные зеркала скольжения на плоскостях подибок несут вертикальную и горизонтальную штриховку, что говорит о сбросо-сдвиговой природе разломов. К этому же участку приурочено резкое повышение степени динамометаморфизма и преузвешение песчаников и алевролитов в кварцево-слидистые сланцы и фyllиты.

В рельфе отдельные различные нарушения четко выражены различной глубины седловинами, а долина р.Нимелен, приугоченная к центральной части зоны, имеет прямугольный поперечный профиль с ровным дном и крутыми, почти отвесными стенками.

Ассинская зона разломов в превалах территории имеет протяженность около 60 км. Западнее, на территории соседнего листа, в бассейне р.Кумусут, она сливается с зоной Кумусутского нальма, ограниченного западную часть Ульбанского прогиба, а в восточной – соединяется с Отунской и в районе Конин-Нимеленской антиклинали перекрывается рыхлыми, четвертичными отложениями. Ширина зоны изменяется от 1–2 до 3–4 км. Почти на всем своем протяжении зона сопровождается с долиной р.Ассини и ориентирована в северо-западном направлении со складчатостью направления. На участках, примыкающих к Ассинской зоне, в отложениях верхней толши нижней юры отмечается максимальное для всего комплекса прясок отложений количество прос-

лоз и линз силикитов, диабазов, кремнистых пород, редко силик-  
фицированных губков, а также мощные (до 200 м) линзы сердеч-  
ционных брекчий овального типа. В отложениях нижне-среднегорской  
толщи участкам влияния зоны соответствуют линзы кремнистых пород,  
иногда с остатками радиолаир.

В современном плане зона выражена интенсивно раздробленны-  
ми, раславленованными, окварцованными и зачастую лимонитизирован-  
ными породами. В приступовой части р. Альтина зона сопровождается  
дайкой гранодиорит-порфиров мощностью до 50 м, а осадочные поро-  
ды превращены здесь в кварцево-слюдистые сланцы. В коренных об-  
нажениях нижнего течения р. Перевальной на участках зона отмеча-  
ется филилизацией алевролитов, а среди песчаников — появление  
прослоев кварцево-слюдистых сланцев. На отдельных отрезках зоны  
отмечается тектонические брекчики интенсивно окварцованные и сме-  
лезенные. Нередко их сопровождают хвосты жилья мощностью до  
0,6-0,7 м с пустотами, выполненные мелкими друзами кварца.

Оrientировка структурных элементов зоны, в основном, северо-  
западная. Многочисленные плоскости подибровок имеют круные углы  
падения в северо-восточных и юго-западных румбах. Из прочих на-  
правлений преобладают третичные с ориентировкой азимута падения их  
плоскостей  $130^{\circ}$ - $140^{\circ}$ / $70^{\circ}$ - $75^{\circ}$ . На отдельных отрезках зоны составля-  
ющие ее разломы являются разграничивающими для отложений разно-  
возрастных толщ юрского комплекса. К востоку от места соединения  
Отуцкой и Асынинской зон последняя распадается на несколько  
ветвей, одна из которых отеляет массив гранодиоритов г. Утакан от  
субундакитических образований дацитового и андезито-дацитового  
состава.

На участках соединения зоны с долиной р. Асынни последняя  
имеет характерный полтерный профиль с плоским дном и крутыми  
бортиками. Там же, где зона выходит за пределы долины, в рельфе  
склонов наблюдаются либо многочисленные седловины, либо уплощен-  
ные, иногда заболоченные уступы.

Отуцкая зона разломов также была описана в литературе  
М.С.Нагибиной и Ю.И.Погодовым [16]. Пологой дугой, обрамленной  
выпуклой стороной к югу, зона пересекает Отуцкий синклиналь  
примерно в ее центральной части и имеет общую направленность с  
кото-запада на северо-восток. На отдельных участках ориентировка  
зоны совпадает с направлением складчатости, местами сечет ее.  
Протяженность зоны на территории не превышает 50 км, а ширина  
ее колеблется от 3 до 8 км. К западу, по данным В.И.Анохина [34],

зона ограничивается Кукусским наимом, а на востоке — прилегает к Асынинской зоне разломов. Описанная зона хорошо обна-  
руживается в береговых обрывах р. Отуць, полина которой поглощена  
сводом к ней. На участке от руч. Рассомина до р. Гербика на-  
ружение зоны сопрягает с симметричной складчатой структурой.  
Здесь в отложениях Балашской зоны ниже толщи верхней юры отме-  
чаются редкие линзы кремнистых пород, а в песчаниках наложает-  
ся максимальное для толщи количество прослоев алевролитов и нас-  
аждается пачка тонкого флишевидного переслаивания песчаников.

На современном уровне аэродинамического среза зона представляет-  
ся сложной серой различно ориентированных и пересекающихся не-  
одинаковых зон супердиоритовыми наливами, в целом, образующих  
единую зону ступенчатой формы. Зону выполняет жареное раз-  
дробление, окленение, прожектирование, участками карбонатизи-  
рованные породы, иногда преображене в тектонические брекчики,  
сопровождающиеся тонкокристаллической, гнейсообразной и жилой ги-  
гантитовой и киноварной минерализацией. Наиболее ярко эпите-  
тическая минерализация проявлена в бассейне Дес-Манит. Здесь руды  
всех тела имеют широкую ориентировку и крупные (60-80°) северо-  
и южные углы падения. Максимального изменения в зоне города пре-  
терпевает на ее 10-километровом отрезке к востоку от устья р. Бом-  
Бек в бассейне нижнего течения р. Утакан. В первом случае пес-  
чаники и алевролиты нижней толши средней юры превращены в гигант-  
ских брекчики, состоящие из глыб в крупных блоках этих пород, смеш-  
анных относительно друг друга, и насыщенные гидроокисями железа-  
ной и марганцевой кианитовыми прожилками и жилами с рассеянной ки-  
анитовой минерализацией. В бассейне р. Утакан зона проходит по  
субундакитическим андезито-дацитам, интенсивно брекчированным,  
калинизированным, окварцованным и оклененным. По брекчиям  
развита киноварная минерализация в виде гнездовой и прожилковой  
изреженности. Многочисленные поверхности трещин с зеркалами  
скопления ориентированы по направлениям с азимутом падения 320°  
и 10-20° при углах падения 65-80°. В бассейне Утакан от Отуцкой  
зоны отрывается несколько побочных ветвей в виде одиночных раз-  
ломов северо-восточных и юго-западных наимов, которые в своем  
восточном продолжении срезаются краевыми разломами Конин-Нижне-  
ленской впадины. Отуцкая зона разломов оказала влияние на раз-  
мещение математических образований Меванджинского вулкано-плуто-

нического комплекса и неоднократно подновлялась в последующие эпохи.

#### Орогенный комплекс

Проявлениями орогенного стадия развития на площади Ульбанс-кого протяжения являются производные субсекущенного и интрузивного математизма, молассы отложений наложенных впадин и активно проявленные длинистические формы этого времени.

К образование субсекущенного математизма относятся наиболее крупный в пределах района вулканический покров сложного состава в среднем течении р.Гарбикан площадью 50-60 км<sup>2</sup>. Нижняя часть покрова представлена широких впадинами и осадочными породами. Замеры склонности в них зачастую противоречивы даже в пределах одного обнажения, но в большинстве случаев плоскости склоности наклонены к юго-востоку под углами 20-60°. Две в уступлены осадочные ладки, выполненные турами и туфлитами с включением грубого песчанистого материала с утепленными древесными остатками и растительным мусором. Тела даек вертикально рассекают пологое затягивающие широких впадин, склонов и гравелины. Верхняя часть покрова представлена юниморигами, турами и туфлами, ливарито-дацитового состава. Судя по редким замерам, потоки олобо деформированы и наклонены к юго-востоку под углами 5-10°.

В бассейне нижнего течения р.Эльге выход покрова андезитов уединен в северо-восточном направлении на 6-8 км. Слагающие его потоки слабо наклонены на северо-запад. Большая часть покрова перекрыта глыбами отложений Тутуро-Нимеленской впадины.

Орогенный интрузивный математизм представлен полидиакональным вулкано-плутоническим комплексом пород, локализованных преимущественно в центральной и северо-восточной частях территории. В масштабе всей западной части Ульбансского протяжения определенная закономерность в пространственном расположении интрузий. Как ранее, так и позже локальные интрузии приурочены, главным образом, к периферии пролеска и расположены так, что обраузут кольцо по его периметру. Отдельные звенья этого кольца расположены на территории. Это северо-западная часть Иссенского массива на юге листа, а вдоль его северной границы — группа массивов Г.Мунака, Г.Уткана и Дионская массив. В центральной части этого кольца расположена Йы-Алинский и Меванджинский вулкано-плутонические комплексы. Если первый из них, по данным В.И.Ани-

кина [34], слагает концентрически построенную структуру просадания, то Меванджинский отливается удлиненной трещиной формой, строение его обусловлено малоактивным внедрением интрузивных образований. Протяженность Меванджинской структуры около 40 км. Основное место в ее строении принадлежит субвуликаническим интрузиям гранитоидического состава. Это распространенные лакколитоподобные образования сложной конфигурации.

К центральной части Меванджинской структуры типолеет отчетливо выраженный минимум силы тяжести, связанный с интрузивными образованиями кислого состава. Интрузии, наблюдавшиеся в бассейне р.Талин, приурочены к участкам пересечения разломов широкого и субмеридионального направлений и представляют собой крутонаклонные тела, отдельные части которых в виде мощных пологонаклонных пластин внедрялись во вмещающие толщи юрских "эрдраженных" отложений. В периферийских частях эти интрузии окружены и пронизаны крупными и мелкими галечниками трещинных гипабиссальных интрузий гранитоидного состава, приуроченных к разрывным нарушениям широкого и северо-восточного направлений.

В центральной части Ульбансского протяжения, в позднеорогенный этап оживление движений по разломам привело к формированию наложенных впадин, ориентированных по отношению к складчатым структурам протяжения почти под прямым углом. На рассматриваемой территории расположена западная половина Конин-Нимеленской впадины, в целом охватывающей бассейн нижних течений рек Конин, Ассаки, Талин, Отич и среднего течения р.Нимелен. Форма впадины неправильная, вытянута в северо-восточном субмеридиональном направлении. По данным И.Л.Логачева [21], впадина представляет собой узкий, почти симметричный грабен максимальной глубиной около 1300 м в ее центральной наиболее проницайной части и 30-60 м — в периферийской. Сокращение мощностей от центра к краям частим видимо происходит неравномерно. Отмечается олковое ступенеобразное строение фундамента впадины. Отложения, заполнившие впадину, представляют собой континентальную молассу с горизонтальным напластованием пород.

В строении орогенного комплекса важную роль играют разрывные нарушения. Наиболее четко проявлены разломы северо-западных, северо-восточных и меридиональных направлений. Самыми ранними из них являются разломы северо-западной ориентации, смещаемые разломами других направлений. Отдельные участки описываемых разломов меняют ориентировку на широкую, иногда разломы имеют лугобобраз-

ные очертания. Продолженность разломов от 15-20 до 50-60 км. Нас-

лоение этих разломов в обнажениях и на аэрофотоснимках сви- ле-

тельствует об их крутом падении как в северных, так и южных ру-

бах, а образцы скольжения на плоскостях их трещин - о сбросо-

сдвиговом характере почвенно-го нем. Амплитуды перемещения по

этим разломам незначительны. Нередко зоны этих разломов сопровожда-

ся сериями квадратных ям и промылок, лайками гранодиоритов, ли-

партов, дюритовых породитов. Породы в приразломных участках

раздроблены, сильно трещиноваты и легко поддаются эрозии, вслед-

ствие чего в рельефе они чистят всеего выражены седловинами и про-

монами, иногда к ним пристосабливаются долины ручьев и рек.

Разломы субмеридиональной ориентировки менее протяженные,

чем вышеописаные, в большинстве случаев они опирающиеся по отно-

шению к разломам других направлений и быстро выклиниваются по

простирации. В восточной части территории многочисленные разло-

мы этого направления сконцентрированы в пределах широкой полосы

почти меридионального простирания, прослеживающейся от северной

до южной рамки листа вдоль краевых разломов Конин-Нижнеленской

впадины. Эта полоса разделена в Эзсанской зоне разломов. Зона

представляет собой сложно построенную систему сближенных и пере-

секающихся разломов близмеридионального направления, сочетающих-

ся со склонами и сбросами меридиональной и северо-восточной ори-

ентации. К Эзсанской зоне разломов приурочены рудообразования

олова, рогульрама, гисмута, ртути, золота и полиметаллов. Найдо-

ные богатые проявления окисленной минерализации приурочены к се-

веро-западным крутым разломам, имеющим важное металлогеническое

значение.

Северо-восточные разломы на территории распространены мень-  
ше других и лишь немногие из них проявляются на большом про-  
тяжении. Обично они представляют собой короткие, пологие к  
складчатости сбросы, которые в совокупности со смещениями их  
широкими сдвигами образуют комбинообразные системы разрывных  
нарушений, характерная расировка которых подчеркивается приспособ-  
ливавшимися к этим системам полинами рек Ассны, Прав.Ассны,  
Огур и др. На левобережье р.Лужицы к разлому северо-восточного  
напряжения приурочена цепочка небольших штоков и даек гранодио-  
рит-порфиров. Этот же разлом в долине р.Дес-Макиц сопровождается  
оперативными широтными трещинами, заполненными кварц-карбонат-ан-

тимонитовым материалом с супсидами железа. Разломы северо-вост-

очного направления ограничивают Конин-Нижнеленскую впадину, ос-  
тавляя серию ступенчатых сбросов.

Разломы меридионального направления на территории редки.

Они секут другие разломы и складчатые структуры почти пои пре-  
мым углам. Наиболее крупный из них Нижнеленский разлом пере-

секает восточную Ассинь. Отун, Нижнелен, Протяжен-

ность его - 65 км. На севере его отграничивает Ассинская, а на

юге - Нижнеленская зона разломов. Нижнеленский разлом представляет

собой серию параллельных сбросов-сдвигов вертикальных или куто-

ноконных, сопровождающихся зоной разрастанием, деформированной

и окварцованных пород шириной до 2-3 км. Многочисленные наблюде-

ния плоскостей зеркал скольжения свидетельствуют о преувеличении

но сбросов перемещения по разлому. На левобережье Отун на

участке пересечения Нижнеленской и Отунской зон разломов породы

жил и промылок различных направлений, сопровождаемых оловянной

вольфрамовой и молибденовой минерализацией.

История геологического развития рассматриваемой территории  
может проследить с момента заложения Ульбанского прогиба. Самы-  
ми древними отложениями на его территории являются верхнетриас-  
сые, распространенные лишь в южной части прогиба. Здесь С.А.Са-  
лугин [45] в 1969 г. на право- и левобережье р.Керчи в алевро-  
пелитовых отложениях, относимых ранее Л.В.Энрилем к синю, был  
обнаружен комплекс спор и пыльца верхнетриасового возраста. Ха-  
рактер осадков этого времени свидетельствует о накоплении их в  
условиях слабо проявленных блоковых движений, определявших за-  
ложение мелководного морского бассейна при стягивании форм  
рельефа областей сноса. Таким образом, позднетриасовое время  
составлялось для данного района началом расчленения консоли-  
дированного герцинского основания на блоковые участки и зало-  
жением прогибов, выполненных морскими терригенными отложениями.  
В южной части прогиба контакт верхнетриасовых и нижнетриасовых от-  
ложений повсеместно тектонический, а в его западной части  
Э.П.Хохловым [30] установлено несогласное залегание грубообло-  
мочных нижнетриасовых осадков на отложениях, литологически и по  
степени метаморфизма сходных с указанными выше верхнетриасовыми.  
Отметим, что граница грабса и нижней юры в пределах прогиба, так  
же как и на значительной части территории Дальнего Востока, су-  
ществовал перерыв в осадконакоплении.

Морская трансгрессия моря имела место в нижнепротокое время,

когда практические все территории Дальнего Востока, включая и верхнее Приморье, была зовлечена в прогибание. Вероятно, территория Ульсанского проявления характеризовалась значительными амплитудами опускания, что отразилось в больших мощностях осадков нижней и средней приз, достигавших 10-15 км. Плохие сортировка и окатанность терригенного материала и разнообразие его состава определяются, по-видимому, как скоростью прогибания дна морского дна бассейна, так и интенсивным воздействием и разрушением прилегающих участков суши. Значительную роль в формировании проявления это время играли Нижнеангарская и Ассинийская зоны разломов. С ними связаны проявления основного циклонического вулканизма и скопление ядовитых губбообломочных бражкий обвалного типа, что предполагает максимально активный обзорный характер поднятия ядра земли. Благодаря зонам нарушения, тектоническая активность проявления сохранялась в течение всего периода его развития. Зоны определялись его формой и характерной пологородной профилью в виде глубокого трота с куполами структурами.

пачали интенсивно ульо-вское прогибание, верхнее  
всего, на вторую половину средней юры.

В терригенных породах прокого комплекса основные горючие минералы представлены кварцем и ильменитом, источник которых, вероятнее всего, являлся разрушающейся Ранногорской Буренинской масивами. Поставщиком обильного вулканомагматического и грауваккного материала служили вулканы основного состава, широко распространенные в палеозойских вулканогенных образованных зонах Тукринги-Даги, а также возможные в пределах Буренинского массива покровы палеозойских вулканов кислого и среднего состава, полностью вымодернившие к настоящему времени.

ломки слабо измененных эфузивов, а также осколки кристаллов кварца и полевого шата, стекла и цементного материала, присутствующий в виде прилес в юрских осадочных отложениях, скорее всего, были результатом деятельности вулканических центров на площади самого бассейна либо за его пределами в районах прилегающей суши.

В позднем докембрии была проявлена одна из наиболее интенсивных фаз тектогенеза, в которую были сформированы главные структурные элементы Протяжка. С этого времени геосинклинальное осадконакопление прекращается, и структура Протяжка, прошедшего стадию инверсии, переходит к новому этапу развития — превращению в орогенную систему. В восточной части Протяжка начали орогенизироваться в наклонник толи конгломератов, гравелитов, грубовернистых песчаников, осахочных брекчий и алевро-пелитовых пород позднеэоценового возраста [7, 22, 29]. Начиная с этой эпохи как типично строения структура развивается и смежной с севера Торомской пропой, где находились города Молесовской формации. В западной части Ульбянского прогиба в пределах рассматриваемой территории верхнеюрские отложения отсутствуют. Горообразование и интенсивная эрозия в эпоху раннего мела привели, вероятно, к полному их разрушению. Процесс горообразования сопровождался глубокими расколами земной коры и проявлениями кислотного матматизма. В западной части Протяжка в конце раннего мела формируются крупные массивы грандиоритов Харинского комплекса. Ставование их знаменует начало мощной вспышки строения матматизма, достигшего своего зенита в позднем мелу. В течение позднемеловой эпохи происходит введение, частичное измельчение растительных и формирование зулинано-литонических ассоциаций на участках современных хребтов Ильин, Маранчика, Эксан и Кольтурский, а на востоке Ульбянского прогиба — Тутурского и Магу. К началу эпохи позднемелового матматизма на территории Сапандского Проходья относится образование погорьев андезита, дацитов, липаритов и толи пирокластических пород. Небольшие пульврены на конечных этапах сопровождаются формованием на глубинах 1–2 км лакконоситообразных субвуликанических интузий андезито-дацитов, дацитов и липаритов. Завершающий этап позднемелового матматизма отмечен становлением п. Уточинских минигнейздов тектонического состава в южных крутых массивах и трещинных тел в южной части Протяжка.

Новая фаза тектонической активности относится к палеогену. Она сопровождается образованием круглых пологих разломов, &

на востоке профиля, по данным И.И.Логатова [22,21], и местами чистой ледильности. Формирование субмеридиональных разломов обусловлено заложение впадин, которые накладывались на структуры геосинклинального комплекса, в поперечном по отношению к ним направлении. На рассматриваемой территории расположены несолько отрезок Конин-Нижнележской впадины и соединяющаяся с ней Тверская котловина. По геофизическим данным, наибольшая глубина впадины достигает 1300 м. В основании ее, по данным струйки, про- водимого Д.И.Логатовым [21], залегают отложения бородавинской свиты, возраст которой считается олигоцен-миллоном. Столово-тельце заложение эрозии происходило в конце палеогена. Поздне-ороценовая активизация обусловила образование не только наложенных впадин, выполненных вторичным молассовым комплексом, но и наземль. Несколько выше впадину мелматине, проявленного в виде базальто-ых покровов к востоку от рассматриваемой территории. Возможно, формирование южночеченских крато базальтового состава свидетельствует о прекращении орогенного режима развития района и начале консолидации его с образованием плитного комплекса.

Орогенный комплекс занимает важное место в структуре западной части Ульбансского профиля. Позднемеловой орогенический сопровождалась мощной вспышкой гранитоморфного метаморфизма с образованием

сложной вулкано-плутонической ассоциации и проявлением олово-рудной и сульфидной минерализации. С этим этапом связано формирование многочисленных разломов, определяющих металлогенные особенности района, становление рудоопределяющей, характер и amplitude перемещения блоков и заложение наложенных впадин и прогибов.

#### ГЕОМОРФОЛОГИЯ

В основу геоморфологического описания рассматриваемой территории положено выделение генетически однородных поверхностей. Большинство из них хорошо демонстрируется на аэрофотоснимках, где каждой поверхности соответствует свой фототон, обусловленный характером растительности, расположением глыбовых осипов, рингом склонов мелких форм рельефа.

Проведенные исследования позволили выделить: структуро-денудационный рельеф, созданный ледниковой преледниковой интрузионных массивов; денудационно-эрзационный рельеф склонов

горных возышеностей; рельеф поверхности выравнивания, созданый пропусками комплексной денудации; рельеф ледникового прохождения и рельеф речного прохождения.

Структурно-денудационный рельеф, созданный денудационной преледниковой интрузионных массивов

Эта категория рельефа распространена в пределах Динанского и Эксанского массивов граниторитов, массивов хр.Менанда и г.Боско, сложенных липаритами, датитами, их антикорарами и прорванных интрузиями гранитов и граниторитов. Для всех этих структурных форм характерны изометричные очертания и относительно большие высоты (250-300 м). Водоразделы широкие, уклонение, местами слегка заблокочены, вершины с пологими симметричными склонами. Образование рельефа связано с преледниковой субуналических тел, массивов граниторитов, отличающихся большой устойчивостью к процессам выветривания.

#### Денудационно-эрзационный рельеф склонов горных возышеностей

Эта категория рельефа образует горные сооружения, занимающие значительную часть территории. Вся заливная и в меньшей мере восточная окраина рассматриваемой площади характеризуется преобладанием среднетретного кругосклонного (25-60°) рельефа с абсолютными высотами от 800 до 1800 м. Для него типичны узкие, скалистые подорожальные трещины, протяженностью от сотен метров до 10 км. Одним из наиболее протяженных является водораздел рек Ассин и Огур, пересекающий территорию в виде ломаной линии с запада на восток почти на 50 км.

Поверхности склонов вогнутые, круглые как в приводораздельной части достигает 40-50°, уменьшаясь к долинам рек до 25°. Склоны расчленены многочисленными узкими расщелинами, имеющими крутой, часто ступенчатый профиль. Аналогичное строение имеет склон хр.Менанда, протянувшись в виде гигантской дуги с запада на юг через территорию более чем на 60 км. На западе его высота достигает 1900 м, на юге понижается до 1000 м. Здесь отмечается переход кругих поверхностей в поверхности средней крутизны путем выпадения склонов в сторону долин.

Более пологосклонный ( $15^{\circ}-25^{\circ}$ ) горный рельеф тяготеет к восточной половине территории и находится в пределах абсолютных высот 300–1100 м. Широко распространены поверхности средней крутизны на склонах хр. Жасан. Здесь рельеф приобретает более сложные очертания, возвышенные гребни широкие, уплощенные, вершины куполообразные с симметричными склонами. Склоны выпуклые и прямые, расчленены распадками и долинами мелких ручьев.

### Древние поверхности денудационного наравнивания

Эти поверхности распространены в центральной и восточной частях района в пределах абсолютных отметок 300–650 м. Границы с денудационно-эрозионными склонами обычно постепенные нечеткие. Для них характерны стиженные формы рельефа, широкие, плоские и выпуклые водоразделы с неясными куполовидными вершинами и неглубокими седловинами. Поперечный профиль коротких склонов, имеющих крутизу от 6 до  $15^{\circ}$ , прямой или слабо выпуклый. Д.Ф. Чемков [32] выделяет в Приалтае несколько разновозрастных изогородий денудационного наравнивания. Представляет ся, что описаные поверхности могут быть реликтами сливочн-межденового уровня региональной planации.

### Рельеф ледникового происхождения

Формы рельефа, связанные с четвертичным оплывением, разбиты в высокогорной части хр. Меванды, где насчитывается 48 ледниковых цирков. Они представляют собой чашеобразные углубления, врезанные в крутые склоны водоразделов в пределах высот 1300–1900 м. Диаметр цирков достигает 2,5 км, глубина от 50 до 400 м. Задние стени цирков крутые ( $60^{\circ}-70^{\circ}$ ), нередко отвесные, с пилообразной верхней кромкой, расчлененные узкими промежутками и бороздами. На участках, где стены соседних цирков сходятся, образуются острые скалистые гребни и пирамидальные останцовые вершины (карлины). Ниже цирков, в верховых многих рек и ручьев, сохранились участки троговых лож с выпуклыми склонами и уплощенными днищами, перекрытыми чехлом основной морены мощностью до 10 м. По аналогии с сопредельными районами Сихотэ-Алиня и Им-

Альян время проявления оплывания относится к средне- и поздне-четвертичной ледниковой эпохам.

Ледниковые поверхности, сформированные в эпоху средне-четвертичного оплывания, развиты в высокогорной части хр. Меванды. Площадь, занятая ими, достигает 1–2 км<sup>2</sup>. На аэрофотоснимках они распознаются по пятнистому серому фону горизонтальной рисунку, чередующимся трия и понижений с зеркалами озер.

### Рельеф речного происхождения

Речные долины в районе относятся к двум морфологическим разновидностям. В горах преобладают кругосклонные долины с V-образным поперечным профилем, в предгорьях – более широкие, гравийного профиля долины.

Речные террасы достаточно уверенно подразделяются на три разнообразных комплекса: средне-четвертичный, поздне-четвертичный и современный (толосовина).

К средне-четвертичным относятся поклонные и аккумулятивные террасы с относительным превышением 8–10 м. Они широко распространены в долинах рек Ассыни, Некта, Нангами. Ширина поверхности от 0,6 до 5 км, превышение от 2 до 25 км. К руслам рек эти поверхности обрамлены крутыми (50–70°) уступами, с террасами, имеющими поверхностями подиен-четвертичного возраста имеют пологие или

плоскую, иногда слабо всхолмленную с ложбинками и буграми. Отмечается слабый наклон поверхностей террас в сторону формировавших их рек.

Поздне-четвертичные террасы (в основном аккумулятивные) развиты в долинах всех крупных водотоков. В пределах Конин-Ни-менской депрессии площадь их выхода составляет 300 км<sup>2</sup>. От современных аккумулятивных террас описываемые отличаются хорошо выраженным крутым уступом (50–70°) высотой до 10–12 м. Типовой тип верхне-четвертичных террас на участках, пограничных со склонами, четкий, а на участках южеления с террасами средне-четвертичного возраста установлен как четкий, так и сложенный граници. Поверхность террас неровная расчлененная ложбинами, промоинами, заросшая густым лесом.

К современным аккумулятивным уровням относятся высокая

(3 м) и низкая (0,5-1 м) поима, разбитые в долинах всех рек и ручьев. Уступ высокой поимы крутой, часто обрывистый, склона выражена ясно. Поверхность как низкой, так и высокой поимы неровная, бугристая, расчлененная протоками, сухими руслами, промоинами.

## П О Л Е З Н Ы Е И С К О П А Е М Ы Е

На территории установлены проявления олова, золота, полиметаллических руд, ртути, сурымы и строительных материалов. Съемления о полезных ископаемых даны на карте по состоянию на 1 января 1976 г.

### ТОРИДИЕ ИСКОПАЕМЫЕ

#### Торф

Торфяники распространены в пределах Туруто-Нижнеленской депрессии. Мощность торфа в нижнем течении Эльги достигает 4 м. Торф низкокачественный, сапрочный, сладко и средне разложившийся, с примесью минеральных частиц, сильно водонасыщенный. Торф, как топливное сырье, в связи с малой мощностью его пластов и низким качеством промышленного интереса не представляет. Может быть использован в сельском хозяйстве в качестве удобрения.

### МЕТАЛЛИЧЕСКИЕ ИСКОПАЕМЫЕ

#### Ц В Е Т Н И Е М Е Т А Л Л И

#### Медь

Геохимический ореол рассеяния меди (Г-З-1) площадью 10 км<sup>2</sup> вытянут в верхнем течении р.Майд.Сагтак и р.Курган. Площадь ореола расположена в пределах зоны разломов субмеридионального направления, приуроченной к экзоконтакту интрузии поздненемировых сибирь-рого-восточно-манских гранодiorитов, прорывающих песчаники и алевриты средненерской толщи. Городы в зоне трещиноваты, обрекиречены, турмалинированы и сопровождаются рассеянной сульфидной минерализацией (ширит, ареобонит, халькопирит). Содержания

установлены один шлиховой ореол миметезита и дрэ. Рулоно-явление свинца.

Шред ореола миметезита совместно с базисномутлитом (Ш-З-1) выражается на плоскости в 25 км<sup>2</sup> в бассейне верхнего течения р.Надыкта. Площадь ореола сложена позднеловийскими покровами дацитов и липарито-дацитов, прорванными гранодiorитами позднего меда. В зоне разрывного нарушения субмеридионального направления города гидротермально изменены и служат, вероятно, источником свинцовой минерализации. В количестве единичных знаков миметезит встречен в 26 пробах, а базиснит - в 21 пробе.

Руло-проявление свинца (П-З-1) выявлено на олововорудном участке "Эксан". Здесь в оротовиковых пестняниках вскрыта сульфидная жила мощностью 1,5 м, приуроченная к разлуке субмеридионального направления. Жила содержит галенитовую минерализацию тианитово-прокляшкового типа. Содержание свинца в жиле, по данным структурного анализа двух бороздовых проб, составляет 1%, мышьяка - 1-3%. В пределах участка в породах кварцевого и кварц-турмалинового состава отмечается точечная вкрашиваемость галенита при содержании свинца в них 0,05-0,5%. Шлиховым опробованием единичные знаки галенита, миметезита, ванадинита обнаружены в пробах в руло-вых реках Улакан, Уматокон, Гарсикан, а также по Отту и Нильяту.

Руло-проявление свинца (ГУ-З-3) установлено в бассейне р.Майдакон. Здесь контакт гранодiorит-порфиров с оротовикованными песчаниками и алевролитами осложнен зоной различных нарушений северо-восточного направления. В зоне наблюдается интенсивное дробление, грейзенизация, окварцевание, турмалинизация и сульфидизация.

меди в пробах лонных осадков не превышают 0,003-0,005%. В 30 шлиховых пробах медь встречается в количестве 0,01-0,05%. Гидротермическая обстановка в пределах ореола неблагоприятна для формирования перспективных типов месторождений меди, поэтому район на медь однозначно отрицательно. Расселянная медная минерализация установлена в районе повсеместно и связана с зонами гидротермально измененных город, которые содержит медь в количестве 0,01-0,07%.

#### Свинец

ции гранодиоритов и в меньшей мере песчаников. Изменение породы, по данным спектрального анализа штучных проб, содержит олово в количестве от 0,3 до 1-3%, сурьму - 1-3%, висмут - 0,3-1%, серебро - 0,01-0,03%, золото - 0,2-0,7 г/т, олово - 0,01-0,03%, медь и цинк - 0,1%. Повышенная концентрация синива и соудострупных ему компонентов в сопредельных шихах характеризует обычно ореолы над невскрытыми оговариваемыми телами или самое верхнее их части. В связи с этим можно сделать вывод о незначительности эрозионного среза рудопроявления и рекомендовать его для дальнейшего изучения поисковыми работами масштаба 1:10 000. Рассевная сомноженная минерализация с содержанием металла 0,01-0,05% на штурмую пробу установлена в районе повсеместно и связана с зонами гидротермально измененных пород.

#### Цинк

Комплексный геохимический ореол (Ш-1-1) рассеянния цинка и меди оконтурен в верхнем течении р. Нимлагун. Ореол приурочен к контакту позднепалеозойских субуглинистических дацитов, андезито-цианитовых с позднепалеозойскими гранодиоритами. В зонах разломов широкого и северо-восточного направления породы раздроблены, окварцеваны, обогащены и несут рассеянную сульфидную минерализацию. В пробах ложных осадков цинк содержится в количестве 0,007-0,03%, медь - 0,003-0,005%. По аналогии с соседними районами, где подимагматические ореолы фиксируют не вскрытые эрозией оловорудные тела, данный ореол требует доизучения и постановки поисковых работ масштаба 1:10 000.

#### Олово

На территории установлено 7 шиховых ореолов рассеянния кассiterита и несколько рудопроявлений олова.

Первый ореол (I-1-1) рассеянния кассiterита належит к сасседине руч. Оловянного, где содержание его в шихах колеблется от единичных знаков до 0,3 г/м<sup>3</sup>. На площади ореола распространены нижне-юрские песчаники и алевролиты, прорваные гранодиоритами Дюлонского массива. Осадочные породы вблизи контакта ороговикованны, трещиноваты, рассечены кварцевыми и кварц-полевошпатовыми жилами с сульфидами и турмалином. В пределах ореола проведены поисковые работы масштаба 1:10 000, но дальше положительных результатов.

Второй ореол (I-3-1) рассеянния кассiterита площадью 350 км<sup>2</sup> оконтурен в междуречье Ассыны-Талин. Кассiterит в шиховых пробах содержит от 1-100 знаков до 10 г/м<sup>3</sup>, в знаковом количестве отмечается перевинистое олово. Сопутствующие компоненты представлены вольфрамитом, шеелитом, базовисмитом, единичными знатками золота и киновари. Описываемый ореол сопровождается геохимическим ореолом (I-3-2) олова. Содержание олова в пробах ложных осадков составляет 0,0065-0,05%, меди, синива и цинка - тысячные и сотые доли процента, мышьяка - сотые и десятие доли процента. В пределах ореола проведены поисковые работы на олово, результаты которых изложены ниже (участок "Боско").

Третий ореол (II-1-2) рассеянния кассiterита площадью 6 км<sup>2</sup> выявлен в бассейне руч. Огунца. Площадь ореола сложена прослонами и ожелезненными среднегюрскими пачечниками и алевролитами. Кассiterит фиксируется в 10 шихах в количестве от единичных знаков до 0,3-0,4 г/м<sup>3</sup> совместно с молибденитом, галенитом, сфalerитом и золотом. Этому ореолу соответствует геохимический ореол олова и полиметаллов с содержанием полезных компонентов в десятичесчные и тысячные доли процента. К западу от описанного ореола выходят за рамки описываемого района и охватывают участок "Коврижка", на котором В.И.Агойкин [34] ранее провелы поисковые работы.

Четвертый ореол (II-2-1) рассеянния кассiterита и вольфрамита площадью 25 км<sup>2</sup> установлен в бассейне руч. Огунчик. В 40 пробах кассiterит присутствует в количестве от единичных до 100 знаков, а в 4 пробах содержание его возрастает до 25 г/м<sup>3</sup>. В 16 пробах в знаковых количествах отмечены вольфрамит и шеелит. На этой площади проведены поисковые работы, результаты которых изложены ниже (участок "Огунчик").

Пятый ореол (II-4-1) рассеянния кассiterита площадью 90 км<sup>2</sup> оконтурен в среднем течении р. Некка. Содержание кассiterита в пробах колеблется от единичных знаков до 10 г/м<sup>3</sup>. Геохимический ореол, сопутствующий описанному, характеризуется содержанием олова, меди, синива и цинка в тысячных и сотых доли процента. Описание результатов проведенных здесь поисковых работ сделано ниже (участок "Экан").

Шестой ореол (ГУ-2-1) рассеянния кассiterита площадью 600 км<sup>2</sup> установлен в бассейне Нимлагуна. Территория ореола сложена преимущественно нижне- и среднегюрскими осадочными породами, участ-

ками оротовикованиями. Многочисленные и разнонаправленные зоны разрывных нарушений в осадочных толщах сопровождаются интенсивным дроблением пород, а также кварцеми жилами и прожилками с хлоритом и рассеянной сульфидной минерализацией. Содержания кассiterита в шлихах от единичных до 100 знаков. В бассейне р. Сегтак, где среднерусские песчаники прорваны интрузиями граниторигоритов, содержания кассiterита в отдельных шлиховых пробах возрастают до бесовских количеств. На этом участке проявлены полиметаллические работы, результаты которых изложены ниже (участок "Сагтак").

Седьмой ореол (ГУ-1-1) рассеянных кассiterитовых площадью 10 км<sup>2</sup> расположен в бассейне нижнего течения р. Ахто. Участок ореола сложен нижнерусскими песчаниками и алевролитами. Зоны разрывных нарушений в них сопровождаются лайками гранитов и кварцевыми жилами с сульфидной минерализацией. В II шлиховых пробах из этого по ореола кассiterит отмечен в количестве 1-20 знаков, в двух пробах отмечен в количестве 1 и 5 г/т. В пяти пробах донных осадков установлено 0,0005-0,003% олова, а в востоках - 0,05-0,1% мильяка. Для оконтурирования описанного ореола кассiterита выяснение его возможных источников необходимо проведение в бассейне р. Светлая шлихового опробования аллювия в масштабе 1:50 000.

Рудопроявление Боско (Г-3-3) расположено в бассейне руч. Боско, Соболиной и Талин на площасти 35 км<sup>2</sup>. Участок рудопроявления сложен нижне- и нижне-среднерусскими песчано-алевролитовыми отложениями, прорванными суббукингитовыми интрузиями липаритов, интиморитами липаритов, дацитов, андезитов и незначительными по протяженности лайками липаритов, дисоритовых порфиритов, гранодиорит-порфиров и андезитов. На участке широко распространены различные нарушения, с которыми связаны зоны гидротермально измененных пород и оловорудные проявления. В плане они образуют поле, вытянутое в северо-восточном направлении, в пределах которого каждая отдельная зона имеет северо-западную или северо-восточную ориентировку. Такие структурные рисунки гидротермального поля можно объяснить существованием здесь более круглой развязки структуры северо-восточного олиго-меридионального направления, которую определяют русловыми, имеющими трещины и мелкие разломы северо-западного и юго-восточного простираний.

В пределах поля гидротермально измененных пород широко развиты мелкодренированные и вкрашенные турмалиновые, массивные кварц-турмалиновые метасоматиты, окварцевание, сульфидизация и лимонитизация. Наиболее метасоматическая переработка подвергены супензационные итбиориты липаритового состава. На пло-

щади участка в коренном залегании установлено 77 различных по составу и строению зон, несущих оловянную минерализацию. Большая часть их расположена друг от друга на расстояниях 1-20 м, реже до 50-100 м. Иногда серия сближенных зон образует полосы, между которыми имеющиеся породы значительно турмалинированы и окварцированы. Сближенные зоны часто сливаются друг с другом, имеют кудисообразное строение или расщепляются на более мелкие ответвления. Все зоны контролируют разрывные нарушения северо-западного направления и круто падают на юго-запад, редко на северо-восток. К этим же зонам присущи лайки гранит-порфиров и липаритов, контактовые части которых обычно интенсивно минерализованы. Мощность зон изменяется от 0,06 до 24 м, а их протяженность - от 10 до 320 м. Содержание олова колеблется от 0,01 до 37,08%. В 58 зонах олово присутствует в солях и тысячах долей процента. В 9 зонах отмечается присутствие с содержанием олова от 0,1 до 1-3%. Установлено, что зоны с содержанием олова - до 37,08%, несут лишь единичные бороздовые пробы. Кратко охарактеризуем наиболее интересные с поверхности зоны.

Зона 24 вскрыта 4 канавами через 20 м и прослежена на 60 м. В северо-западной части зоны имеет мощность около 1 м. Сложен она массивными кварц-турмалиновыми метасоматитами, турмалинизованными итбиоритами, а в центральной части - сближенными прожилками (до 1,8 см) кассiterит-кварц-турмалинового состава.

Среднее содержание олова составляет 14,74%. В юго-восточной части зоны на протяжении 40 м по простиранию мощность ее возрастает до 2 м, а мощность прожилков кассiterит-кварц-турмалинового состава - до 2,8 см. Здесь же в делювии были обнаружены обломки почти мономинеральных кассiterитовых жил мощностью до 5 см. Содержание олова в этой части зоны изменяется от 0,74 до 8,97%. Далее в юго-восточном направлении зона обрезается меридиональным разломом, а к северо-западу, сливаясь с другой зоной, продолжается еще на 20 м. Мощность ее на этом интервале 1,2 м. Содержание олова падает до 0,1%. Далее к северо-западу зона не прослежена, но обломки пород с кассiterитом встречаются реже.

Таким образом, наиболее обогащенная часть зоны имеет параметры: длину 60 м, мощность 0,87 м, содержание - 6,57%.

Зона 20 по эпигенетическим развалам прослежена на 40 м. Представлена массивными кварц-турмалиновыми метасоматитами с прожилками и линзочками кварца с вкрашенностью кассiterита. На отдельных линзах зону слагают интенсивно лимонитизированные кварцтурмалиновые брекчи. Зона имеет юго-западное падение.

(зазор падения 230°) и угол наклона – 80°. Средняя мощность зоны 2,12 м, содержание олова – 1%.

Зона 25 канавами и по эловинам развалом прослежена на 60 м. Северо-западные фланги зоны представлены брекчиями кварц-турмалинового состава, в ее центральной части рассечены многочисленными обжженными прожилками кварца с тонкой вкрапленностью касситерита. Мощность этой части зоны 0,4 м, а содержание олова – 0,7%.

Юго-восточнее на продолжении зоны описаные брекчии смениются гипоминерализованными итнимбритами липаритового состава с кварц-турмалиновыми прожилками (мощность до 4 см). Содержание олова на этом участке зоны снижается до 0,01–0,2%. Учитывая, что промышленное содержание олова (0,7%) отмечено в зоне линз в одной пробе, а в остальных просах содержание его низкое (0,01–0,2%), эта зона с поверхности промышленного интереса не представляет.

На северо-западном фланге зоны 69 общей протяженностью 320 м выделен интервал с промышленным содержанием олова, прослеженный канавами на 120 м. Представлен он интенсивно окварцованными липаритами с прожилками и линзами турмалина с гнездами желтовато-белого и мелкоузовинчатого или сливного кварца. Мощность рудной части зоны на этом интервале 1–1,2 м, содержание олова – 0,31–0,37%.

Зона 72, вскрытая лишь одной канавой, представлена кварц-турмалиновой брекчийей среди итнимбритов липаритового состава. Брекчия рассечена разнонаправленными маломощными кварц-турмалиновыми и кварцевыми прожилками. Мощность зоны – 0,5 м, содержание олова – 0,86%.

Появляющееся большинство выявленных рудопроявлений приурочено к площади, примыкающей к Верхне г.Боско. Эти проявления постепенно полно изучены с поверхности горными выработками. На южных и юго-западных флангах участка проведеноплощадное металлогеологическое спроведение линиями и поисковые маршруты №-ба 1:10 000, в результате которых здесь установлен крупный орбек расчленения олова и многочисленные зоны метасоматитов с прожилками и кимами кварца, несущими гнейзообразную вкрапленность супфильдов. Содержание олова в этих зонах достигает 0,21%. Горными выработками по одному пересечению каждая вскрыта лишь две зоны. Северные фланги участка изучены слабо. По данным маркируемых пересечений, зоны гидротермально измененных пород приурочены к днищам ручьев и распадков и отсутствуют на разделенных их водоразделах. Для

вскрытия и изучения зон метасоматитов на северных и южных флангах участка Боско необходимо провести дополнительные горнопроходческие работы. Окончательное же выяснение перспектив этого проявления возможно только путем бурения скважин на глубину 300–400 м либо проходки штолен, пересекающей зону метасоматита на более глубоком уровне, чем уровень современного залежионного озера.

Рудопроявление Тулене (1-3-4) расположено на северном склоне п.Ухтина, в 400 м от ее вершины. В зоне разрывных нарушений гранодиорит-порфирий с автоматическими брекчиями липаритов и липарито-дацитов, породы окварцована и сульфидизирована. В них наблюдаются серии обжженных кварцевых прожилков мощностью до 20 см. Мощность зоны 200 м. Содержание касситерита в измененных породах достигает 50–100 г/т, а в кварцевых дайках – 310–440 г/т. Спектральный анализ одного штуфа показал содержание олова – 0,5%, свинца – 0,2%, вольфрама, меди, сурьмы, висмута – сопне доли процента. На этом проявлении в настоящее время продолжается поисково-разведочная работа №-ба 1:10 000.

Рудопроявление Уткан-Л (1-3-5) установлено в сопствене одноименного ручья. Участок сложен среднерусскими песчаниками и алевролитами, прорваными автомагматическими брекчиями липаритов и дайками липаритов и гранодиорит-порфирий. Проявление олова приурочено к разлому широкого направления, в зоне которого породы обрекчированы и окварцованы. По данным минералогического анализа штучных проб, содержание касситерита составляет 10–12 г/т. Непосредственная близость описанного рудопроявления к участку Боско, залегание рудных тел в породах осадочного комплекса позволяет рекомендовать его для проведения поисковых работ №-ба 1:10 000 с применением бурения.

Рудопроявление руч.Поворотного (1-3-6) выявлено в бассейне руч.Уткан. Среднерусские песчаники с прослоями алевролитов прорваны постепенными субвуликаническими дацитами и дайками липаритов. Оруденение связано с полиметаллическими изменениями пород, в которых, по данным спектрального изучения проб, олово содержится в количестве 0,05%. С поверхности рудопроявление практического интереса не представляет.

Рудопроявление Эксан (1-3-1) расположено в среднем течении р.Некта в пределах йоканская рудной зоны. Площадь его сложена нижне-среднерусскими песчано-глинистыми отложениями, прорваными субвуликаническими интрузиями дацитов, их итнимбритами, дайками

**штоками гранодиорит-порфиров.** Многочисленные разрывные нарушения, главным образом северо-восточного и северо-западного направлений, разделяют площадьрудопроявления на ряд блоков. Зоны этих нарушений, а также отдельные разрывы, эндо- и экзоонтакты интрузий сопровождаются в различной степени гидротермально измененными породами, в плане образующими полосу шириной 2-2,5 км и протяженностью 6 км, вытянутую в северо-восточном направлении от истоков руч. Чёрного до верховьев р. Икточка. Здесь широко распространены породы с мелкотрещинковой и вкрашенной турмалинизацией, туриллин-кварцевые и серцит-кварцевые метасоматиты, сульфидизирование, пропилитизация, прожаравленные, каолинизированые и лимонитизированные породы. Среди пород с гнейзовово-вкрашенной и мелкотрещинковой турмалинизацией устанавливаются линейно-вытянутые или неправильной формы зоны, сложенные мелко-зернистыми сливными туриллин-кварцевыми метасоматитами, разделяемые на существенно кварцевые, туриллин-кварцевые, кварцево-турмалиновые метасоматиты и туриллиты, которые развиваются как по осадочным, так и по математическим породам. Контакты зон метасоматитов в одних случаях резкие, в других постепенные.

Одна из таких зон в бассейне руч. Чёрного тяготеет к акционной контактовой зоне неравномерно турмалинизованных гранодиорит-порфиров. Она вытянута в северо-восточном направлении и прослежена канавами на 220 м при ширине от I до 13 м. Главное рудное тело расположено в центральной части зоны туриллин-кварцевых пород и выделено по данным бороздового опробования. Протяженность его 173 м, мощность варьирует от I до II м, средняя - 4,9 м, содержание олова колеблется от 0,1 до 12,4%, принятное среднее - 0,22%. На удалении в I-3,5 м от главного рудного тела к юго-востоку выделяется второе рудное тело протяженностью 53 м, средней мощностью 1,7 м и средним содержанием олова 0,36%. Северо-западнее главного рудного тела, в 3-8 м от него, вскрыта рудная линза длиной 42 м, средней мощностью 2,5 м и средним содержанием олова 0,27%.

Кроме этих рудных тел, на этой же площади установлены еще два с небольшими параметрами и содержанием олова 0,1-0,2%. Металлогеографическим опробованием всей площади проявления выявлено около 50 вторичных ореолов рассеяния олова с содержанием в 0,001-0,002%. Этим ореолам сопутствуют ореолы свинца, цинка, молибдена, сурьмы. Поиски россыпей в долине р. Некта не увенчались успехом.

из-за тяжелых условий проходки шурфов. В верхних слоях аллювия все шлиховые пробы содержат кассiterит в знаковых содержаниях. Помимо олововорудных проявлений, установлены потоки рассеяния золота в бассейне р. Икточка, которые связываются с полями интенсивно окварцованных, ожелезненных пород, развитых в истоках этой реки. Однако содержащий золота в пробах выше I г/т получено не было, в связи с чем дальние поиски золота были прекращены.

Оценивая рудопроявление необходимо отметить, что многие новые рудные тела далеко не исчерпаны. Оруджение можно считать комплексным, так как многие пробы, помимо олова, содержат высокие (1-5%) содержания свинца, цинка, реже меди, висмута. Неясна позиция в отношении золотого оруджения. Поэтому рекомендуется провести на этих площадях бурение до глубин 200-300 м.

Рудопроявление Тартак (Ш-3-2) расположено в бассейне одиночного ручья на площади 12 км<sup>2</sup>. Здесь распространены мелкозернистые песчаники с прослоями алевролитов нижне-среднеюрской толщи, дислокированные в линейные складки северо-восточного направления и прорваные субвуальваническими дацитами, андезито-дацитами, идиобибитами липарито-дацитов. Гидротермально и метасоматически измененные породы приурочены к сближенным кругоглашущим трещинам северо-восточного направления. Они представляют собой жильные тела и полы кварцевых и квадр-турмалиновых метасоматитов, несущих убыточную минерализацию. По данным спектрального анализа штучных и бороздовых проб, олово в них присутствует в количестве 0,005-0,01%, медь, синец, цинк - до 0,05%, сурьма - до 0,03%. Перспективы рудопроявления оцениваются отрицательно.

Рудопроявление Сетак (Ш-3-4, Ш-3-5, Ш-3-6, Ш-3-7) расположено в бассейне рек Мал. и Больш. Сетак. Это площадь около 60 км<sup>2</sup>, сложено оно сложно дислокированными нижне- и среднекорскими песчаниками с прослоями и линзами алевролитов, прорванными гранодиоритами и дацитами гранодиорит-порфиров, гранит-порфиров, дацитов, липаритов, дискиртовых порфиритов. Линзы сосредоточены в единой полосе северо-западного - меридионального направления близи западной границы более крупных массивов гранодиоритов. Зоны роговиков, окружающие интрузии, имеют ширину до 600 м. К этой же полосе тяготеет наиболее многочисленное проявление гидротермальных и метасоматических процессов, выражавшихся в широком распространении мелкотрещинкового оквар-

вания и мелкокристаллической турмалинизации. Здесь же

установлены более мощные кварц-турмалиновые жилы и зоны текстурических брекций с кварц-турмалиновым цементом. Содержание олова в них, по результатам спектрального анализа, бороздовых проб, достигает 0,1-0,5%. Олову соответствует медь, свинец, висмут с содержанием 0,01-0,5%.

Наиболее мощная зона брекций, кварц-турмалиновых метасоматитов и турмалинитов выявлена на левом склоне р.Мал.Сагтак, где она по простиранию простягивается на 750 м. Мощность ее 1,5-2,8 м; минералогическим анализом установлено до 10 г/т кассiterита, 18 г/т шеелита, 2 г/т вольфрамита. Зона рудных брекций установлена в бассейне руч.Ладерного. В штуфах олово, свинец, сурыма и серебро, по данным спектрального анализа, содержится в количестве 0,01-0,3%. Пробыка проб из штуфов в этой зоне показала наличие кассiterита в одной из проб до 500 г/м<sup>3</sup> в крупныхростках с кварцем. Спектрометаллографическим опробованием оконтурен ряд небольших ореолов рассеяния олова с содержанием его в пробах от 0,005 до 0,02%, сопровождаемых ореолами меди, серебра, висмута.

Опробованием донных осадков в бассейне р.Сагтак выявлены два ореола рассеяния олова площадью 25 и 7 км<sup>2</sup> (Ш-3-3) и (ГУ-3-2), сопадающие с полями измененных пород. Олово в пробах присутствует в количестве 0,001-0,005%. В пределах рудопроявления Сагтак в настоящее время проводятся поисковые работы в масштабе 1:50 000.

#### Р е д к и е м е т а л л и

##### Молибден

Техногенный ореол рассеяния молибдена (Г-4-3) установлен в междуречье Талын-Котин. Содержание этого металла в пробах донных осадков достигает 0,003%. Проведенными поисковыми маршрутами на площи ореола обнаружены свалки жильного кварца с гнейсовой вкрапленностью сульфидов. По данным минералогического анализа штучных проб, жильный кварц содержит молибденит и золото в значительном количестве. На этой площи в настоящее время проводятся поисковые работы.

Больдрик

Рудопроявление Отунчик (П-2-2) расположено в бассейне одноименного ручья. Здесь распространены средневариские толщи песчаников, интенсивно ороговикованные на площади около 4 км<sup>2</sup>. Интрузивные образования отсутствуют. Разрывные нарушения различного направления рассекают эту площадь на множество мелких блоков. Границы из них - разрывы меридионального простирания. Все разрывные структуры сопровождаются кварцевыми жилами, мощность которых варьирует от миллиметров до 20 см. По пустоте кварцевых жил площадь рудопроявления можно характеризовать как штокверк. В жилах в различных количествах установлены вольфрамит, шеелит, молибдинит, кассiterит, арсенопирит, пирит. Спектральным анализом в штуфных пробах содержание вольфрама изменяется от 0,2 до 1-2%.

Кварц-серцитовые и кварц-биотитовые роговики также несут полезную минерализацию. В них спектральным анализом вольфрам установлен в количестве 0,05-0,2, олово - до 0,01%, свинец - 0,05%, серебро - 0,001%, молибден - 0,3%. Для окончательной оценки рудо-проявления на его участке необходима проходка малотраульных каналов или траншей на ширину штокверка с непрерывным опробованием измененных пород и бурение скважин на глубину 300-400 м.

#### Руть

Выявлено два ореола рассеяния гипновари и одно рудопроявление ртутти.

Первый ореол (Ш-2-1) рассеяния гипновари отмечен в бассейне р.Герой, руч.Озерного и Белого. Площадь его 110 км<sup>2</sup>. Участок ореола сложен среднетекстуальными песчаниками с прослоями алевролитов, прорванными позднемеловыми математическими образованиями мезанджинского комплекса. Ртутная минерализация приурочена, вероятно, к зонам широтных разломов, контролируемых интенсивно бректированным, оже ле зонными породами. Содержание гипновари в пределах ореола не превышает значок. Благоприятная ртутто-структурная обстановка и наличие прямых признаков оруденения позволяют рекомендовать плошадь ореола для проведения поисково-съемочных работ масштаба 1:50 000.

Второй ореол (П-3-2) рассеяния гипновари установлен в среднем течении р.Прав.Узакан, в пределах Отунской зоны разломов.

Содержание киновари в шлиховых пробах колеблется от 1 до 35 знаков. Здесь были проведены поисковые работы, результаты которых излагаются ниже.

Рудопроявление ртути (Г-1-3) расположено на кон-  
такте позднеловых субуникратических липарито-дацитов и средне-  
юрских осадочных пород многократно рассеченных различными нару-  
шениями будинской зоны разломов. Породы в зоне раздроблены, као-  
длизированы, оквартированы. Киноварь установлена в виде пленок,  
примазок, тонких прожилков, мелкой вкрашенности по плоскостям  
трещин и зеркал скольжения, в кварцевых прожилках и глине тре-  
нии. Наиболее интенсивное оруденение соорудовано в эндоконтак-  
товой части интрузии субуникратических пород. По данным спектраль-  
ного анализа штуцерных и бороздовых проб, содержание ртути в них  
не превышает 0,2%. Учитывая широкое распространение  
измененных пород, сопровождаемых ртутной минерализацией за пре-  
делами опробованного участка, рекомендуется проведение здесь  
поисков М-бса 1:10 000.

#### Сурьма

Установлен один ореол рассеяния антиimonита и три рудопро-  
явления сурьмы.  
Ореол рассеяния антиimonита (Г-3-3) расположен в верхнем  
т沉ении р. Гарыкан, где развиты позднеловные липарито-дациты,  
формование гранодиоритами. Антиimonит в шлихах встречается в ко-  
личестве до 30 знаков. Источники сурьмовой минерализации приу-  
роочены к гидротермально измененным породам в зонах разрывных  
нарушений, для оценки перспектив ореола в его пределах следует  
проводить поисковые работы М-бса 1:10 000.

Рудопроявление Дес-Макит включает три рудных точки (Г-1-1,  
Г-1-3, Г-1-4), расположенных в равнолентальной геологической обста-  
новке в сасседине р. Дес-Макит. Среди поля развития среднерусских  
песчаников с прослоями алевролитов установлены крупные мериди-  
ональные разрывные структуры, сопровождаемые более мелкими опе-  
риющими широтными разломами, выполненные кварцевыми жилами,  
кварц в которых массивный сливной серый. В среднем течении р. Дес-  
Макит в одной из таких жил обнаружена вкрашенная и гнейзовая  
антимонитовая минерализация. Протяженность жилья 8 м, мощность  
е от нескольких миллиметров до 40 см. Распределение антиimonита

неравномерно, отдельные гнезда его достигают 35 см. Содержание  
сурьмы в пробах составляет 2-5%. В нижнем течении р. Дес-Макит  
выявлены две рудные жилы протяженностью одна 3 м, другая - 20 м  
и мощностью до 25 см. Руда в жиле гнейсово-вкрашенная, масси-  
вая с содержанием сурьмы в ней до 3%. В штуцерных пробах из других  
кварцевых жил сурьма отмечена в количестве до 0,5%. Поисковые  
работы на сурьму проводились на двух ограниченных участках, в то  
время как площадь развития разрывных нарушений широтного направ-  
ления, по данным маршрутных пересечений, выходит за их пределы.  
Кроме того, в верховьях р. Дес-Макит отмечается отдельные шлих-  
овые пробы с единичными знаками антиimonита. На этом основании  
бассейн р. Дес-Макит перспективен на обнаружение новых рудных тел  
возможно более мощных и протяженных. Для выполнения этого необхо-  
димо проведение здесь поисковых работ М-бса 1:10 000.

#### Висмут

Комплексный синекзиково-вкрапленный ореол рассеяния (Ш-3-1)  
окончен в бассейне Сетак, Оту-Макит, Гарыкан. Содержание  
висмутодержащих минералов (висмутина, самородного висмута, гет-  
радимита) в шлиховых пробах не превышает единичных знаков. В  
знаковых количествах минерал висмута присутствует на всех из-  
вестных в районе рудопроявлениях, и ассоциирует с проявлениями  
оловянной минерализации.

#### Благородные металлы

#### Золото

В бассейне руч. Учагин установлен шлиховой ореол (Г-4-1)  
рассеяния золота и рудопроявление (Г-4-2) этого металла. Площадь  
ореола (17 км<sup>2</sup>) и рудопроявление сложена нижнерусскими песчаника-  
ми, переслаивающимися с алевролитами, глинистыми сланцами, лин-  
зами осадочных брекций, кремнистых пород и лабазов. Жили отложе-  
ния прерваны позднеловыми гранодиоритами и мелкими штоками и  
дайками дацитов и диоритовых порфиритов. Дайки приурочены к раз-  
ломам северо-восточного и субширотного направлений и сопротивля-  
ются в сравнительно узкой полосе к северу от массива гранодио-  
ритов. Вмещающие породы ороговикованы в широкой полосе вокруг  
гранодиоритов, что свидетельствует о пологом контакте массива.  
С разломами связано максимальное проявление окварцевания, суль-

жилой минерализации, вкрапленной турмалинами. К разломам притулены кварцевые жилы и тектонические складки с химически-литым кварцевым цементом. В шихах из аллювия и делювия золото встречается в количестве от 1-2 до 100 знаков на 0,02 м<sup>3</sup> пром-той породы. Максимальные содержания золота притулены к кварц-евым жилам и складкам с химически-литым цементом и составляют 5-10 г/т. Совместно с золотом стягены вольфрам - 0,05%, молибден - 0,003%, медь, цинк - 0,3%, мышьяк, висмут - 0,5%, сурьмян - 0,2%, серебро - до 20 г/т, олово - 0,05%. По минеральному парагенезису, геохимическим особенностям и геологической позиции рудопроявле-ние Учалин имеет много общего со среднетемпературными гидроге-мальными месторождениями золото-сульфидной формации. Учитывая широкое развитие на площади рудопроявления золотой минерализации и достаточно высоких содержаний золота в просах, здесь рекомен-дуетсся провести поисковые работы в масште 1:10 000.

#### Строительные материалы

Для получения щебня и бутового камня могут быть использо-ваны все интузивные породы района, распространенные в северо-центальной и юго-восточной части. Физико-механические свойства пород приведены в таблице.

Породы	Объемн. вес, т/см <sup>3</sup>	Удельн. вес, т/см <sup>3</sup>	Водо- упо- лни- мость в сухом состоянии,	Сопротивление сжатию в сухом состоянии, кг/см <sup>2</sup>
Лиларит су- булганический	2,56	2,74	0,46	1789
Кварцевый	2,59	2,75	0,55	1317
Диорит				1895
				2030

Гравий высокого качества как заполнитель бетона, для бал-ластного слоя железноворожного шура, автодорог, отвечающий тре-бованиям ГОСТа 8469-62, можно получить из аллювиальных отложений верхнечетвертичных террас, широко распространенных в долинах рек Ассана, Отун, Нимелен. Достаточность их от 3,5 до 10 м. По разульта-там сокращенных испытаний гравийной фракции одной пробы, дроби-

мость соответствует стандарту "ДР-8", содержание лещадных и иловых частиц - 12,7%, сопротивляемость на копре ДМ-125. Песок из этой же пробы, а также песок из других террас тресованiem ТСТА 8736-67 не удовлетворяет.

#### Потолочные и облицовочные камни

В качестве облицовочного материала могут быть использованы лавобережный липарито-дацитового состава. Разнообразный осложненный материал складки, контрастность цветовых оттенков обломков и цемента дают возможность использовать эти породы как декора-тивный материал. Размер блоков лавобережный изменяется от 0,2 до 1-2 м. Эти породы распространены в бассейне Талик, Оту-Макки и др. Потолочные камни на территории не установлены.

#### ПОЛЕЗНЫЕ ВОДЫ

По ландшафтно-климатическим условиям территории расположе-на на широте развития остроумой многолетней мерзлоты. Мерзлые породы формируются либо на северных склонах, в узких глубоких расщелинах, либо в широких ложинах под морены растительным слоем. Мощность мерзлых пород от 1-3 до 15 м. Наличие вечной мерзлоты оказывает существенное влияние на формирование, условия застое-ния и режим подземных вод и определяет видение среди них на-мерзлотных, полемерзлотных и подмерзлотных вод. Верхняя граница мерзлых пород служит водоупором для надмерзлотных вод, прору-рующих в верхних слоях рыхлых отложений. Притоки их происходят за счет атмосферных осадков и подмерзлотных вод. Как источники водоснабжения, надмерзлотные воды самостоятельного значения не имеют связи их малого количества, быстрого затирания, поддер-жания сезонным промерзанием. Меломерзлотные воды прокладывают в толще слоев, ограниченных сверху и снизу толщами маломерз-лотных пород. Эти воды распространены незначительно, обладают малым количеством и практического значения не имеют. Полимерзлотные воды являются ниже слоя многолетнемерзлотных пород, обладают местным напором и являются трещинными и пластово-трещинными. Питание их происходит за счет фильтрации атмосферных осадков через таликовые окна и порошки воды из других водоносных гор--

зотов. Порогрэзочные воды наиболее сильны, обладают хорошими качествами и могут быть использованы для водоснабжения.

На территории выделяются три водоносных комплекса, соответствующих различным трем крупным геологическим подразделениям.

Водоносный комплекс четвертичных отложений разбит на всей территории и приурочен к различным их генетическим типам. Наиболее водобогаты аллювиальные отложения современного, верхне- и среднечетвертичного возраста. Мощность аллювиальных отложений от первых метров до 20 м в горной части и почти 500 м в пределах месторождения видов. Глубина залегания воды в долинах ручьев и у основания склонов - 0,5-5 м. Опробование водоносного горизонта опытными отважками из скважин и колодезей в пределах месторождения показало, что depth скважин определяется литотипическим составом пород и составляет 3-21,5 м/с при понижении 4-45 м.

По типу воды комплекс гидрокарбонатные, с пестрым катионным составом, сладко минерализованные. Они прозрачные без цвета и запаха, с температурой 0,5-6°, очень мягкие, удовлетворяют требованиям ГОСТа 2761-57 и могут быть использованы для питья.

Водоносный комплекс дислокированных осадочных пород юрского возраста развит широко. Водоизмещение породы представлены пестрняками с редкими прослоями алевролитов. Мощность обводненной зоны зависит как от положения в рельфе, так и от времени года. Максимальная мощность обводненной зоны 30-40 м. Питание грунтовых вод происходит за счет инфильтрации атмосферных осадков и поэтому зона выветривания максимально обводнена в весенне-осенний период. Разгрузка грунтовых гребенных вод происходит в долинах ручьев или осуществляется путем подземного стока в месторечные впадины. В этом водоносном комплексе распространены родники эрозионного типа, приуроченные к верховым распадкам. Исследовано пять родников. Дебят их колеблется от 0,1 до 0,3 л/с. Воды прозрачные без цвета и запаха. Тип воды гидрокарбонатно-кальциевый и реже - гидрокарбонатно-хлоридно-кальциевый. Минерализация не превышает 100 мг/л. Наиболее характерна следующая формула химического состава воды:

Мо,04 Садж (Na + K) 22 M12  
НС03 100

Общая жесткость воды составляет 0,1-0,4 мг.экв., pH 5,8-6,0. Потребные воды удовлетворяют требованиям ГОСТа 2761-57 и могут быть использованы для питья.

Водоносный комплекс изверженных пород приурочен к выходам на поверхность позднемеловых магматических образований. Полезные воды, распространенные здесь, относятся к трещинным и трещинно-жильным. Питание комплекса происходит за счет инфильтрации атмосферных осадков и жильных вод, поднимающихся по тектоническим трещинам и ядре интузивных контактов. Наиболее широкое развитие воды в верхней трещиноватой зоне мощностью 30-60 м. Обычно воды бесцветные, губина до их зеркала находится в прямой зависимости от рельефа и изменяется от первых метров до 30-40 м. Дебиты родников составляют 0,1-0,3 л/с, иногда достигают 1,5 л/с. Минерализация вод не превышает 0,1 г/л, общая жесткость 0,1-0,4 мг.экв. Воды гидрокарбонатно-кальциевые, пригодны для питья, но в связи с их небольшим запасом практического интереса не представляют.

#### О Ц Е Н К А П Е Р С П ЕК Т И В РАЙОНА

Описываемая территория входит в крупнейший на Дальнем Востоке Хингано-Охотский рудный пояс [20], представляющий собой радиационную зону разломно-блоковых дислокаций и мелкого мезотима. С последним связано наиболее продуктивное оловянное оруднение этого пояса. В его пределах расположены такие оловорудные узлы, как Хингано-Олонский и Комсомольский, этому поясу принадлежат проявления олова рассматриваемого района, сосредоточенные в Эксанской рудной зоне. Геологическая позиция оловорудных проявлений района обнаруживает большое сходство с Комсомольским оловорудным узлом. Устанавливается связь зандорфской минерализации обоих районов с региональными минимумами силы тяжести. Причем оруднение приурочено к пограничной зоне между отрицательными и положительными аномалиями силы тяжести, что свидетельствует об особой перспективности месторождений и проявлений олова.

Несколько также аналогии структурного плана Комсомольского и описаниеемого района. Она выражается в приуроченности южных месторождений и проявлений к надпиранием линейным меридиональным тектоническим зонам, с которыми совпадают изменения направления складчатых структур в осадочных породах юрского возраста на участках S-образного изгиба над скрытым меридиональным глубинным разломом. Оруднение обоих районов связано с развитием сложного многоэтапного интрузивного комплекса. Устанавливается четкая пространственная связь оруднения и интузивных пород всех фаз как

для Мю-Чанского района, так и для Эксанского рудного узла.

Если в Комсомольском районе проявлена горизонтальная зональность в расположении различных типов постмагматических образований, то в описываемом такая зональность также выражена довольно отчетливо. Наряду с широко распространенным в восточной части Эксанского рудного узла проявлениями турмалинового типа касситерит-силикатной формации (Боско, Эксан, Макакон, Сеттак), в западной части выявлено олово-вольфрамовое проявление (Отучик) кварцевого и кварц-полевошпатового типа касситерит-кварцевой формации.

Таким образом, здесь намечается горизонтальная зональность в размещении минерализации различных формационных типов. Широкое развитие борового метасомата является общим признаком районов. Туровмалинизация широко распространена на месторождениях и проявлениях обоих оловорудных узлов, а туровмалин является ярчайшим выражением всех постмагматических образований, широко распространенных на Мю-Чане и Эксане. Если говорить об антогенной минерализации Эксанского рудного узла, то наряду с оловянным для него характерно полиметаллическое оруденение, ртутное и сурьминное. Геохимические особенности магматических пород показывают, что потенциально оловянными в районе можно считать граниты и лавобрекчию липарито-дацитов, распространенные на хр. Эксан и в бассейне руч. Боско, содержание олова в которых достигает 26 г/т, по сравнению с 6-8 г/т в гранодиортах и их субвулканических аналогах.

В пределах Эксанской рудной зоны отчетливо проявляются три морфологических типа рудной минерализации. К первому относятся гильзовые тела, ко второму — прожилково-вкрапление. Третий тип включает линейно-вытянутые минерализованные зоны дробления, туровмалинизации, окварцевания, в которых промышленные конкрунты рудных тел определяются опробованием. В отличие от проявлений касситерит-силикатной формации, характеризующихся всеми морфологическими типами рудной минерализации, на проявлениях касситерит-кварцевой формации встречаются только первый и второй морфологические типы.

Для выяснения глубины зондирования оловянных проявлений Боско и Эксан [24] мономинеральные пробы касситерита были подвергнуты кристалломорфологическому анализу. Заключение Н.З. Ерзиковой-Ивановой свидетельствует о большом разнообразии кристаллографических оттенков касситерита и о близповерхностных условиях его образования. Согласно Н.З. Ерзиковой-Ивановой, наиболее зондированные зоны располагаются в районе г. Боско, а при удалении от нее в юго-западном направле-

нии аэрофото покрыты лишь верхние части рудных тел и можно ожидать, что с глубиной размах оруденения увеличивается.

Учитывая благоприятную геолого-структурную и геоморфологическую обстановку, наличие прямых и косвенных признаков оруденения и перспективных оловорудных формаций, положительные прогнозы глубинного размыва оруденения, рекомендуется на площадях ореолов рассеяния касситерита провести геологическую съемку и поиски на масштабе 1:50 000 с одновременной детализацией наименее перспективных участков в масштабе 1:10 000. При этом следует обратить внимание на возможное образование в районе оловянных россыпей, поиски которых до настоящего времени проводились ограниченно. В качестве объектов для поисков россыпей касситерита рекомендуется долина рек и ручьев Горный, Оловянный, Боско, Отучик, Некта, Талин, algunos из которых содержат весомые количества касситерита на обычный при шаховом опробовании объем рыхлого материала в 0,02 м<sup>3</sup>. Некоторые пробы из рыхлого аллювия показывают до 0,5-1 кг касситерита на тонну.

Ртутная минерализация в районе связана с зонами разломов и распространена в пределах выхода вулкано-плутонических образований мезаминского комплекса. Здесь оконтурены ореолы рассеяния киновари и выявлены перспективные зоны ртутной минерализации супергидратометаллического направления. Вмещающие трещиноватые породы подверглись низкотемпературным гидротермальным изменениям — артилизации, редко сернистизации и окварцеванию. Содержание ртути в артилизированных породах составляет сотни—тысячи долей процента, что на два-три порядка выше содержания ртути в неизмененных породах. Указанные особенности имеют большое значение для поисков ртутных руд в бассейне р. Драв-Утак и междууречье Отуя-Нимынун.

Бассейн р. Лес-Жакт представляет перспективным для поисков сурьминной минерализации. Выявленные непротяженные кварц-антимонитовые жилы в полосе разрывных нарушений Стунской зоны разломов позволяют говорить о более широком размахе сурьминной минерализации, в связи с чем площадь поисков следует расширять за счет сассановых рек Чассона и Вожнак, где установлены многочисленные зоны нарушений, брекчированы, окварцеваны, обожжены породы. Следует также более детально изучить площадь шахового ореола антиклинала в бассейне Гарбакана.

Весьма перспективная площадь для поисков золота выделена в бассейне руч. Учалин, где в кварцевых жилах установлены высокие содержания металла. Благоприятная геолого-структурная позиция

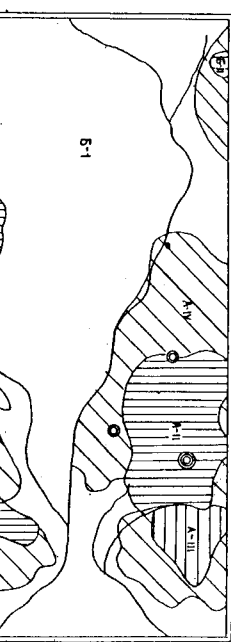


Рис.3. Карта прогноза

1 - площади распространения прямых рудоконтролирующих признаков с выполненным рудоизысканием, требующие постановки полисовых и опробовательских работ с применением горных выработок; 2 - площади распространения рудоконтролирующих признаков и блокоприятных структур с наличием признаков орудзения (предующее геологическое съемки м-ба 1:50 000, постановки полисовых работ с применением шлихового, донного и геохимического опробования поверхности горных выработок); 3 - площади, недостаточно изученные для определения их промышленных перспектив, рекомендуемые для геологической съемки м-ба 1:50 000 и дополнительного донного и ложного опробования; 4 - площади, геологическое

орудзения позволяет рассчитывать на открытие рудных тел на этой площади. Следует отметить потенциальную возможность обнаружения рудоизысканий и россыпей золота на северном фланге территории приска Ичного, непосредственно примыкающей к южной границе района. Целенаправленных систематических поисков россыпей и рудоизысканий золота здесь не проводилось. Предыдущими исследователями показывалось, что коренными источниками золота являются кварцевые жили, залегающие в позднемиоценовых гранитогорячих ясенского массива.

Отмеченные выше геолого-структурные особенности локализации орудзения позволяют выделить на прогнозной карте несколько рудоносных площадей для поисков полезных ископаемых (рис.3). Площадь А-Г1 выделяется в качестве первоочередного объекта поисков в бассейнах Талин, Отунчик, Некта, Прав.Утак, Сеттак, где помимо олова, выявлены проявления золота, свинца, ртути, вольфрама, мышьяка. Эта площадь рекомендуется для проведения поверхностных горных выработок, геофизических поисков и бурения. В следующую категорию выделяется площадь А-Ш, обединенная участки рассеянного олово-полиметаллической, сурьмяно-рутной, висмутовой, молибденовой минерализации в бассейнах Талин, Дэс-Макат, Некта, Нимнатун, Ути. В эту площадь входят белые шлиховые и геохимические разъезды, предстающие в виде промышленного характера, участки гидротермально измененных пород. Площади, где расположены вулкано-плутонические образования мегандинского комплекса, гранитоиды Джалонского и Иссанского массивов, а также их экзоконтактовая часть предстаивают недостаточно изученными и рекомендуются для геологической съемки м-ба 1:50 000 и дополнительного шлихового и донного опробования. Бассейн верхнего течения Р.Дасны и Конионгильменская впадина, по имеющимся в настоящее время данным, не благоприятны для промышленных концентраций рудных элементов.

Строение котлов по известным в настоящее время данным, благоприятно для промышленных концентраций рудных элементов: 5 - площади, на которых уже проведено последование (поиски, шлиховое и ложе-охимическое опробование, поверхность горные выработки) на выявление коренных проявлений известных в районе рудных элементов, и получение отрицательные результаты; 6 - перспективные рудоизыскания, требующие дальнейшего изучения; 7 - рудоизыскания, для оценки перспектив которых необходимо проведение дополнительных работ с применением горных выработок; 8 - рудоизыскания, неизвестный характер которых ясен без постановки дополнительных работ

В заключение следует отметить, что степень изученности района столь сложного геологического строения и развития позволяет считать далеко не исчерпывающим перечень выявленных проявлений полезных ископаемых. При целенаправленном развитии геолого-геофизовых работ в его пределах будут выявлены новые перспективные проявления рудного и россыпного олова, золота, ртути и других полезных ископаемых.

#### ЛИТЕРАТУРА

##### О П У Б Л И К О В А Н Н А Я

1. АЖМЕЕВ М.А., КАРДУЛОВ В.Б. и др. Новые данные по стратиграфии юрских отложений северных районов Нижнего Приамурья. Сов. геология, № 8, 1967.
2. БАРСКОВ В.Л. Основные черты геокимии олова. М., "Наука", 1974, 148 с.
3. БЕЛЬЧЕНЕВ Е.Б., ЗОЛОТОВ М.Г. и др. Тектонические структуры Дальневосточного края и Амурской области, их развитие в мезозое и кайнозое. Материалы VII сессии Научного совета по тектонике Сибири и Дальнего Востока. Магадан, 1971.
4. Геологическое строение северо-западной части Тихоокеанского пояса подвижного пояса. М., "Недра", 1966.
5. ГОРОХОВ С.И. Государственная геологическая карта СССР №-са I:200 000, серия Уссурийская, лист №-53-ХХI, 1970.
6. ЗАЙЦЕВ Л.С. 2-Государственная геологическая карта СССР №-са I:200 000, серия Уссурийская, лист №-53-ХХI, 1972.
7. КОНОШКОВ Е.Д. Государственная геологическая карта СССР №-са I:200 000, серия Нижне-Амурская лист №-54-ХХI, 90 с.
8. КРАСНЫЙ Л.И. Геология и полезные ископаемые Западного Приморья. Тр. ВИГЕИ, нов. сер., т. 34, 1960, 161 с.
9. КРАСНЫЙ Л.И. Основные вопросы тектоники Дальневосточного края и Амурской области. Мат-лы ВСЕГЕИ, вып. 3, Л., 1960, 32 с.
10. КРАСНЫЙ Л.И. Тектоника. Геология СССР, т. ХХI, часть I. М., "Недра", 1966.
11. КРОПОТКИН П.Н. Тектоника и некоторые вопросы металлогении южной части Советского Дальнего Востока. В кн.: Мат-лы по геологии, математизму и рудным месторождениям ДВ и Забайкалья", т. 2, 1953.

12. КИНО А.И. Государственная геологическая карта СССР №-са I:200 000, серия Нижне-Амурская, лист №-53-ХХI, 1967, 92 с.

13. КУТОВ С.Ф., МАКЕЕВ В.В. Генетическая и промышленная классификация оловорудных месторождений. Сов. геология, № 5, 1972.

14. НАЧЕМНА М.С. Тектоника и матматизм Монголо-Охотского пояса. Тр. ГИН АН СССР, вып. 79, 463 с.

15. НАЧЕМНА М.С. О структурном положении верхнемезозойских и палеогеновых гранитоидов в мезозоях Сихотэ-Алиня. Изв. АН СССР, сер. геол., № 5, 1964, с. 3-8.

16. НАЧЕМНА М.С., ПОЛАТОВ Ю.И. Тектоника Тугуро-Чимчленского пояса (Западное Приамурье). В сб.: Мезозойские и кайнозойские структуры зон Запада Тихоокеанского тектонического пояса". Тр., вып. 139, М., "Наука", 1965, с. 30-59.

17. НАЧЕМНА М.С. Стратиграфия и формации Монголо-Охотского пояса. Тон АН СССР, М., 1969, с. 370-390.

18. ОСЛОПОВ Н.Г. Государственная геологическая карта и карта полезных ископаемых СССР №-са I:200 000, серия Хингано-Бурейская, лист №-53-ХV, 1964, 63 с.

19. ПЛОТНИКОВ И.А., УСЕНКО С.Ф. История развития мезозой-мезокайнозойской складчато-глыбовой системы Приморья. В сб. Монголо-Охотской складчато-глыбовой системы Приморья. В сб. Мезозойский тектогенез. Мат-лы VII сессии Научного совета по тектонике Сибири и Дальнего Востока. Магадан, 1971.

20. ПЛОТНИКОВ И.А., УСЕНКО С.Ф. Тектоническое развитие Приморья и связанные с ним вопросы андогенного металлогения. Новые данные по геологии оловянных месторождений СССР (Сборник научных трудов). М., 1975.

21. ПОЛАТОВ Ю.И. Государственная геологическая карта СССР №-са I:200 000, серия Уссурийская, лист №-53-ХХI, 1965.

22. ПОЛАТОВ Ю.И. Государственная геологическая карта СССР №-са I:200 000, серия Уссурийская, лист №-53-ХХI, 1965.

23. ПОЛАТОВ Ю.И. Государственная геологическая карта СССР №-са I:200 000, серия Уссурийская, лист №-53-ХХI, 1968.

24. РАДЕНЧЕВ Е.А. Симпозиум по глубинности и зональности оруденения в тихоокеанском рудном поясе. В кн.: "Зональности размещения полезных ископаемых", 1973.

25. САЛОН С.А. Основные черты мезозойского тектогенеза в южной части Советского Дальнего Востока. Магадан, 1971.

26. САДИН С.А., БОВЫЧЕВ В.В. К вопросу о положении и характере западной границы Сихотэ-Алинской складчатой области. Изв. высш. учебн. завед. Геология и разведка, № 5, 1963, с. 3-11.
27. СПЕРАНСКАЯ И.М. Петрографическая классификация итальянских Маг-лн по геологии и полезным ископаемым Северо-Востока ССР, №и. 19, Магадан, 1966, с. 209-220.
28. ТИЛЕМАН С.В. Особенности определенного развития Тихоокеанских мезозоя. Пр. СВ КНИИ, №и. 55, Магадан, 1973.
29. ХОЛОПЕШИН И.А. Геологическая карта ССР и карта полезных ископаемых №-са I:200 000, серия Нижне-Амурская, лист №-54-ХХХ, 1973.
30. ХОХЛОВ Э.П. Геологическая карта и карта полезных ископаемых ССР №-са I:200 000, серия Дальн.-Бурейская, лист №-53-ХХIII, 1964.
31. ХРОМОВА В.Э. Геологическая карта ССР №-са I:200 000, серия Нижне-Амурская, лист №-53-ХХУ, 1966, 81 с.
32. ЧЕМЕКОВ Ю.Ф. Основные этапы развития рельефа Приамурья в Зап.Присхотовья. Маг-лн второго геоморфологического совещания. 1960.
33. ЭРИШ Л.В. Государственная геологическая карта ССР и карта полезных ископаемых №-са I:200 000, серия Дальн.-Бурейская, лист №-53-ХХХУ, 1963, 106 с.

**Ф о н д о в а я х**

34. АНОКИН В.И., ПЕРЕВЕРЗЕВ Л.Р., ПЕРЕВАНИН М.И. Геологическое строение и полезные ископаемые бассейна верхнего течения рек Кумусун, Селемджа и Нимелен (Счет Кумусунской партии о результатах геологических работ №-са I:200 000 за 1969-1973гг.). 1974. Инв. № 01651.
35. ЕМЛОУБ В.Н. Результаты гравиметрической съемки №-са I:100 000 на северном Сихотэ-Алине и в междуречье Амур-Амгуль-Ула (Отчет Сахотэ-Алинской партии за 1964 г.). 1965. Инв. № 01213.

х.)

- Работы находятся в фондах Дальневосточного геологического управления (Хасавюрт).

36. ЕРДИШЕН А.Н., ЖАН Н.К. и др. Отчет о работах Амгунской партии за 1962-1963 гг. 1964. Инв. № 010740.
37. ЗАЙЦЕВ Д.С., МАМОТОВ Ю.А. Геологическое строение и полезные ископаемые бассейнов верхних течений рек Тонума, Ними, Торома, Селикана, Муникана (Окончательный отчет Верхне-Тонумской партии по геологосъемочным работам №-са I:200 000 в 1967-1970 гг.), 1971. Инв. № 014605.
38. ЗЕМЛИКОВ В.Н. Отчет о результатах работ Джалдинской гравиметрической партии за 1963 г. Инв. № 010075.
39. КРАСНЫЙ Л.И. Геологическое строение и перспективы оценности Салтыкано-Кумусунского района (Отчет по геологической съемке №-са I:200 000 по планшетам №-53-101, 102 в Салымдинском районе), 1953. Инв. № 04083.
40. МАЙВОРДА А.А., ШАРУЕВА Л.И. и др. Геологическое строение и полезные ископаемые бассейнов рек Ассини, Отуя и Нимелен (Отчет о результатах геолого-съемочных и геофизических работах Отчугской партии ГСЭ и Ново-Огуринской партии ТЭДГГУ на листе №-53-ХХУ за 1970-1974 гг.), Хасавюрт, 1975.
41. МАЙВОРДА А.Ф., ПЕСТОВ Ю.А. Геологическое строение и полезные ископаемые бассейнов рек Муникана, Ассини, Селикана Туттаро-Чумиканского района Нижне-Амурской области (Верхне-Тороминская партия № 509 за 1953 г.), 1953. Инв. № 04265.
42. ПАЧАЧЕВНЫЙ П.Д. Отчет Кербинской партии о проведенных в сезон 1955 г. геолого-поисковых работ в районе междуречья Кербиди и Нимелена. 1955. Инв. № 05106.
43. РАССКАЗОВ Ю.П., МАЙВОРДА А.Ф., КОРОЛЬ М.П. Геологическое строение междуречья Ассини и Огурна (Отчет Медандинской геолого-разведочной партии № 609 по работам 1954 г.), 1955. Инв. № 04616.
44. САВРАСОВ Н.П. Геологическое строение верхнего течения рек Кербиди и Нимелена (Отчет Кербинской геологической партии за 1942 г.). 1945. Инв. № 03000.
45. САДИН С.А. и др. Промежуточный отчет о результатах тематических работ за 1969 г. 1970. Инв. № 01572.
46. СЕРКИН Н.Н., ГАЛЮНОВА П. и др. Отчет о результатах работ Хурбинской, Дальневосточной и Тематической № 125 партии за 1970-1971 гг. 1972. Инв. № 01511.
47. СЕРКИН Н.Н., ЕФРЕМОВА А.Н. Отчет о результатах аэрофизических работ Нимеленской партии за 1972-1973 гг. 1974. Инв. № 016653.

48. ФАИН Я.И., ШРУДЛЕН В.А., КОЗЛОВ М.П. Геология, под-

земные воды, полезные ископаемые бассейнов среднего течения р.Амгуль и Чугурского и Ульбанско заливов Охотского моря (Отчет партии № 807 о результатах гидрогеологического и, частично, комплексной геолого-гидрогеологической съемки №-са 1:500 000 на территории листа №-53-Г, проведенных в 1961-1963гг.).

49. ФОМЕНКО А.С., ИНБА Д.Е. Отчет о результатах поисковых работ на олово, проведенных в бассейне р. Асыни (Чугуро-Чумганский район Хасаровского края), №-са 1:50 000 и 1:10 000 и Эксананская партия, 1973-1974 гг. 1975. Инв.№ 016956.

50. ШАЛОЧКА И.И., ДИДЕНКО С.И., КАЗАЧИНА Л.Л. Отчет о результатах автоматических работ Амгунской партии за 1958-1960 гг. 1960. Инв.№ 08666.

51. ШАЛОЧКА И.И., ГОЛОБКО С.В. и др. Природа аномалий силы тяжести и магнитного поля Хасаровского края и Амгунской области (Отчет группы обобщения материалов региональных геофизических исследований за 1964-1967 гг.). 1968. Инв.№ 013421.

52. ШИКЕЕВ П.Д. Отчет о результатах поисково-разведочных работ на олово в бассейнах верхнего течения рек Кулусуна, Селивана, Олонго, Ассины и Мунгакана. 1956. Инв.№ 04752.

53. ИММОЛЮК В.А. Отчет о геологосъемочных работах Торомской партии. 1949. Инв.№ 02483.

### Список

показанных на листе  
№-53-ХХIII карты полезных ископаемых №-са 1:200 000

Номер карты	№ на карте	Вид полезного ископаемого и название (местонахожде- ние) проявления	Ссылка на литерату- ру (номе- ро списка литерату- ры)	Приме- чание
I-3	2	Цветные металлы Медь		
III-1	1	Правобережье р.Талин		
III-3	1	Бассейн р.Нимнагун Верховье Мал.Сегтак, Курутан		Комплексный геохимичес- кий ореол
III-3	1	Синнец		То же Теокиматео- кий ореол
III-3	1	Бассейн верхнего течения р.Некта		Шлиховой ореол
II-3	1	Левобережье р.Некта		В коренном залегании
II-3	3	Среднее течение р.Унаганак		То же
II-1	1	Дюник		
I	1	Верхнее течение р.Нимнагун		
I-1	1	Олово		
I-1	2	Бассейн руч. Оловянного		Комплексный геохимичес- кий ореол рассеянный
I-3	1	Бассейн р.Лев.Отун		Шлиховой ореол
I-3	2	Правобережье среднего течения р.Талин		То же
I-3	3	То же		" "
"	"	"		" "
I-3	3	"		Геохимичес- кий ореол в развалих и коренном залегании

I	2	3	4	5
I-3	4	Северный склон р.Ухтыма		В разваликах и коренном за- леданий
I-3	5	Бассейн руч.Утакан-II		То же
I-3	6	То же		" "
I-4	1	Бассейн среднего течения р.Нетка		Шлиховой ореол
I-4	2	То же		Гидрохимес-кий ореол
IU-2	1	Бассейн среднего и нижнего течения р.Няннгут		Шлиховой ореол
IU-2	2	Водораздел ручьев Летык-Таргана		В коренном залегании
IU-3	3	Правобережье среднего тече-ния р.Бол.Мегтак		шлаковой ореол
IU-3	4	Левобережье среднего течения р.Бол.Сегтак		В коренном залегании и залеганиях
IU-3	5	Правобережье среднего тече-ния р.Мал.Сегтак		шлаковой ореол
IU-3	6	То же		шлаковой ореол
IU-1	1	Бассейн нижнего течения р.Хунко		шлаковой ореол
IU-1	2	Бассейн Лев.Утакан-Отуник		шлаковой ореол
IU-1	3	Правобережье руч.Отуник		шлаковой ореол
IU-3	2	Межуручье Сегтак-Уйти		шлаковой ореол
IU-3	2	Верхнее течение р.Прав.Унагокан		шлаковой ореол
I-4	3	Межуручье Талын-Конин		шлаковой ореол
I-4	3	Молибден		шлаковой ореол
I-4	3	Межуручье Талын-Конин		шлаковой ореол
IU-2	2	Волфрам		шлаковой ореол
IU-2	2	Водораздел руч.Утакан-Отуник		шлаковой ореол
IU-2	3	Руть		шлаковой ореол
IU-3	2	Бассейн среднего течения р.Прав.Утакан		шлаковой ореол
IU-3	3	Бассейн среднего течения р.Прав.Утакан		шлаковой ореол

I	2	3	4	5
III-2	1	Бассейн Герби, Озерного, Бловоого		Шлиховой ореол
III-2	1	Бассейн Герби, Озерного, Сурма		шлаковой ореол
II-1	1	Левобережье верхнего течения р.Дес-Макит		шлаковой ореол
II-1	3	Левобережье нижнего течения р.Дес-Макит		шлаковой ореол
II-1	4	Правобережье Нижнего течения р.Дес-Макит		шлаковой ореол
II-3	3	Бассейн среднего течения р.Гарбикан		шлаковой ореол
II-3	3	Высокут		шлаковой ореол
II-3	1	Водораздел Некта-Гарбикан		шлаковой ореол
II-3	1	Водораздел Некта-Гарбикан Золото		шлаковой ореол
I-4	1	Левобережье среднего течения р.Талин		шлаковой ореол
I-4	2	Бассейн руч.Учамин		шлаковой ореол
"	"			шлаковой ореол
"	"			шлаковой ореол
"	"			шлаковой ореол
"	"			шлаковой ореол

Редактор Т.И.Магис  
Технический редактор Н.В.Павловская  
Корректор Р.Л.Синева

Сдано в печать 4/1-1981 г. Полписано к печати 28/1-1981 г.  
Тираж 149. Формат 60x80/16 Уч.-изд.л. 6,6  
Заказ 0109

Ленинградская картографика  
объединения "Аэрогеология"